Геологические достопримечательности Байкальского рифта и его окружения (лекция 2)

Пристанищ не искать, не приживаться, Ступенька за ступенькой, без печали, Шагать вперед, идти от дали к дали, Все шире быть, все выше подниматься! Засасывает круг привычек милых, Уют покоя полон искушенья. Но только тот, кто с места сняться в силах, Спасет свой дух живой от разложенья!

НЕКОТОРОЕ ПРИМЕЧАТЕЛЬНОЕ ИЗ ИЗВЕСТНОГО ГЕОЛОГИЧЕСКОГО:

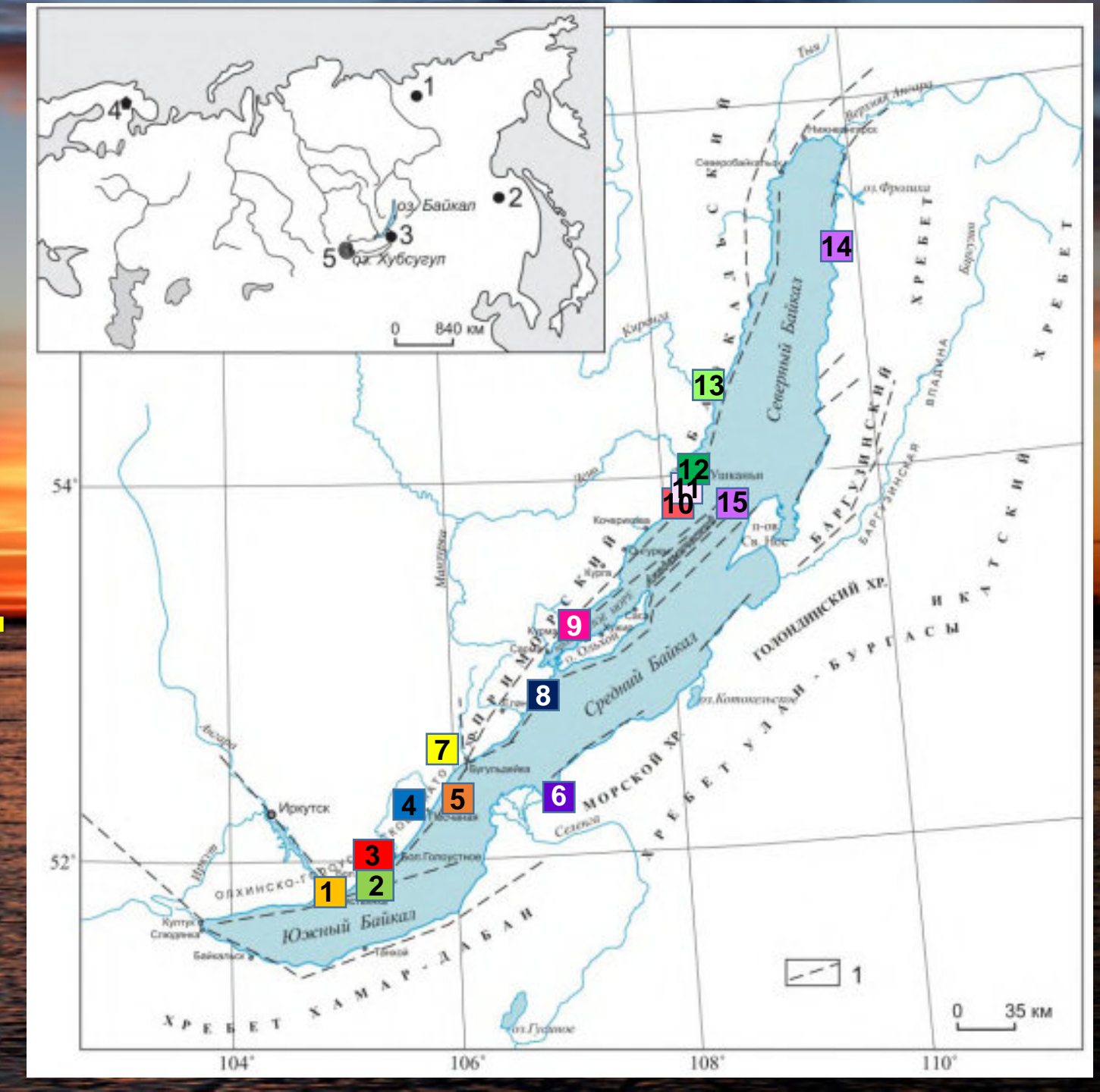
Южный Байкал

- 1. Район Листвянки и истока р. Ангары
- 2. Строматолитовые известняки пади Мал. Кадильная
- 3. Дельта р. Голоустной и Сухое озеро
- 4. Граниты рапакиви в бухте Песчаная
- 5. Краснояровская палеосейсмодислокация между мысами Черный и Красный Яр
- 6. Дельта р. Селенги и залив Провал
- 7. Мраморный карьер в районе с. Бугульдейка
- 8. Тажеранские степи: просто о сложном

Северный Байкал

- 9. Малое море и о. Ольхон: следы разрывообразования
- 10. Тектонические загадки мыса Рытого
- 11. Разрывы мыса Шартлай
- 12. Разрывы мыса Тытери и окрестностей
- 13. Среднекедровые разрывы в Байкальском хребте
- 14. Террасы Байкала: восточное побережье
- 15. Террасы Байкала: о. Бол. Ушканий

ЗАКЛЮЧЕНИЕ



Южный Байкал, 1. Район Листвянки и истока р. Ангары

Время образования прорези р. Ангары

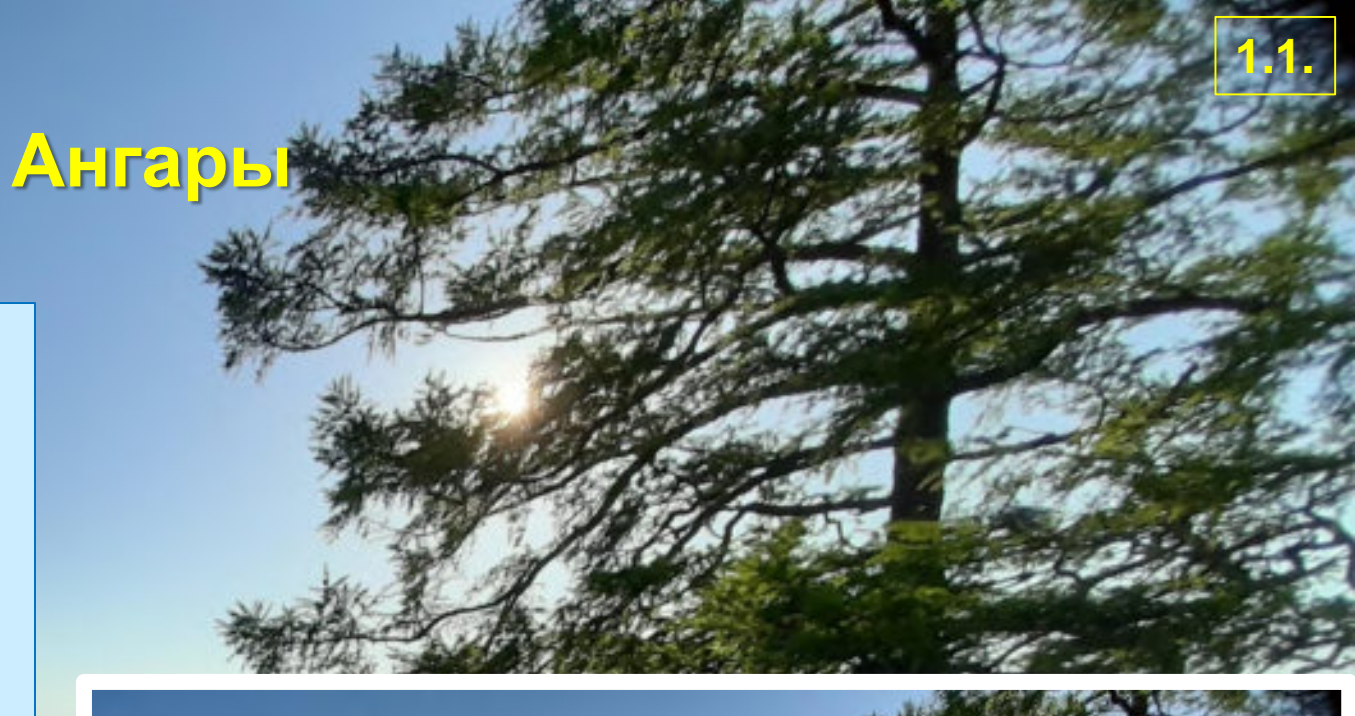
Сток через прорезь начался по геологическим меркам недавно – во второй половине позднего плейстоцена, после обрушения днища Листвянского залива:

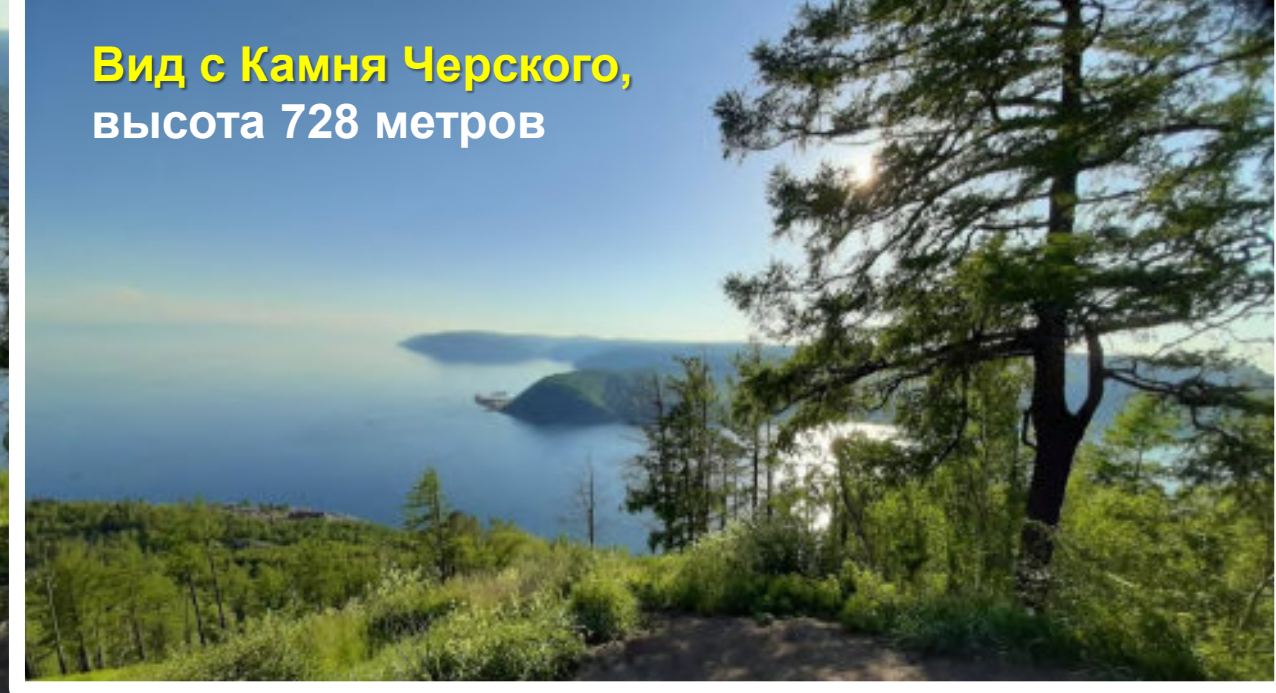
- 20-15 тыс. лет назад [Грудинин, Чувашева, 2011];
- 10-20 тыс. лет назад [Голубев, устное сообщение];
- 60 тыс. лет назад [Кононов, Мац, 1986; Мац, Ефимова, 2011];
- 5-7 тыс. лет назад [Бухаров, Фиалков, 1986];
- 7-12 тыс. лет назад [Медведев и др., 2012];

В опускание был вовлечен блок суши, являвшийся водоразделом между байкальским притоком и рекой типа Бол. Речки. Опускание привело к формированию более низкого порога на пути стока вод Байкала, которые, использовав небольшую долину, начали формировать современное русло Ангары.

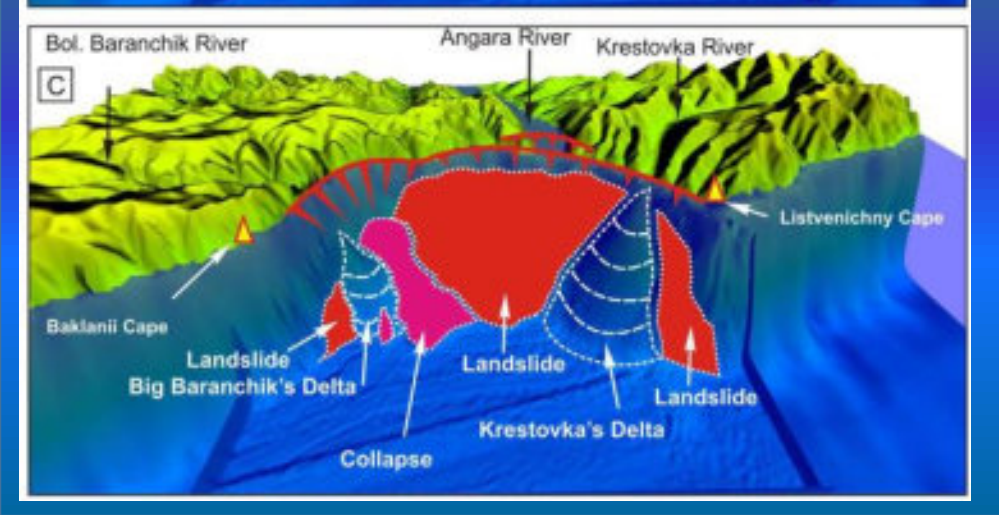
ОДНАКО последняя версия гласит, что было два обрушения:

- ~125 тыс. лет назад [Arzhannikov et al., 2018];
- 11.8-13.4 тыс. лет назад [Arzhannikov et al., 2018];





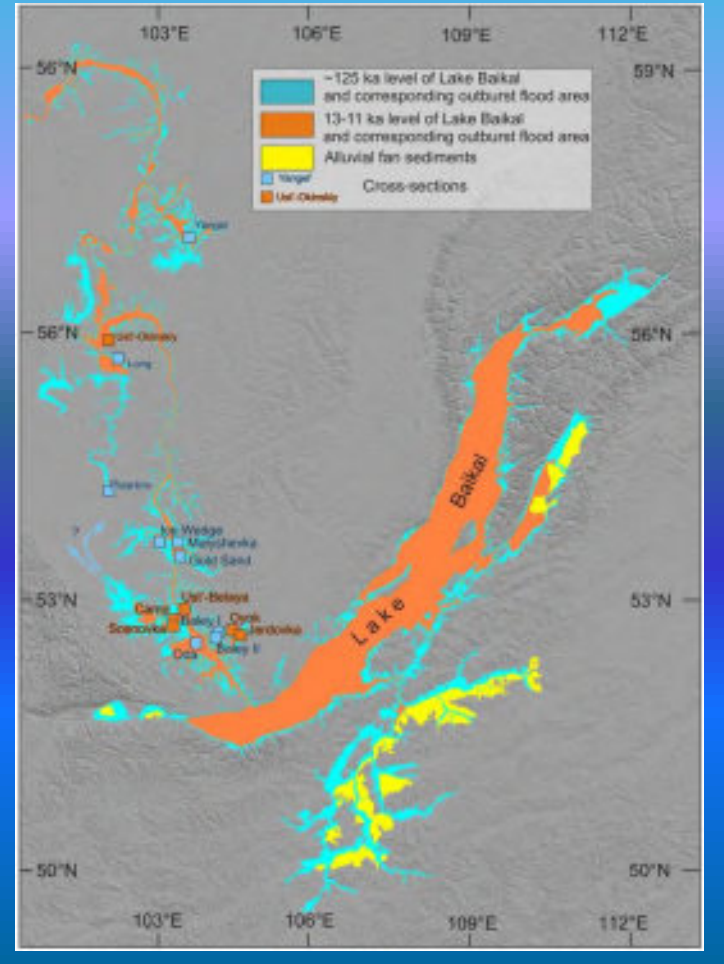
Bol. Baranchik River Angara River Krestovka River Listvenka Virlage Listvenichny Cape



Время образования прорези р. Ангары [Arzhannikov et al., 2018]

Реконструкция уровней оз. Байкал на 125 тыс. лет (голубой) и 13 тыс. лет (оранжевый) и интерпретация гравитационных и осадочных структур в Листвяничном заливе по

При первом обрушении Приморского хребта уровень Байкала был на ~200 м выше настоящего. Сброс произошел на 100 м. При втором уровень понизился еще на 50-60 м.



Плиоцен-четвертичные разломы по [Лунина, 2016]



Шаман Камень





Фото из работы [Arzhannikov et al., 2018]

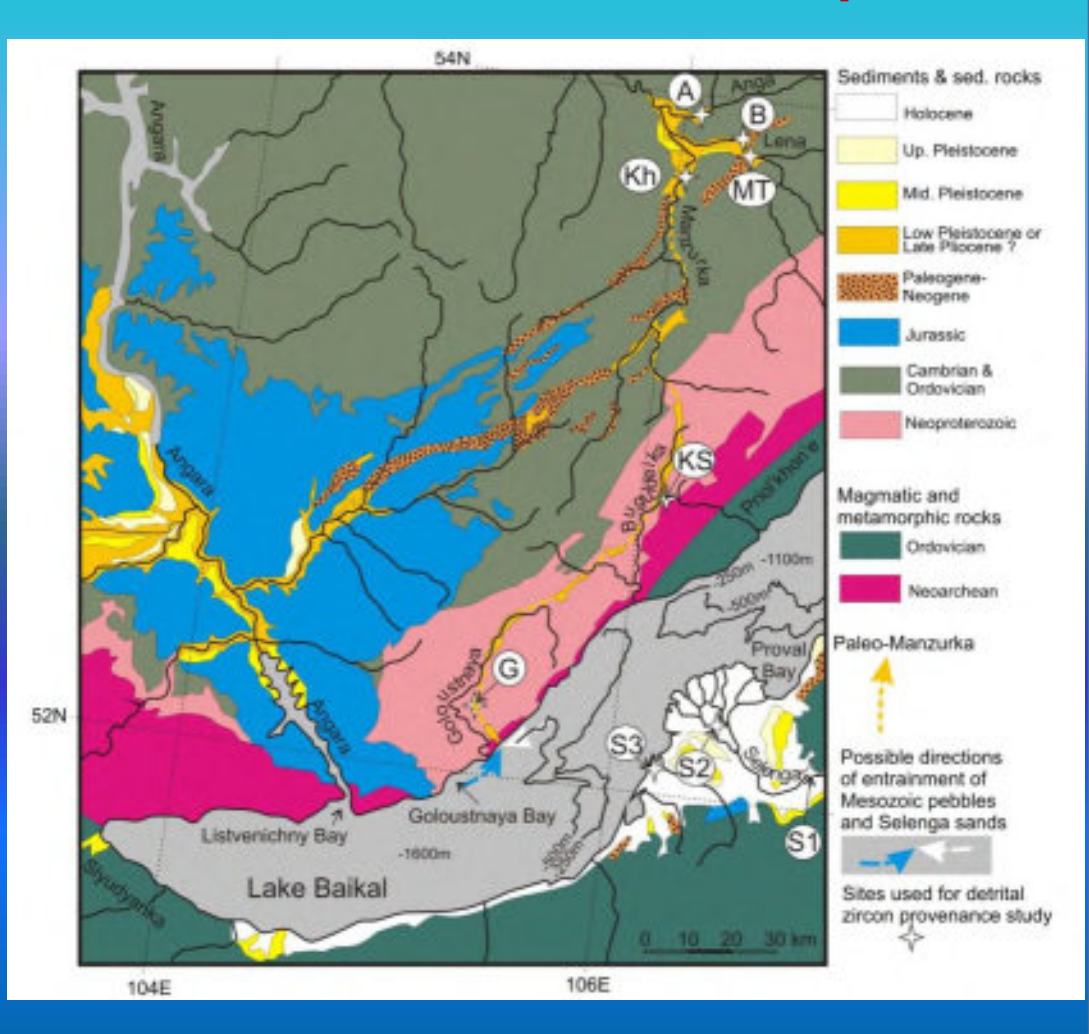
Шаман-камень сложен древнейшими мигматитовыми гнейсами архея и, по-видимому, «лежит» на относительно молодых юрских песчаниках [Грудинин, Чувашева, 2011].

Гнейсы архея, а также другие метаморфизованные магматические и осадочные породы слагают Шарыжалгайский выступ, который представляет собой выход докембрийских пород фундамента Сибирской платформы [Донская, Гладкочуб, 2021].

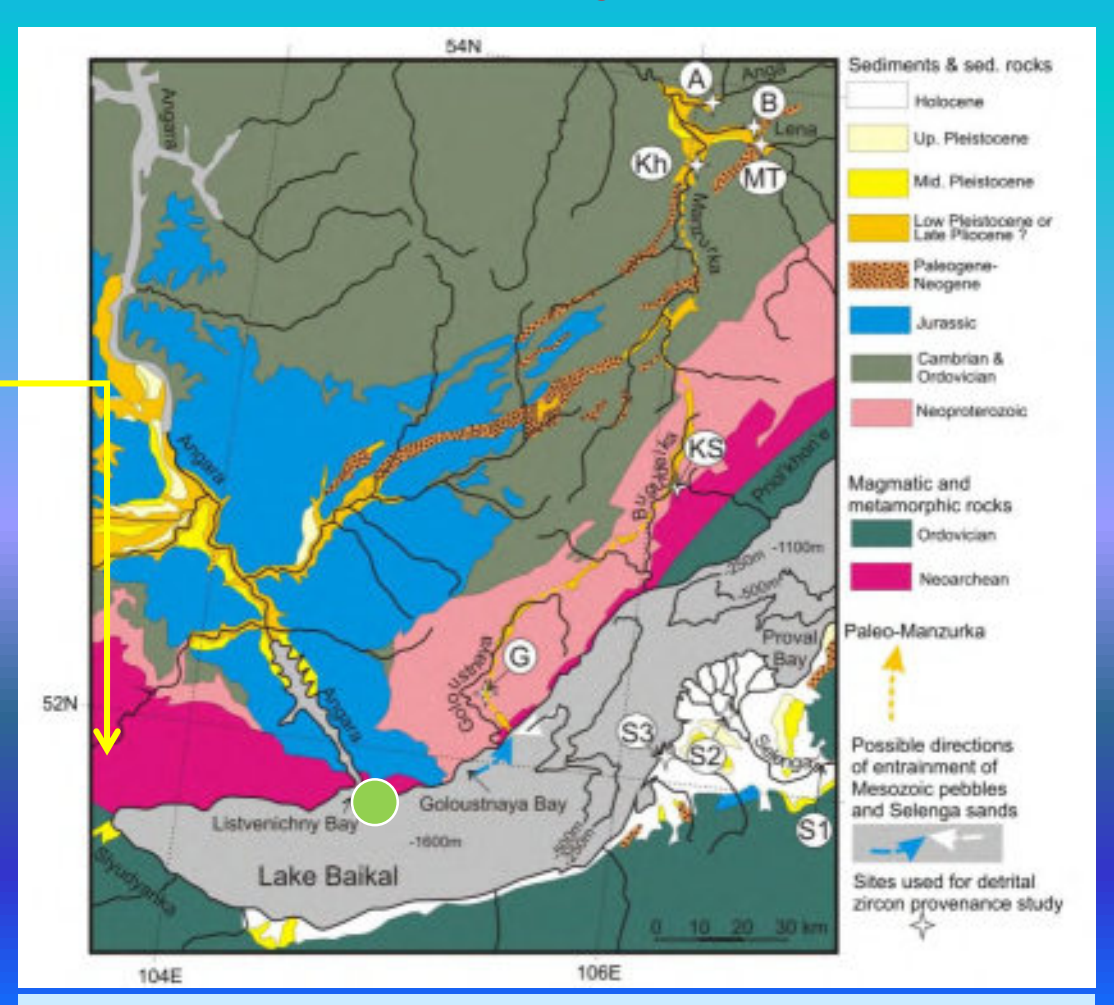
Возраст пород – преимущественно архейский (3,9-2,9 млрд лет, но для части метатерригенных пород установлено палеопротерозойское время осадконакопления (3,1-2,4 млрд лет) [Gladkochub et al., 2009; Туркина, 2010]

Геологическая карта южной части оз. Байкал и окружения

[Малич, 1999] с дополнениями [Кононов,, Мац, 1986 и Arzhannikov et al., 2018]



Шарыжалгайский выступ



Геологическая карта южной части оз. Байкал и окружения

[Малич, 1999] с дополнениями [Кононов,, Мац, 1986 и Arzhannikov et al., 2018]

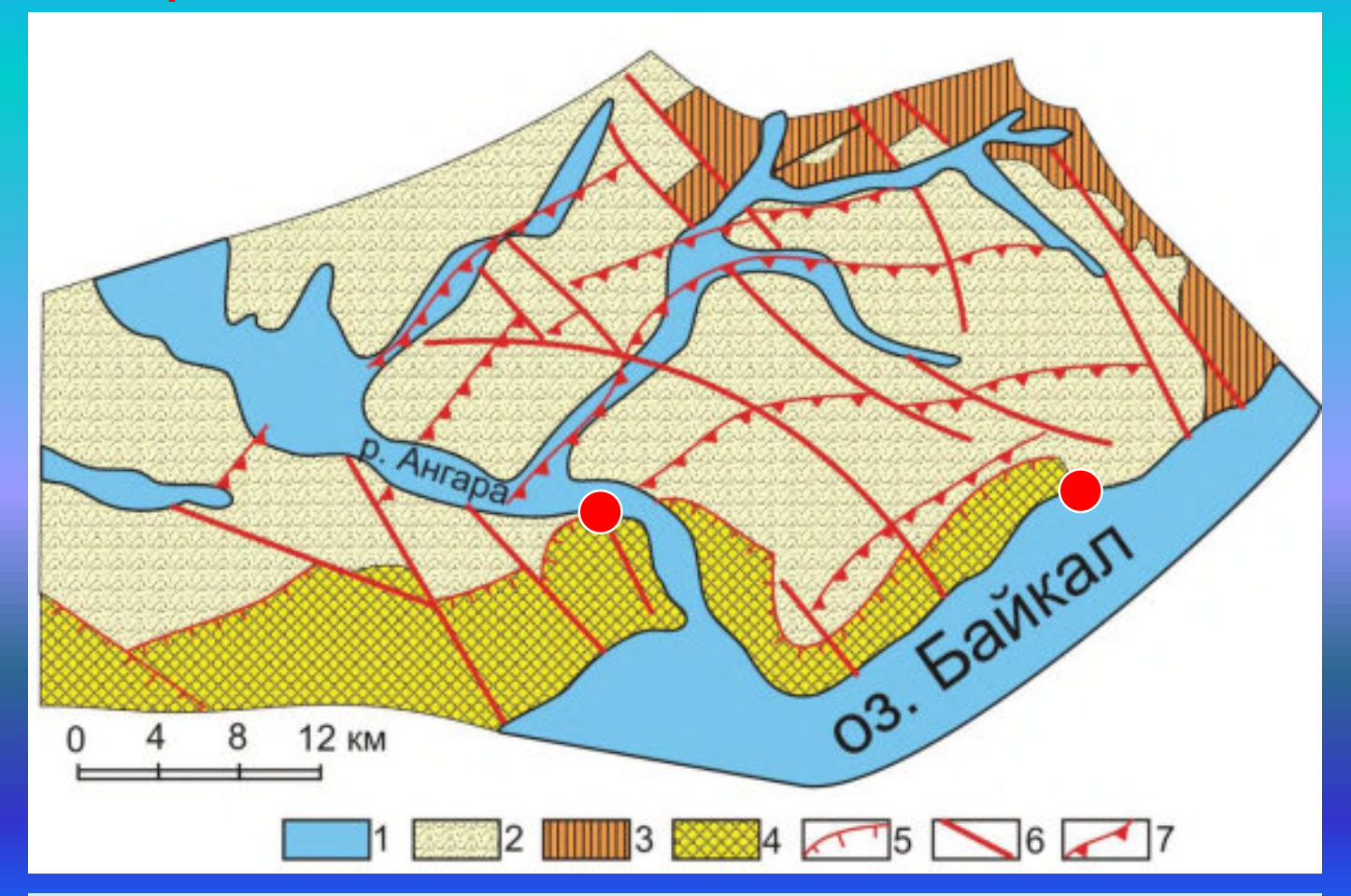


Возраст протолита биотитовых гнейсов 2,9 млрд лет (по ядрам циркона), возраст их метаморфической переработки 1,86 млрд лет (по краевым частям зерен циркона) [Gladkochub,Donskaya, 2021]

Здесь дайки долеритов (субвертикальные тела мощностью от 2 до 100 м) возрастом 1,3 млрд. лет прорывают гнейсы. Их формирование происходило в условиях внутриконтинентального растяжения [Donskaya et al., 2018]



Ангарский надвиг

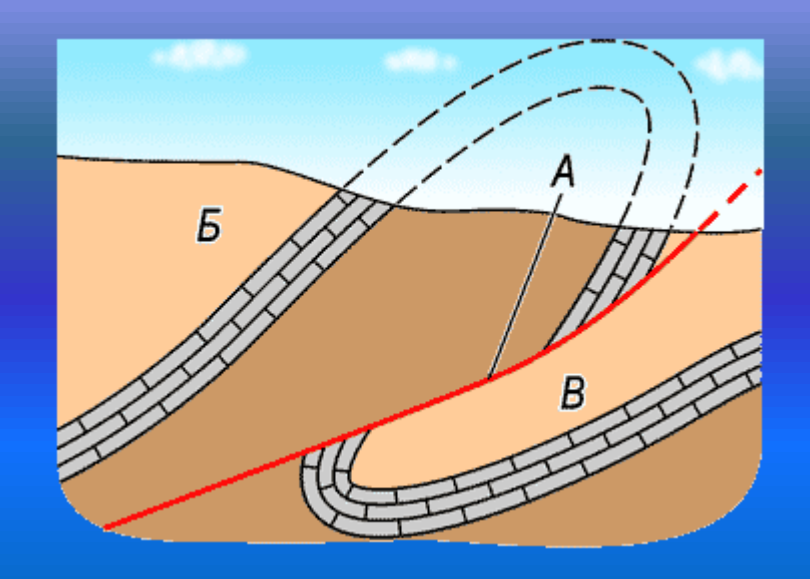


Геолого-тектоническая схема истока р. Ангары (составил В.И. Сизых) [Грудинин, Чувашева, 2011]:

1 – четвертичные осадки; 2 – юрские отложения; 3 – байкальский комплекс рифея; 4 – шарыжалгайский комплекс архея; 5 – фронт ангарского надвига; 6 – разрывные нарушения; 7 – надвиговые чешуи

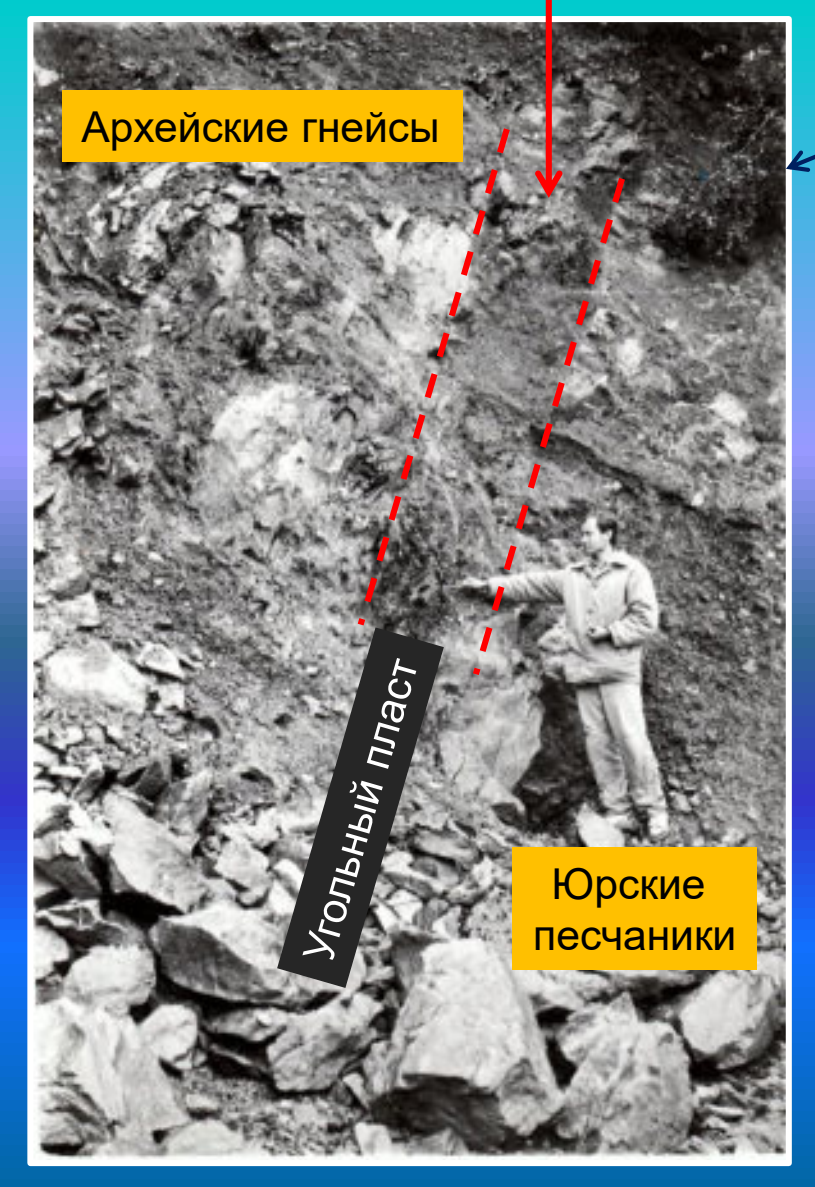
Здесь древние докембрийские породы Шарыжалгайского выступа надвинуты на юрские песчаники осадочного чехла платформы

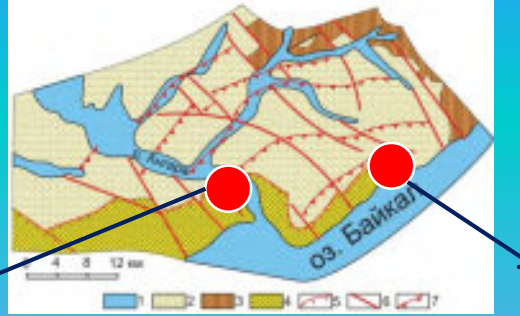
Надвиг – разрывное нарушение с пологим (до 45° или не более 60°) наклоном сместителя, по которому висячий бок поднят относительно лежачего и надвинут на него.



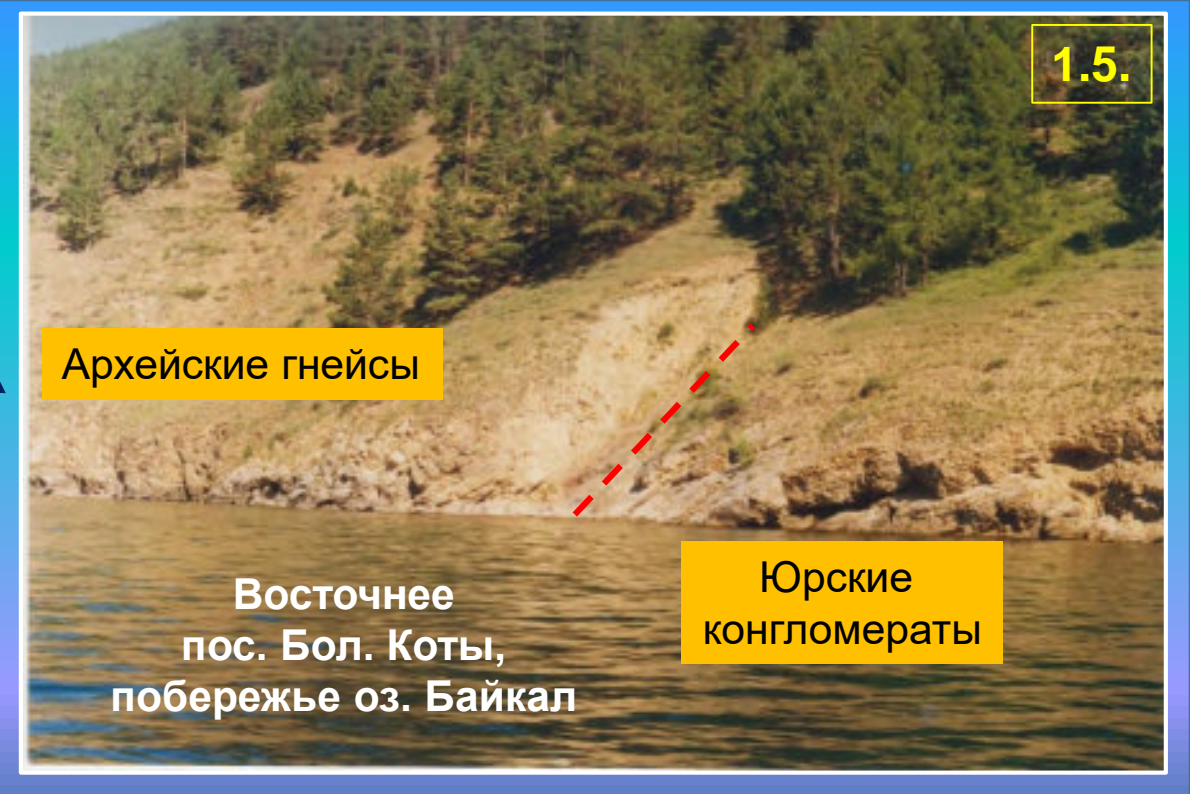
Ангарский надвиг

Материалы О.В. Луниной





100 м ниже устья пади Сосновка (6 км ниже истока р.Ангары, левобережье)



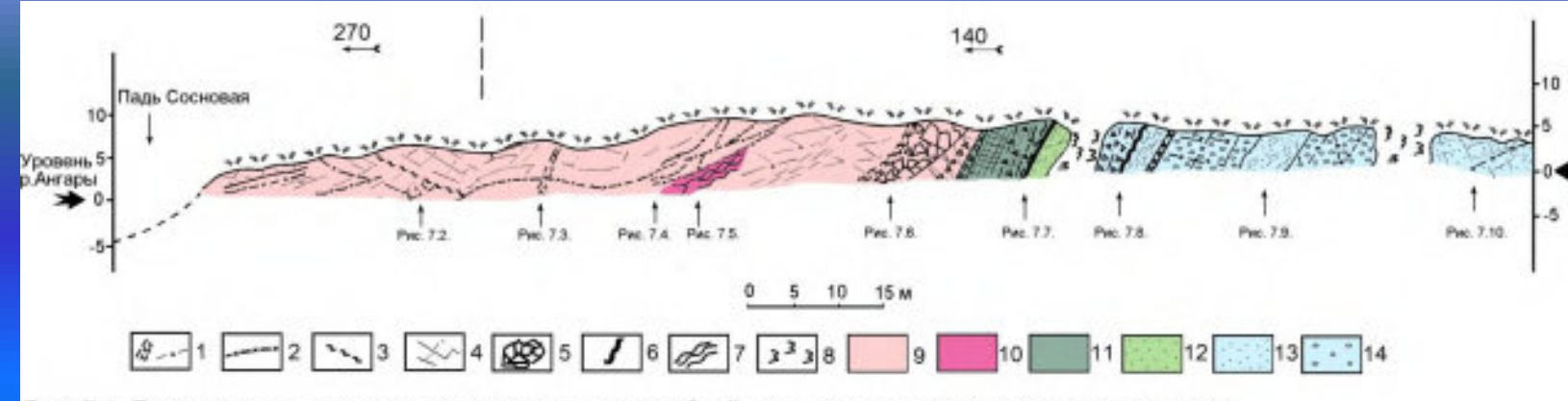


Рис. 7.1. Разрез тектонического контакта между докембрийскими породами и юрскими отложениями.

Обозначения: 1 - зона дробления; 2 - зона рассланцевания; 3 - зона милонитизации; 4 - крупные трещины; 5 - тектонические брекчии; 6 - угольные прослои; 7 - тектонические складки; 8 - осыпь; 9 - гнейсы; 10 - гематитизация; 11 - приразломные изменения песчаников; 13 - песчаники; 14 - конгломераты.

Пунктиром показано изменение экспозиции коренного выхода. Стрелкой с надписью рис... отмечены места, изображенные на фотографиях далее в тексте.

Южный Байкал,

2. Строматолитовые известняки пади Мал. Кадильная (левый берег)



Первые сложно организованные экосистемы на Земле, появившиеся в архее.

Нашим строматолитам около 700 млн лет (неопротерозой).

Породы известково-доломитового состава вместе с песчаниками и углеродисто-глинистыми отложениями, составляют улунтуйскую свиту, которая в составе байкальской серии прослеживается более чем на 500 км на СВ.

Строматолиты – ископаемые остатки цианобактериальных матов (сине-зеленых водорослей), образующие карбонатные (чаще известковые или доломитовые) постройки на дне мелководного водоема

Столбчатые строматолиты улунтуйской свиты в пади Мал. кадильная. Формы из группы Masloviella Korol. (вид сверху на плоскость пласта) и из группы Baicalia Kryl (вид сбоку вкрест пласта)

Современные строматолиты Западной Австралии — постройки, образованные в ходе накопления карбонатов цианобактериальны-ми матами (фото Paul Harrison)

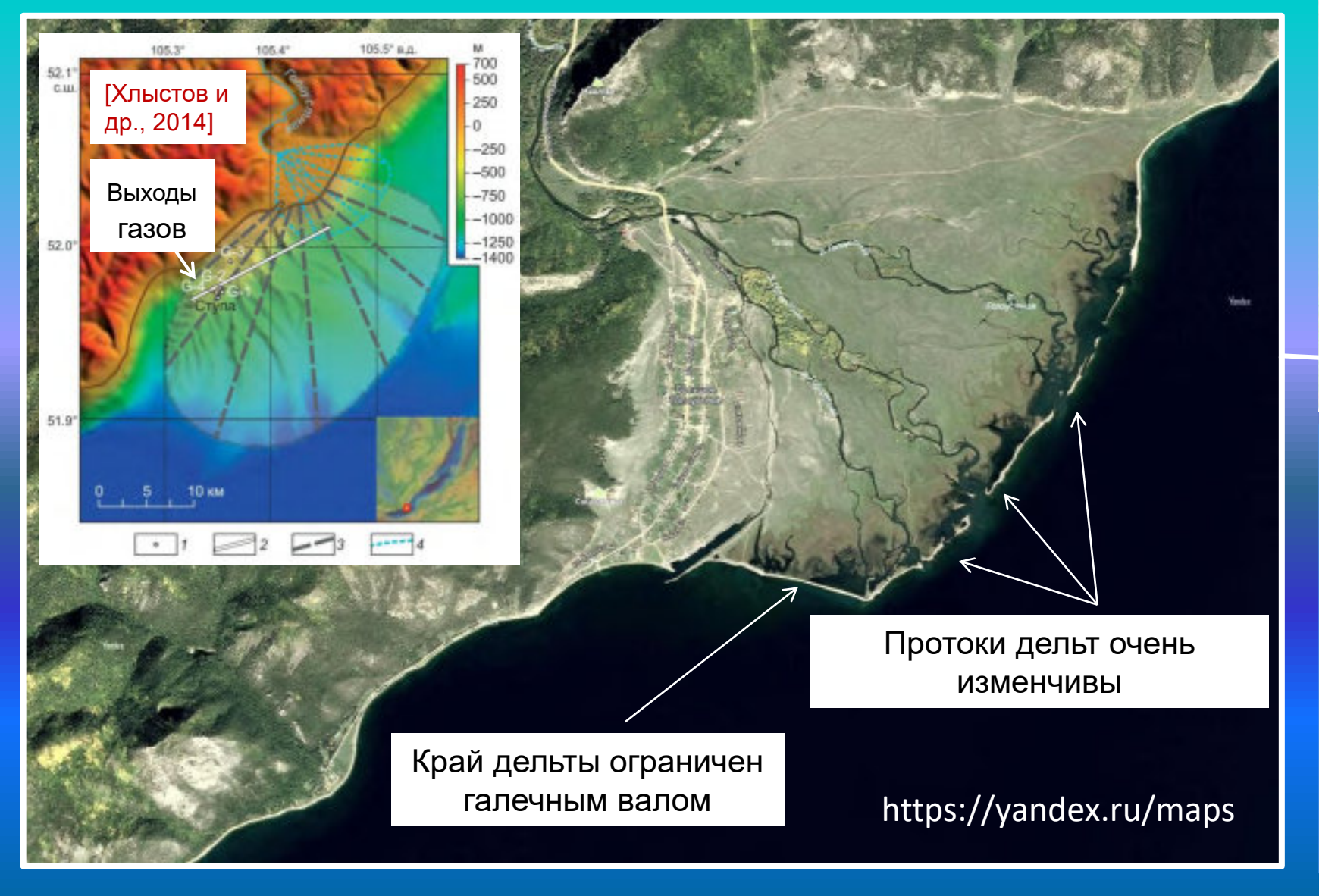


Цианобактерии представляют собой тонкие нити, которые, переплетаясь, формируют тонкослоистые маты (0,05–0,5 мм) или микрофитолиты (0,5-5 мм), состоящие из органогенного слоя и продуцируемого им минерального слоя, преимущественно карбонатного состава. В результате образуются постройки разного типа: пластовые, желваковые и столбчатые, иногда достигающие высоты 20 м. В 4-5 км вверх по пади, в ее левом борту и в хребте можно найти «гороховый камень».

Отложения р. Пра-Манзурки

Южный Байкал

3. Дельта р. Голоустной и Сухое озеро





Современные отложения устья р. Голоустной наложены на более древний, опущенный в результате среднеголоценового землетрясения конус выноса [Макаров, 2011]

Конус выноса Голоустной в голоцене 4 раза подвергался воздействиям сильных землетрясений по данным [Макаров, 2011]



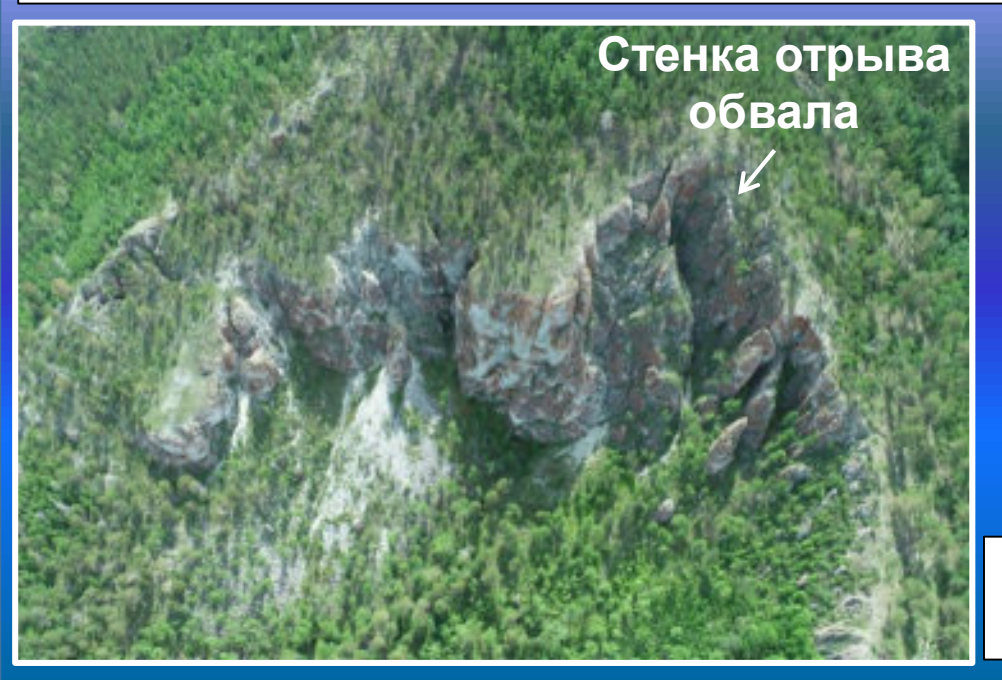




Сухое озеро (падь Озерко, Семеновка, Хурай-Нур)

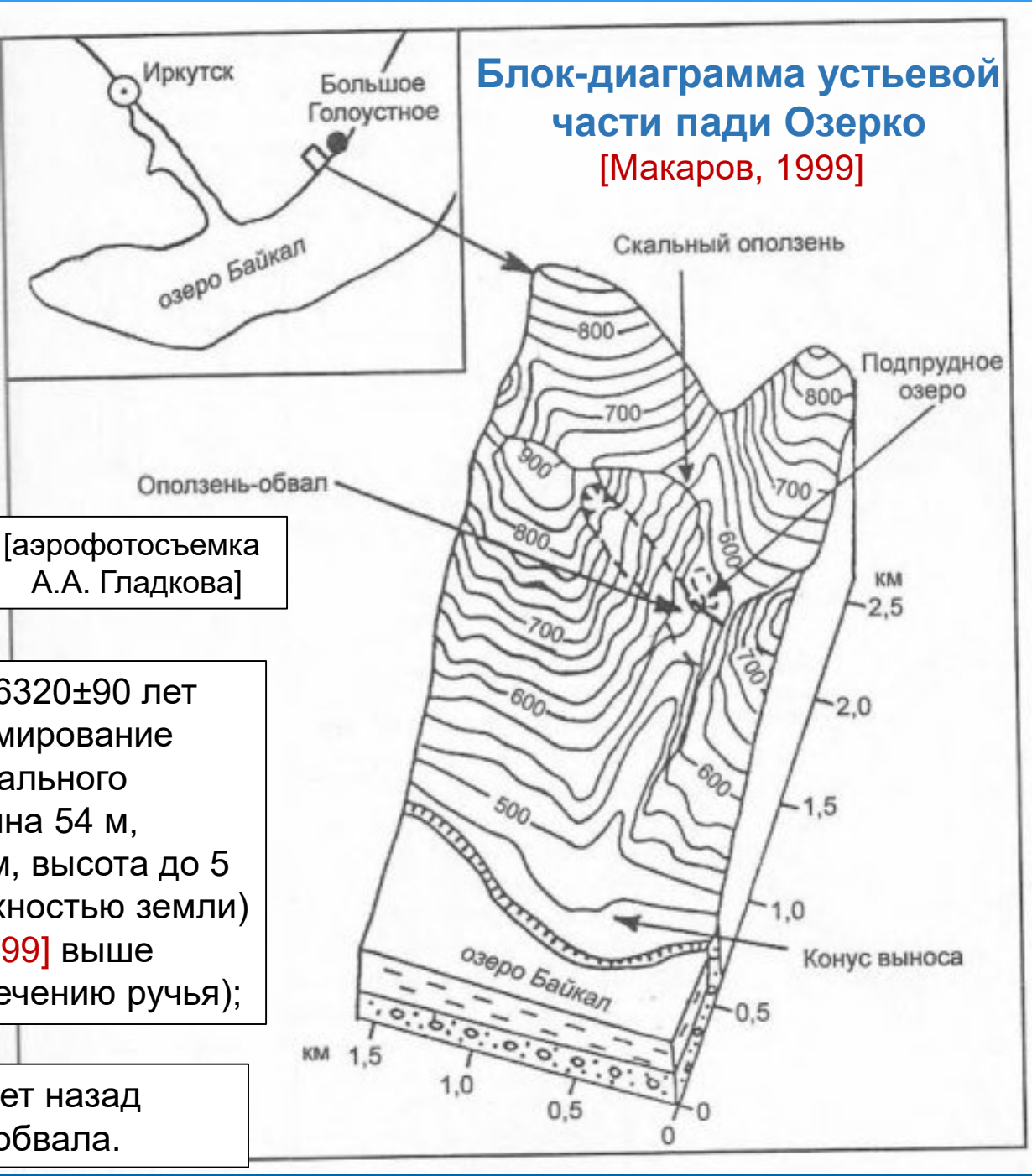


1) Конец верхнего плейстоцена – интенсивная селевая деятельность, наиболее влажный период (12-14 тыс. лет назад) по [Безрукова, 1999];



2) Не ранее 6320±90 лет назад – формирование блокового скального оползня (длина 54 м, ширина 7-8 м, высота до 5 м над поверхностью земли) [Макаров, 1999] выше обвала (по течению ручья);

3) 3810±100 лет назад образование обвала.







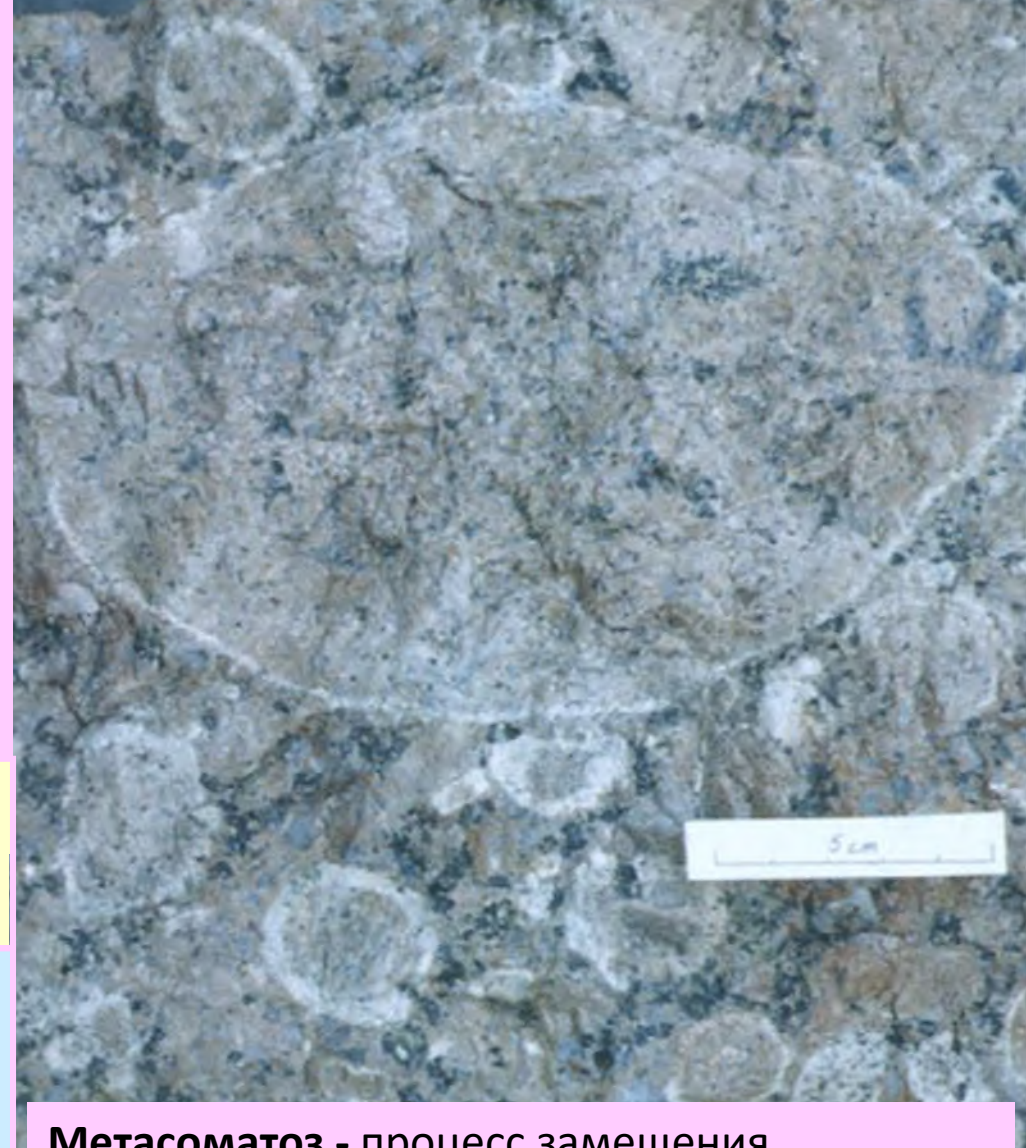


Граниты рапакиви грубозернистые граниты, в которых крупные кристаллы (овоиды) калиевого полевого шпата (обычно ортоклаза) полностью или частично окружены плагиоклазовыми оболочками (обычно олигоклазом), нередко с примесью кварца.

Фото с сайта: https://www.sandatla s.org/rapakivi-rottenstone/ Фенноскандинавский щит (фото [Rämöl, Haapala, 2005])



Перегретость гранитного расплава, высокая скорость роста зародышей кристаллов при почти постоянной температуре обеспечивают формирование овоидной структуры КПШ [Свириденко, 2014].



Метасоматоз - процесс замещения минеральных комплексов под воздействием эндогенных растворов и протекающий с изменением химического состава породы при постоянном объеме



Граниты рапакиви Приморского комплекса

Распространение: вдоль побережья в виде полосы шириной 2–25 км между мысом Ср. Хомуты и устьем р. Бугульдейка. Далее на северо-востоке они слагают склоны и осевую часть Приморского хребта.

Возраст: 1859±16 млн. лет [Донская и др., 2003].

Типичные рапакиви можно видеть на южной стороне мыса Бол. Колокольный, у его подножия. Здесь в глыбах и обломках широко распространены породы с крупными овоидами из микроклина, окаймленными светлым плагиоклазом.

Размеры овоидов от 3×4 до 12×25 см [Грудинин, Чувашова, 2011].



Краснояровская палеосейсмодислокация в районе мыса Красный Яр

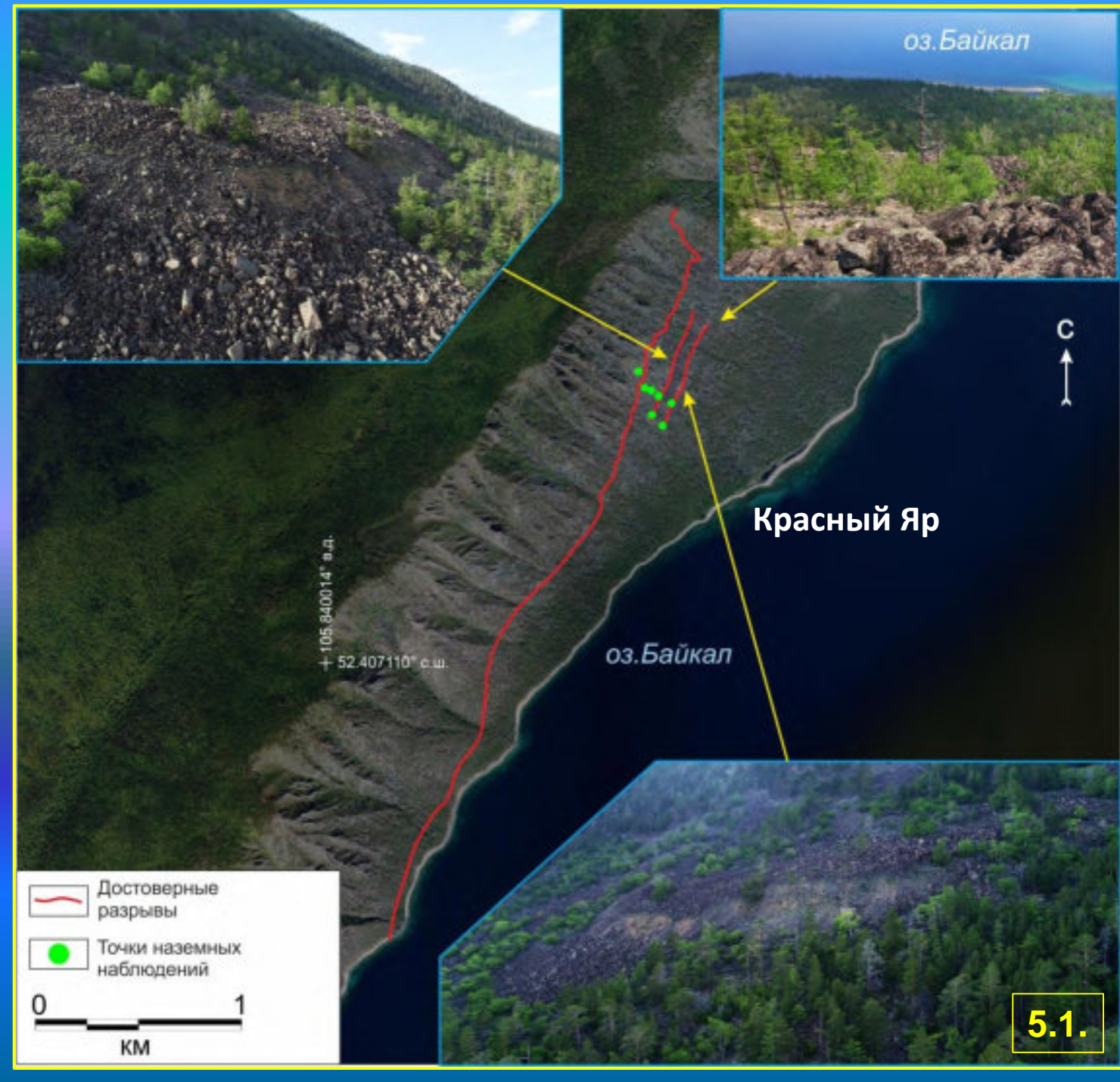
Длина зоны разрывов - 4,146 км.

Расчетная магнитуда землетрясения была не менее 6,25.

Оценка произведена по формуле для сбросов: $Ms = 5,80 + 0,73 \ lgL$,

[Lunina, 2002].









Цаганское катастрофическое землетрясение 12 января 1862 г. с М∼ 7.5 сильнейшее за последние 160 лет на Байкале

«Люди почувствовали сильный вертикальный удар, земля заволновалась, вздулась буграми, из вершин которых через широкие трещины выбрасывались вода и песок. Из колодцев вылетали деревянные срубы, а вода из них била фонтанами на высоту до 6,4 м...» [Лопатин, 1862; Фитингоф, 1865; Демин, 2005; Лунина, 2012]

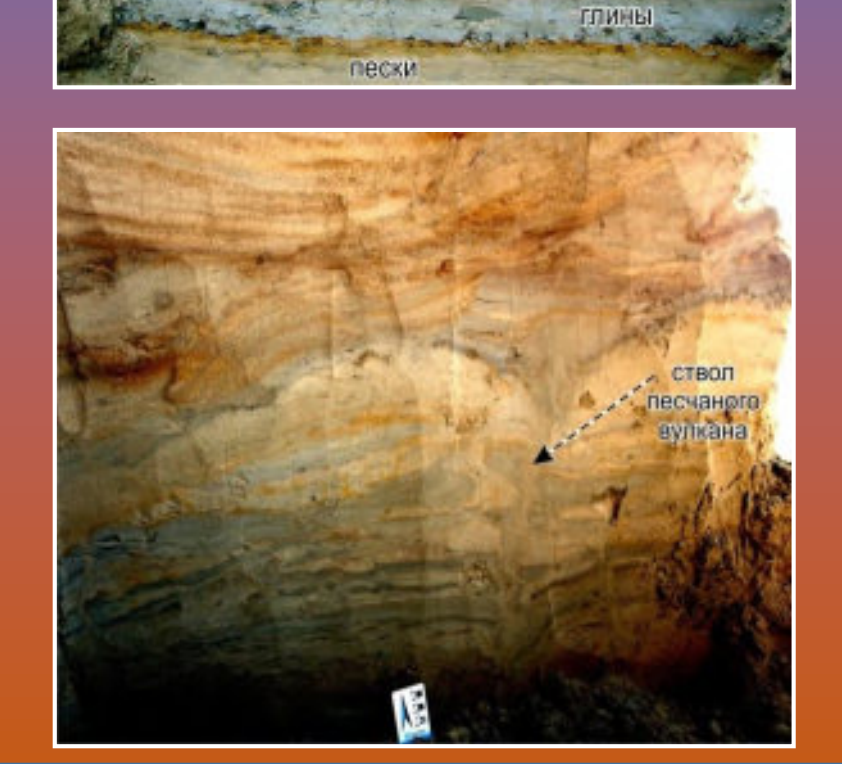
[Лунина и др., 2012]

Следы разжижения грунта от Цаганского землетрясения 1862 г.





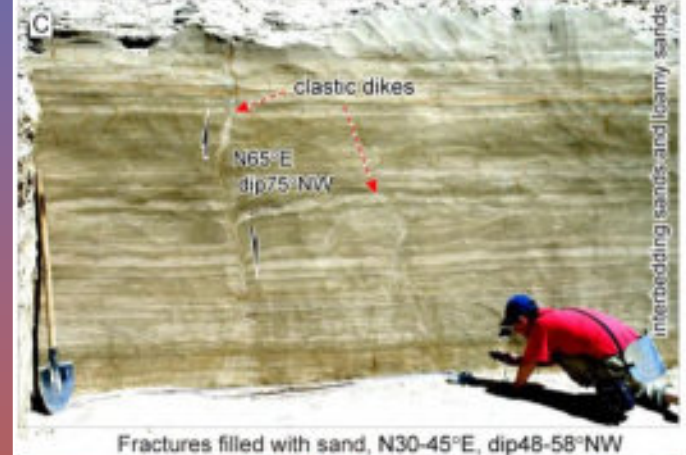




пески

пески

глины .



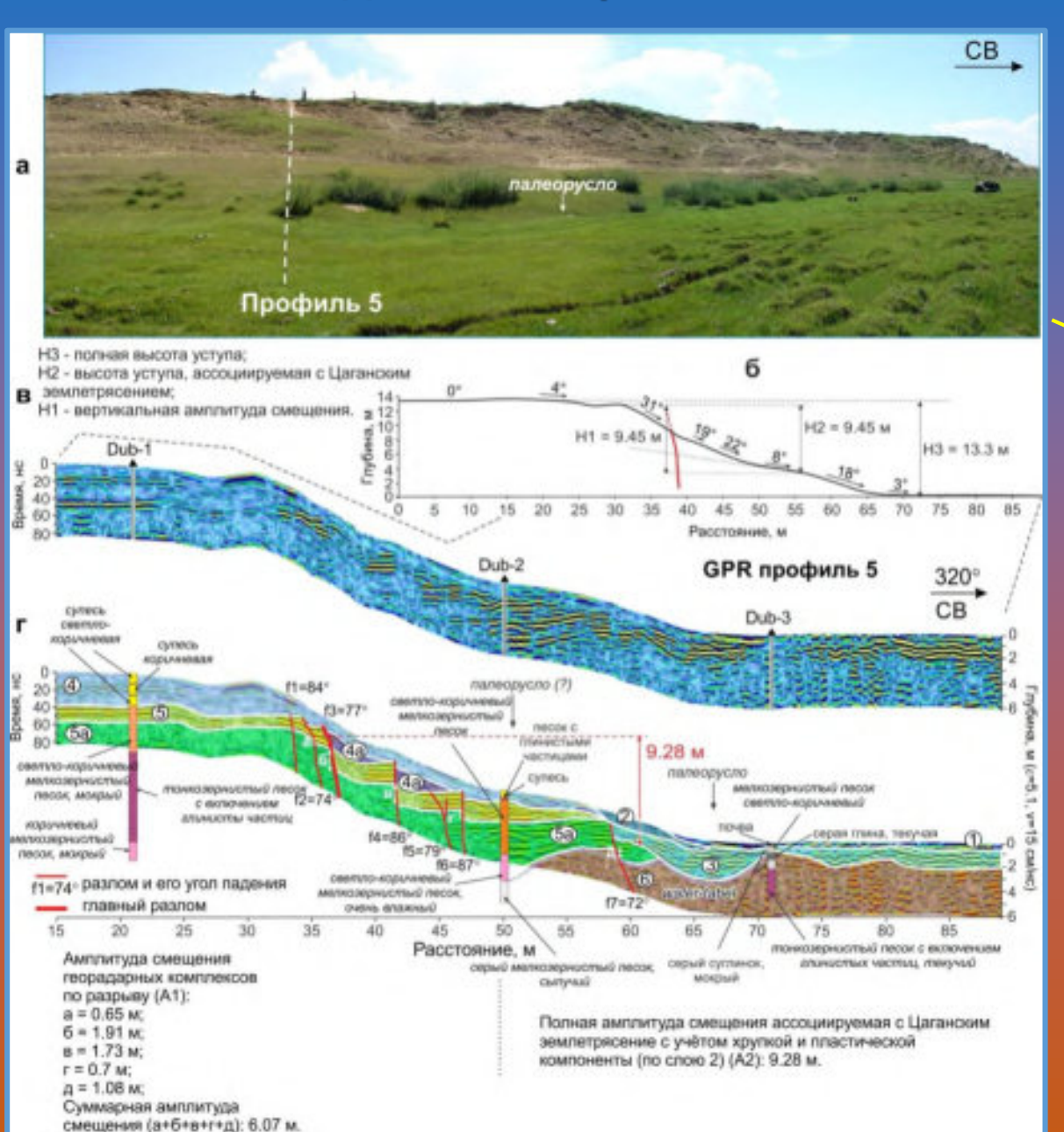




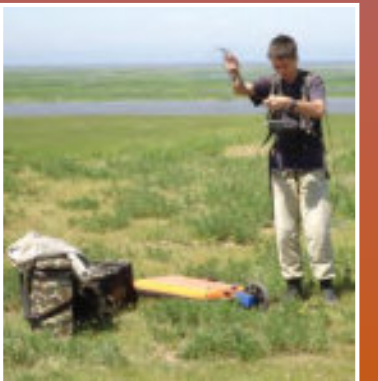


Sand

Георадарный профиль 5 через уступ Дельтового разлома







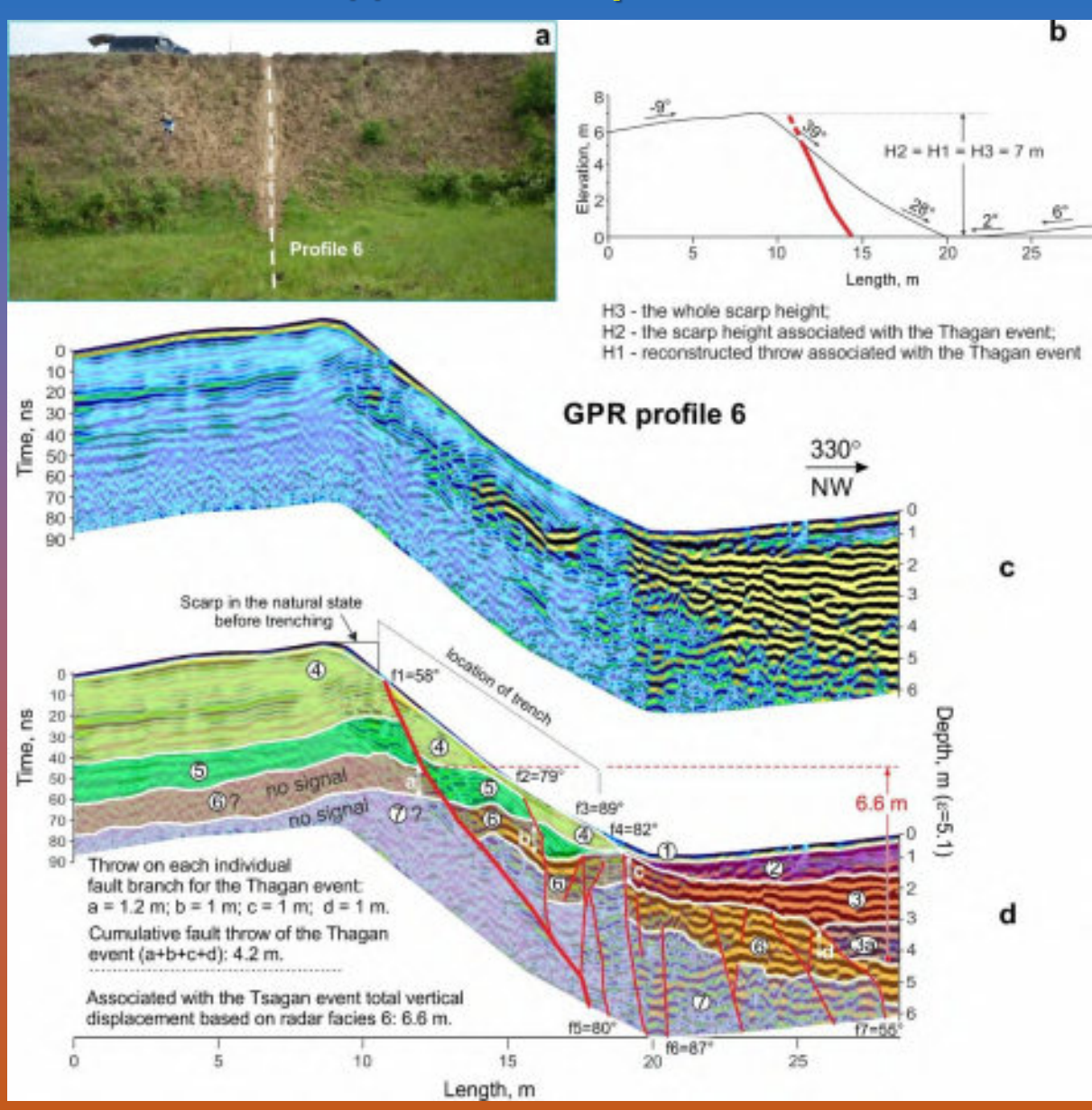




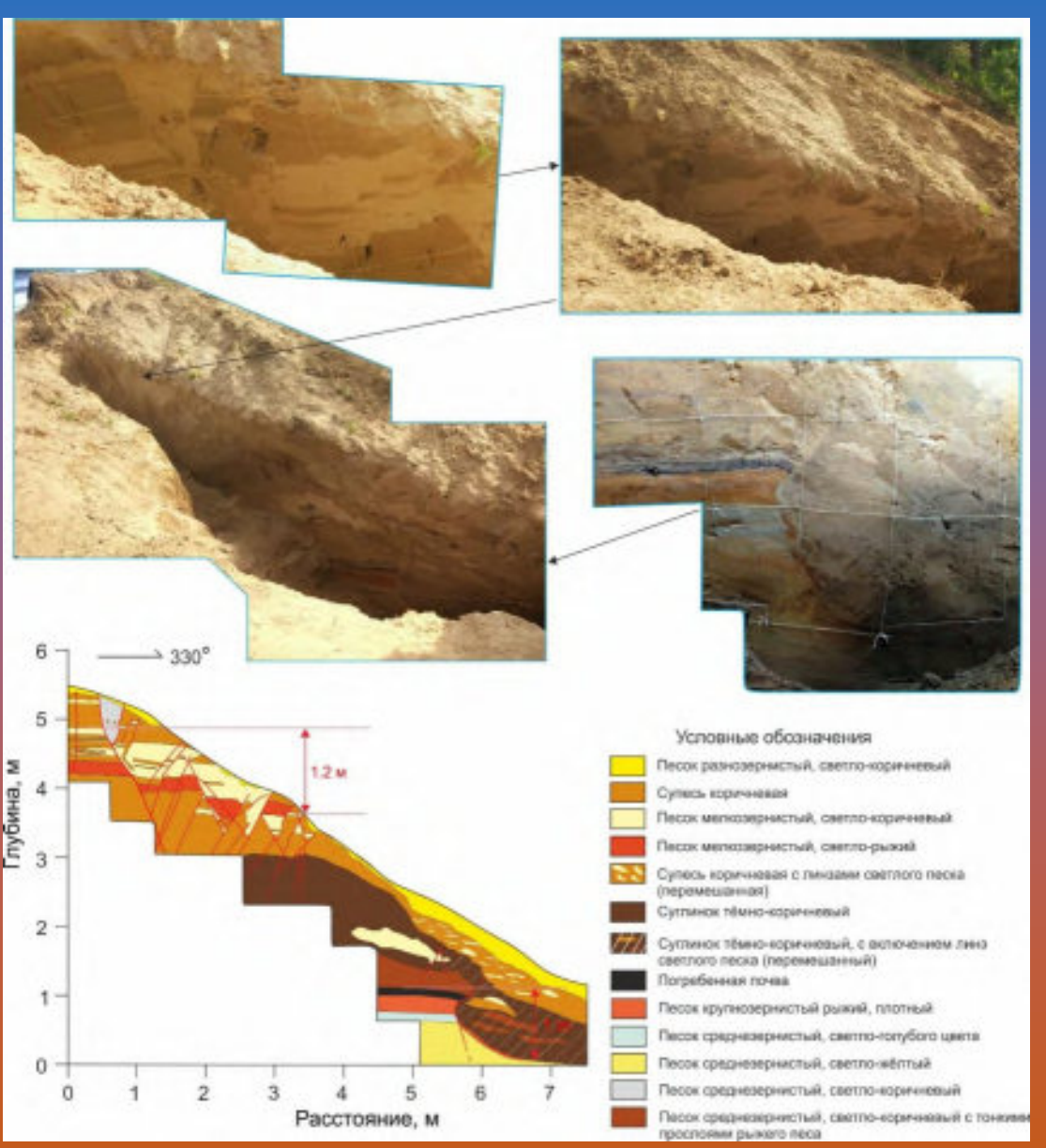
Denisenko Lunina,

52.31001°, E 106.78011°

Георадарный профиль 5 через уступ Дельтового разлома



Канава, вскрывающая сейсмогенный уступ в районе с. Дубинино на профиле 6







Мрамора Ольхонского террейна Центрально-азиатского складчатого пояса





Мрамор (др.-греч. «белый или блестящий камень») — метаморфическая горная порода, состоящая из кальцита CaCO₃ с примесями других минералов.

Фото из путеводителя [Gladkochub, Donskaya, 2017]

плагиоклаз +

Роговая обманка +

пикоксен+примеси

Ольхонский террейн – коллаж генетически и хронологически разных метаморфических пород.



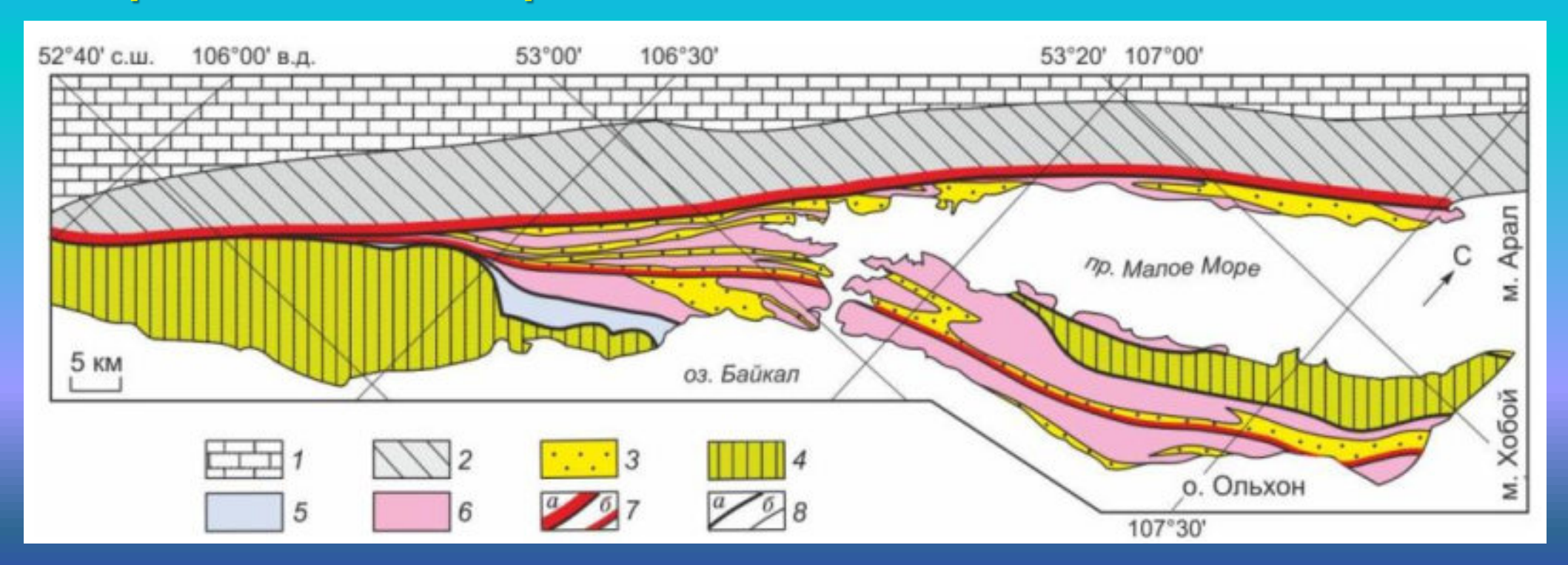
Возраст накопления осадочных и вулканогенно-осадочных пород в пределах островодужной системы Палеоазиатского океана ~635-541 млн лет (поздний неопротерозой).

Возраст метаморфизма ~500 млн лет (ранний палеозой).

[Gladkochub, Donskaya, 2017]

Южный Байкал

8. Тажеранские степи: просто о сложном



Тектоническая схема Ольхонской коллизионной системы [Donskaya, 2020]

1, 2 - Сибирский кратон: 1 - рифейско-палеозойский слабодеформированный осадочный чехол; 2 - фундамент, образованный палеопротерозойскими метаморфитами и гранитами; 3-6 — раннепалеозойская коллизионная система, Ольхонский композитный террейн (коллаж сдвиговых пластин различного состава и возраста): 3 - пластины, образованные пестрым по составу метаморфическим комплексом с участием толеитовых базитов (500 млн лет); 4 - пластины, образованные пестрым по составу метаморфическим комплексом с участием субщелочных базитов (500 млн лет); 5 - пластина, образованная гнейсово-амфиболитовым комплексом Орсо; 6 -пластины, образованные гранитогнейсами и мигматитами (460-470 млн лет); 7а - коллизионный шов (граница Сибирского кратона и Ольхонского террейна; бластомилониты по породам кратона и террейна, отторженцы палеозойских гранулитов среди бластомилонитов); 7б - главная сдвиговая зона региона; 8а - швы бластомилонитов между группировками сдвиговых пластин различных типов; 8б - швы бластомилонитов между отдельными сдвиговыми пластинами.

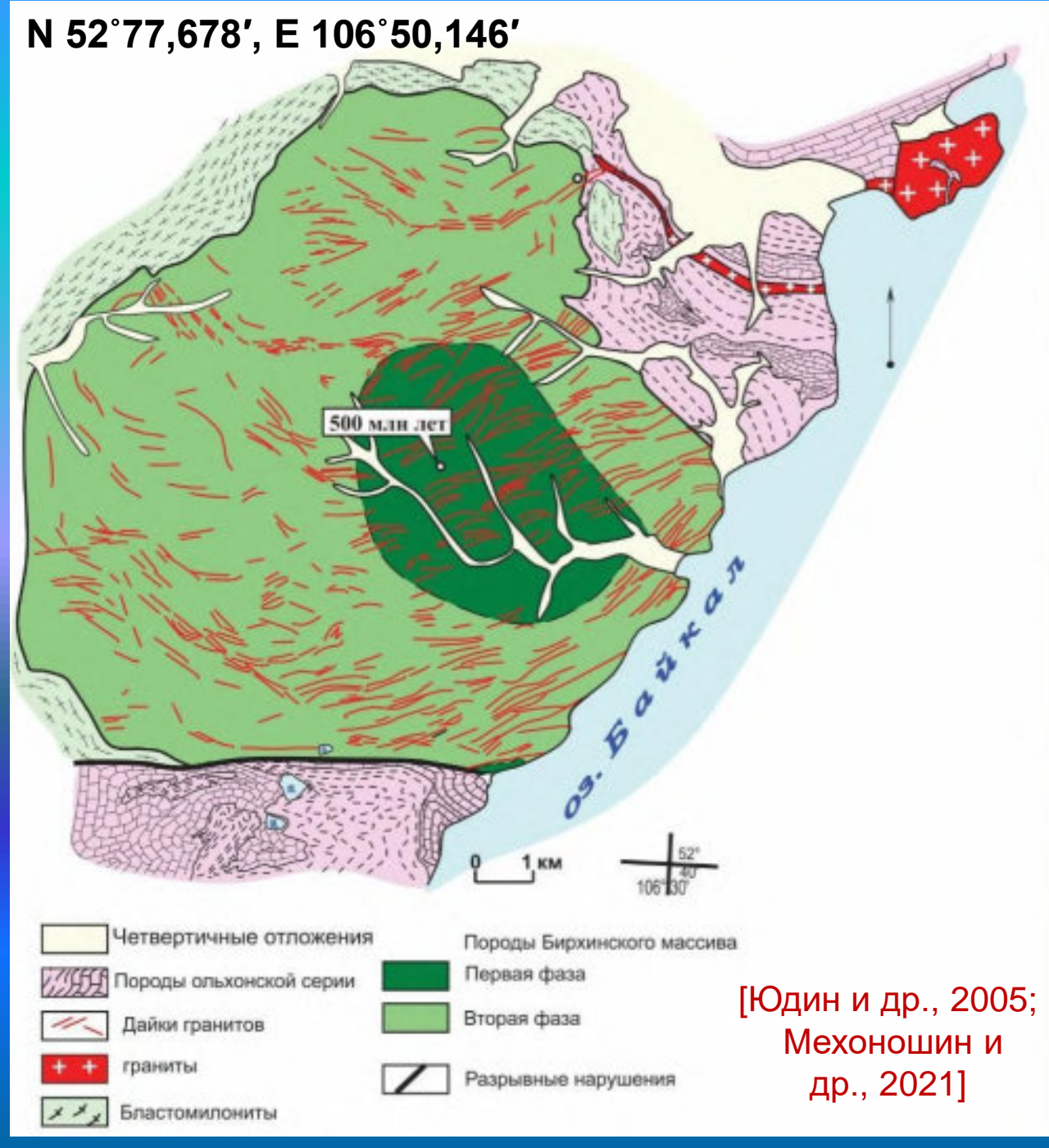
Габброиды Бирхинского массива

Размер тела: 12×13 км

Габброиды - общее название для семейства плутонических пород (образованных на глубинах более 3-4 км) основного состава, содержащих плагиоклаз в качестве главного породообразующего минерала.

Главные минералы габбро: плагиоклаз, моноклинный пироксен, роговая обманка и кварц.











Габброиды Бирхинского массива (вместе с вулканитами цаганзабинского комплекса) - фрагмент разреза развитой островной дуги с возрастом около 500 млн лет.



Интерпретация гравиметрических данных, полевых геологических материалов и данных космического зондирования (составлена В.С. Федоровским) [Скляров, Мотова, 2019]

«Сад камней» - своеобразная форма выветривания раннепалеозойских габброидов Бирхинского массива в виде шаров, размер которых достигает нескольких метров.

Сад камней

N 52°77,678', E 106°50,146'







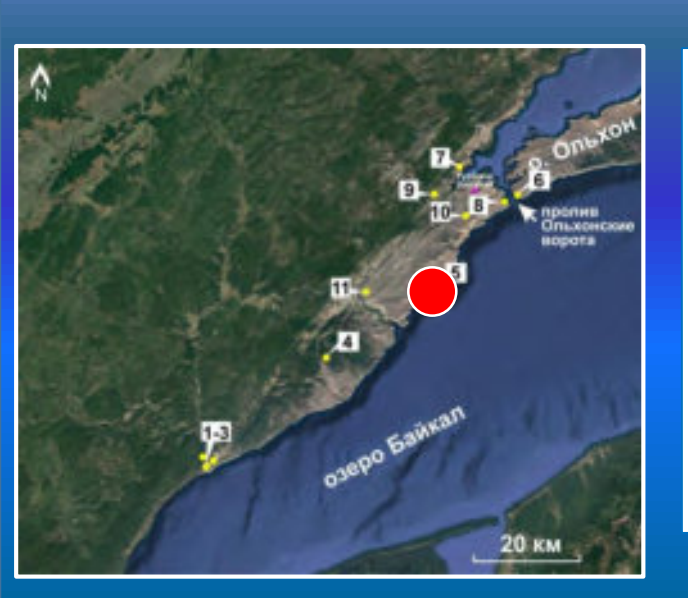
[Мехоношин и др., 2021; Гладкочуб, Донская, 2017]

Тажеранский щелочной массив

Между бухтами Улан-Нур и Орсо

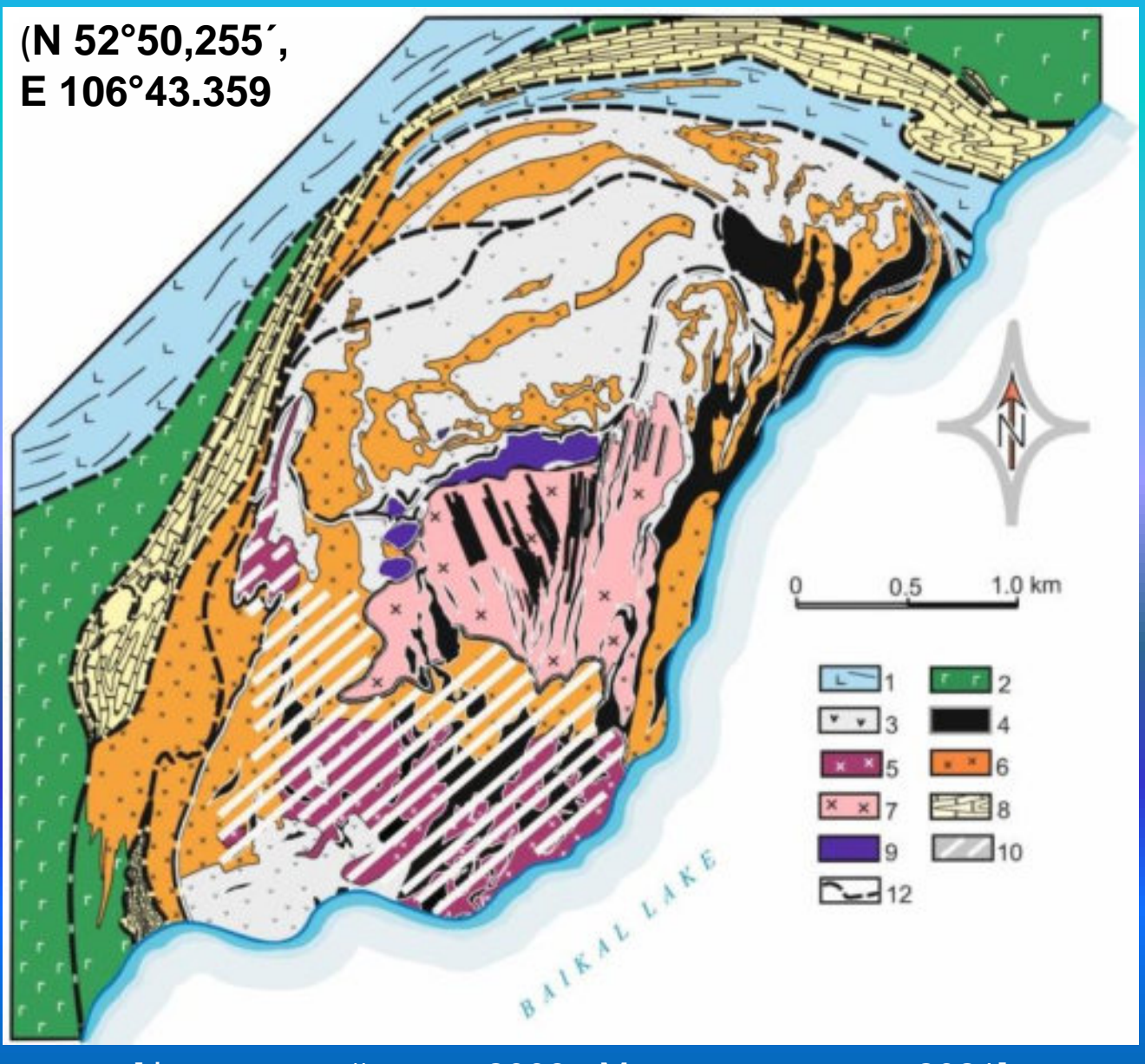
Размер тела: ~6 кв. км

1 — амфиболиты; 2 — габброиды второй фазы Бирхинского комплекса (500 млн лет); 3 — роговики по габброидам нормальной щелочности (470 млн лет); 4 — субщелочные габброиды (460-465 млн лет); 5 — нефелиновые сиениты (454-469 млн лет); 6 — сиениты (471 млн лет); 8 — кальцитовые мраморы; 9 — фассаитовые пироксениты и нефелин-фассаитовые породы в ассоциации с доломит-содержащими кальцитовыми мраморами; 10 — область распространения бруситовых мраморов и магнезиальных метасоматитов; 11 — тектонические границы.



Возраст: 451-471 млн. лет[Sklyarov et al., 2009; Fedorovsky et al., 2010; Starikova et al., 2014; Гладкочуб, Донская, 2017]

Геологическая карта массива Тажеран



[Федоровский и др., 2009; Мехоношин и др., 2021]

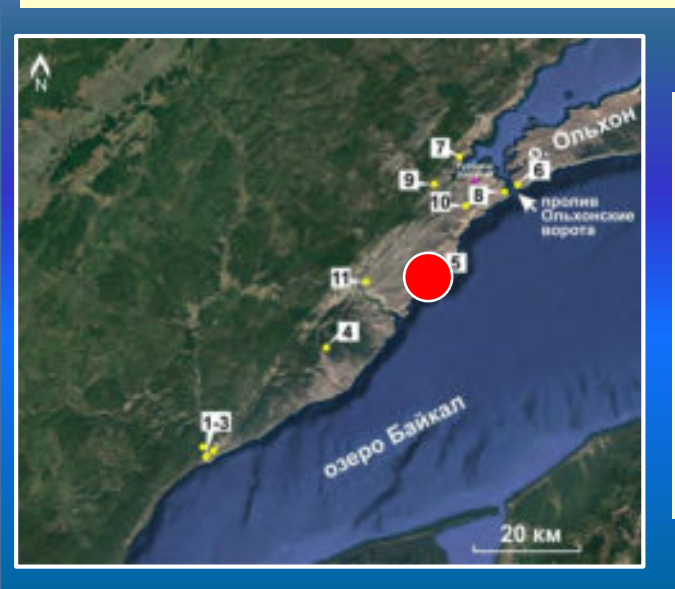
Тажеранский щелочной массив уникальное месторождение различных

пород и минералов, сложный композит магматических, метаморфических и метасоматических пород

Открытые в массиве минералы:

Тажеранит (Zr, Ti, Ca)O2 (1969 г.) *Азопроит* Mg2Fe(BO3)O2 (1970 г.)

См. минералы Тажеранского массива в книге «Байкал. Геология. Человек» [Грудинин, Чувашова, 2011]



Тажеранит - природный аналог фианита. У минерала высокие показатели преломления и твердость.

Вид со льда Байкала на массив



Вид с массива



[Гладкочуб, Донская, 2017]

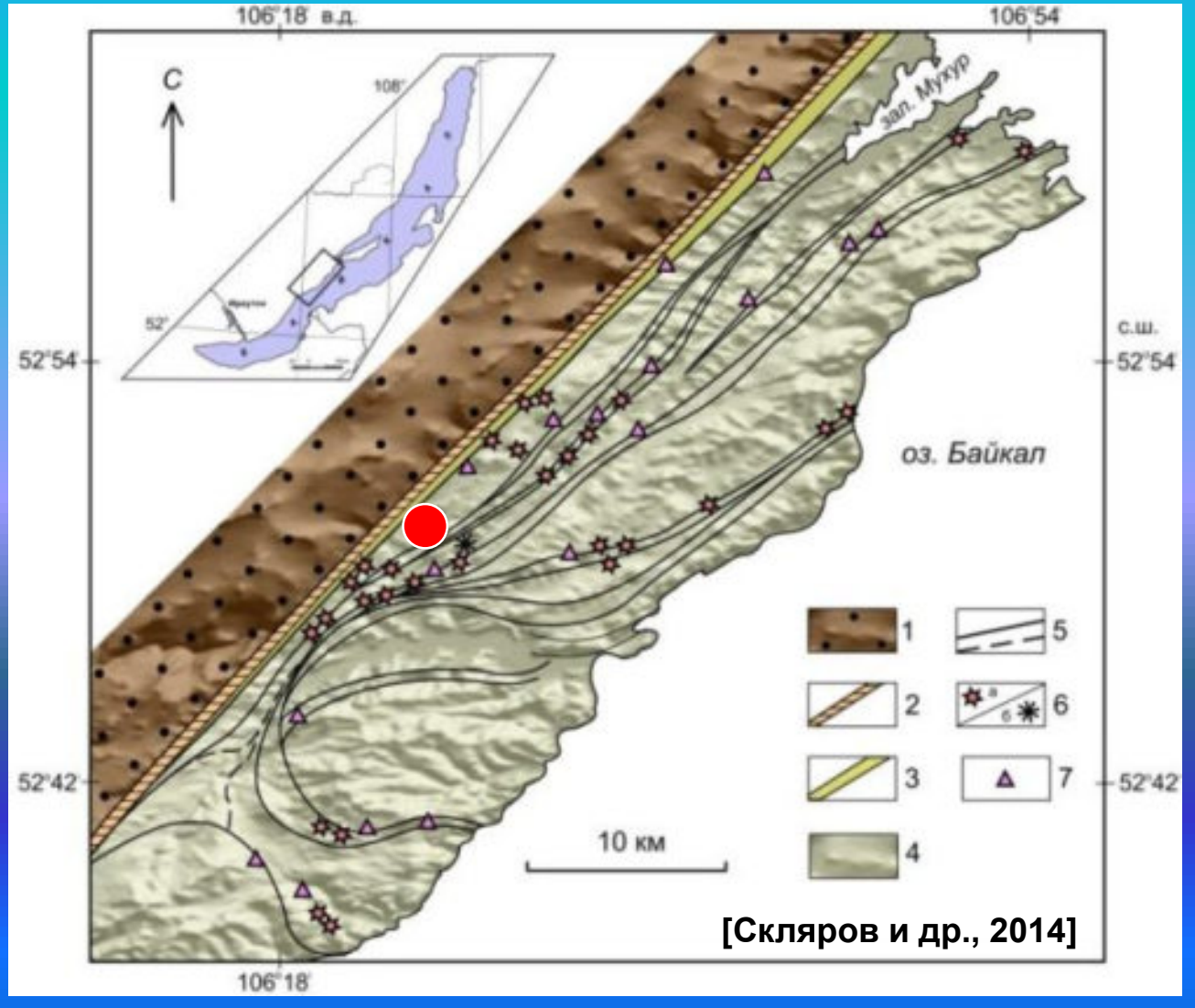
Гейзериты — тонкозернистые кремнистые (опаловидные) породы, сложенные скрытокристаллическим кремнистым веществом, халцедоном, кварцем, кальцитом, оксидами и гидроксидами железа.

Разнообразные текстуры и структуры: сферолитовая, микрослоистая, волокнистая, петельчатая, брекчиевидная и др.

N 52°50′10′′, E 106°30′30′′



Расположение выходов гейзеритов в Приольхонье



1 – Сибирский кратон; 2 – эскарп кайнозойского Приморского разлома; 3 – раннепалеозойский коллизионный шов; 4 – раннепалеозойские метаморфические и магматические комплексы Ольхонского террейна; 5 – унаследованные кайнозойские разломы; 6 – выходы гейзеритов (а) и травертинов (б); 7 – источники. Использована цифровая модель рельефа SRTM (http://srtm.csi.cgiar.org).

Образовались при выходах к поверхности гидротермальных растворов, температура которых была не менее 400 °C.

Представлены крупноглыбовыми развалами, расположенными на площади в первые десятки квадратных метров, 100-150 м2.

Унаследованная гнейсовидность в гейзеритах



[Скляров, Мотова, 219]





Цепочки малых озер центральной части Приольхонья [Скляров, Мотова, 2019]



Площадь: от 0.001 до 1.100 км2;

Глубина для большинства озер: не превышает 2 м;

Площадь водосбора: не более 3 км2.

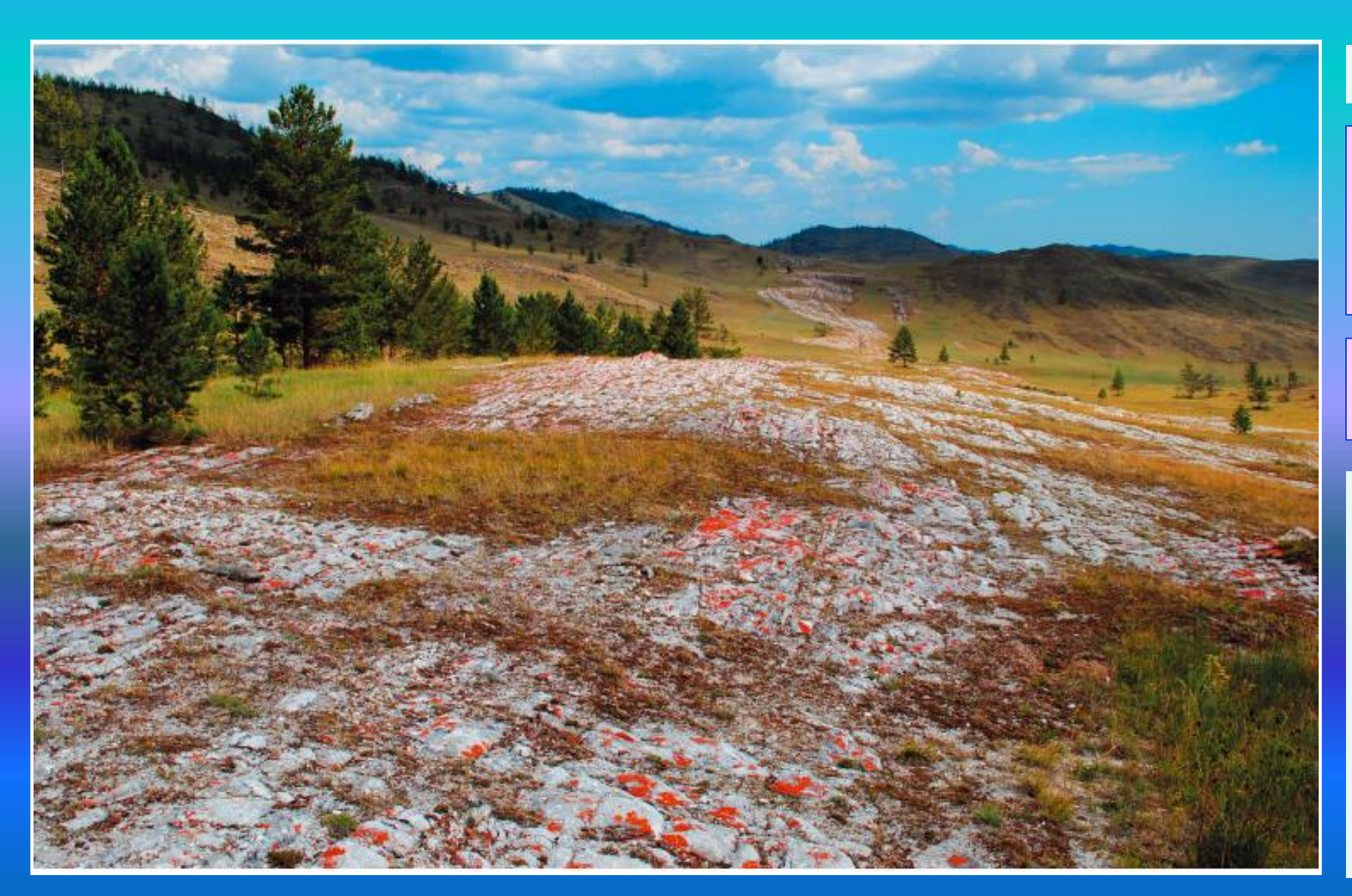
Пресные: 0.2-1.0 г/л (Ca-Mg, Mg-Ca-Na и Na-Mg состав);

Солоноватые: 1.0-7.0 г/л (SO4-HCO3, MgNa состав);

Соленые: 14-45 г/л (преобладают SO4 и CI)

1 – Сибирский кратон; 2 – Ольхонский террейн; 3 – раннепалеозойский коллизионный шов; 4 – унаследованные современные линейные грабены; 5 – современный эскарп, разделяющий раннедокембрийские и раннепалеозойские структуры; 6 – пулл-апарт грабены, вмещающие соленые и соло-новатые озера; 7 – озера (а) и родники (б).

8.5. Мраморная дорога



N 52°95,201′, E 106°74.987′

Меланж в геологии — продукт тектонического дробления горных пород разного состава.

Мраморный меланж — мраморно-силикатная смесь.

Участок шовной зоны
Томота-Кучелга,
разделяющий различные
пластины коллизионного
коллажа. Сложена,
главным образом,
мраморами и мраморными
меланжами [Скляров,
Мотова, 2019]



Зона разлома в гнейсах (коричневых) и пегматитах (белесых), представленная дроблением и милонитизацией до глинки трения, по которой формируется линейная кора выветривания

53,15147°; 107,19780°

геологическом плане Ольхон, как прилегающие тажерансглубоко степи, кие эродированный срез коллизионной системы, представленный сложным комплексом магматичеси метаморфических пород [Федоровский и др., 1995]



Зона разлома (вид с мыса Саган-Хушун на северо-восток)

Точка съемки: 53,39326°; 107,72894°



В Улан-Хушинском заливе (?)





Линейная кора выветривания по зоне разлома в гранит-пегматитах, мыс Харалдай

53,23525°; 107,44517°



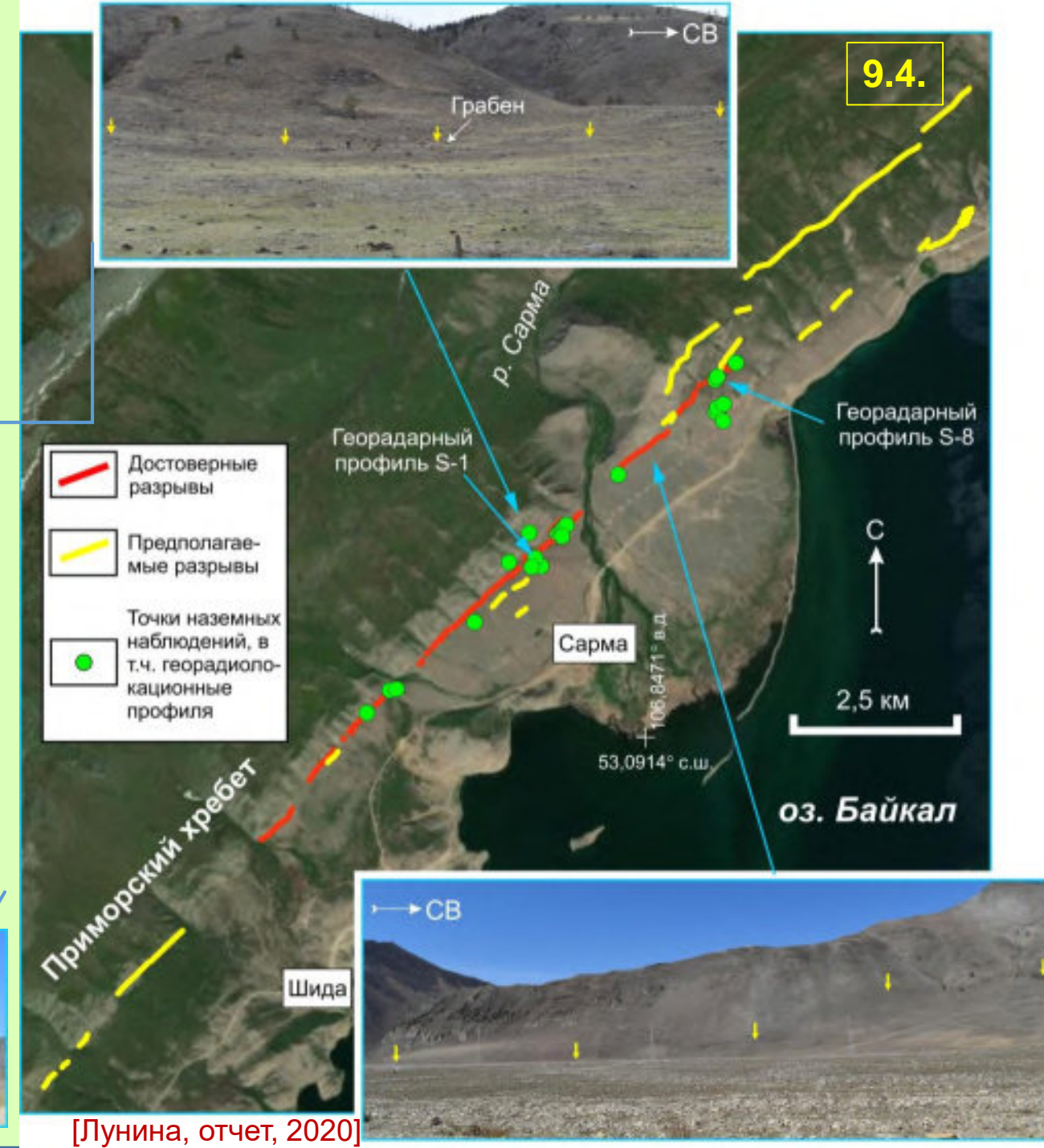


Северный Байкал, Малое море Приморский разлом Сарминская зона сейсмогенных разрывов

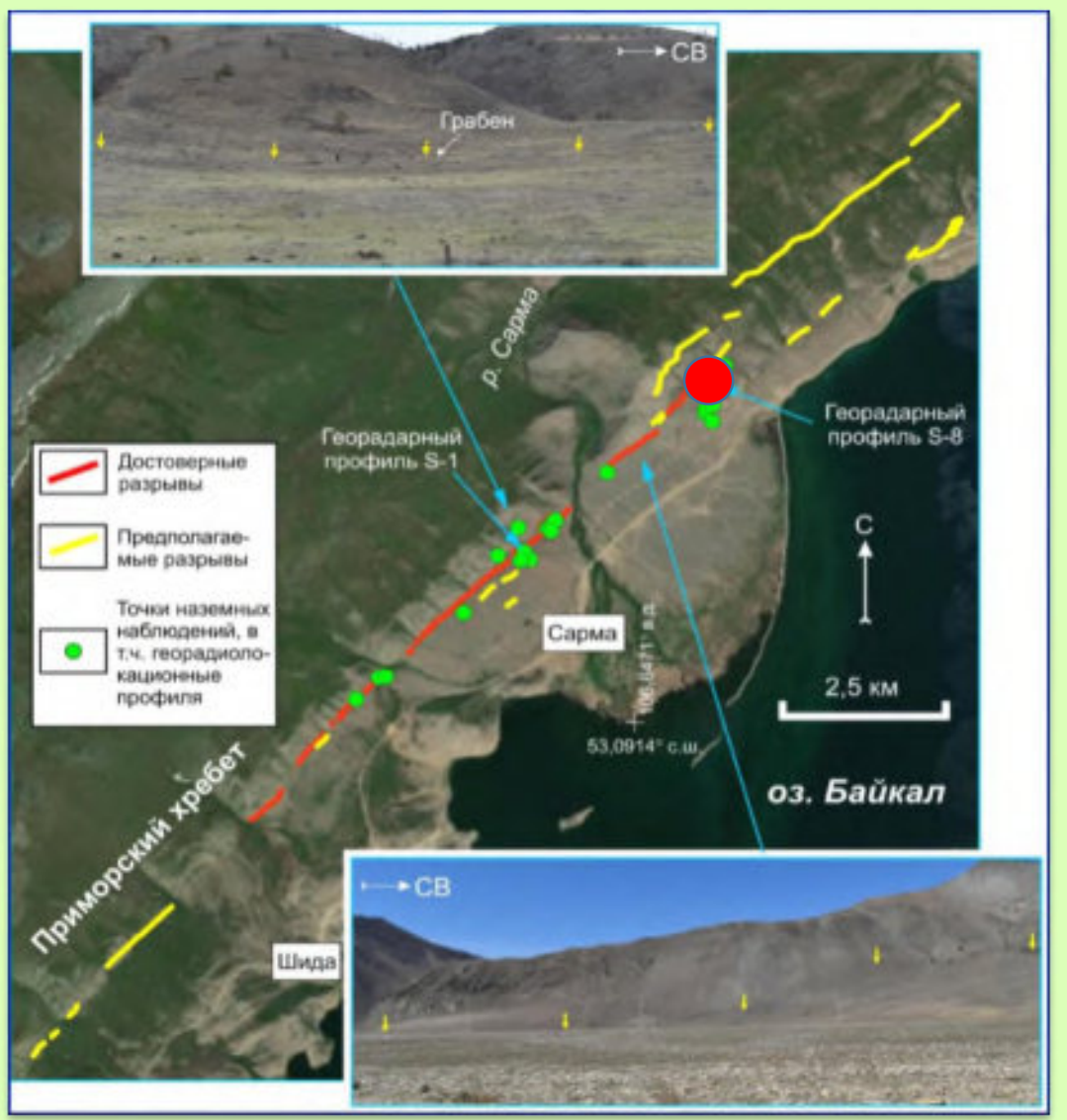
Время образования: не позднее 10100 лет назад; Длина: не менее 23 км; Ширина зоны деформаций6 0,55 – 1,3 км.



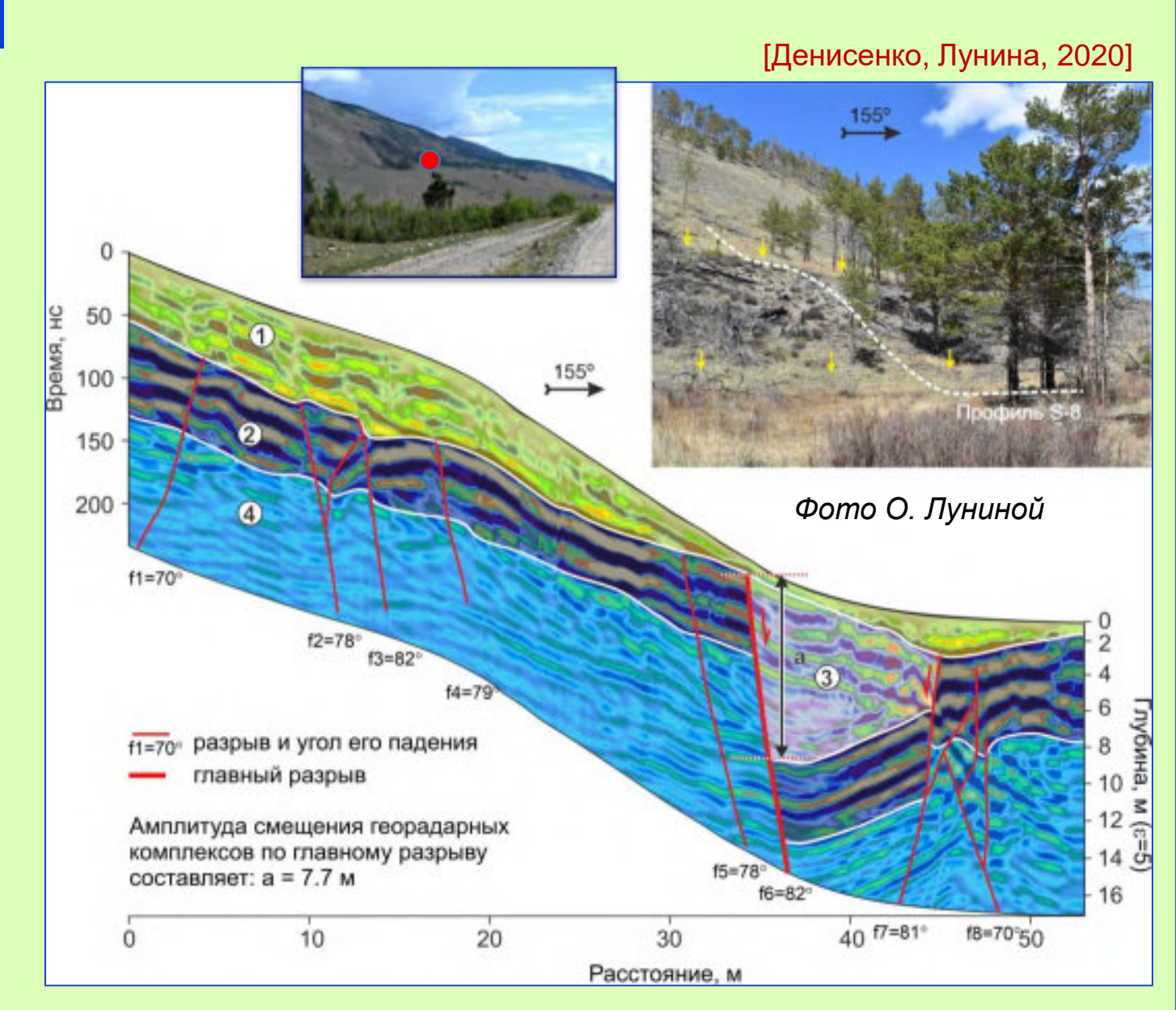




Северный Байкал, Малое море Приморский разлом Сарминская зона сейсмогенных разрывов



Максимальные вертикальное смещение : 7,7 м; Возможная магнитуда в зоне разлома: M_s =7,4 и M_w =7,2.



[Лунина, отчет 2020]

Северный Байкал, Малое море Курыканская стена у р. Сарма

Вал слева от р. Сарма, возможно связанный с деятельностью курыкан, обитаемых в Западном Прибайкалье в VI–IX веках нашей эры [Тишин, 2019]



Сарминские ворота

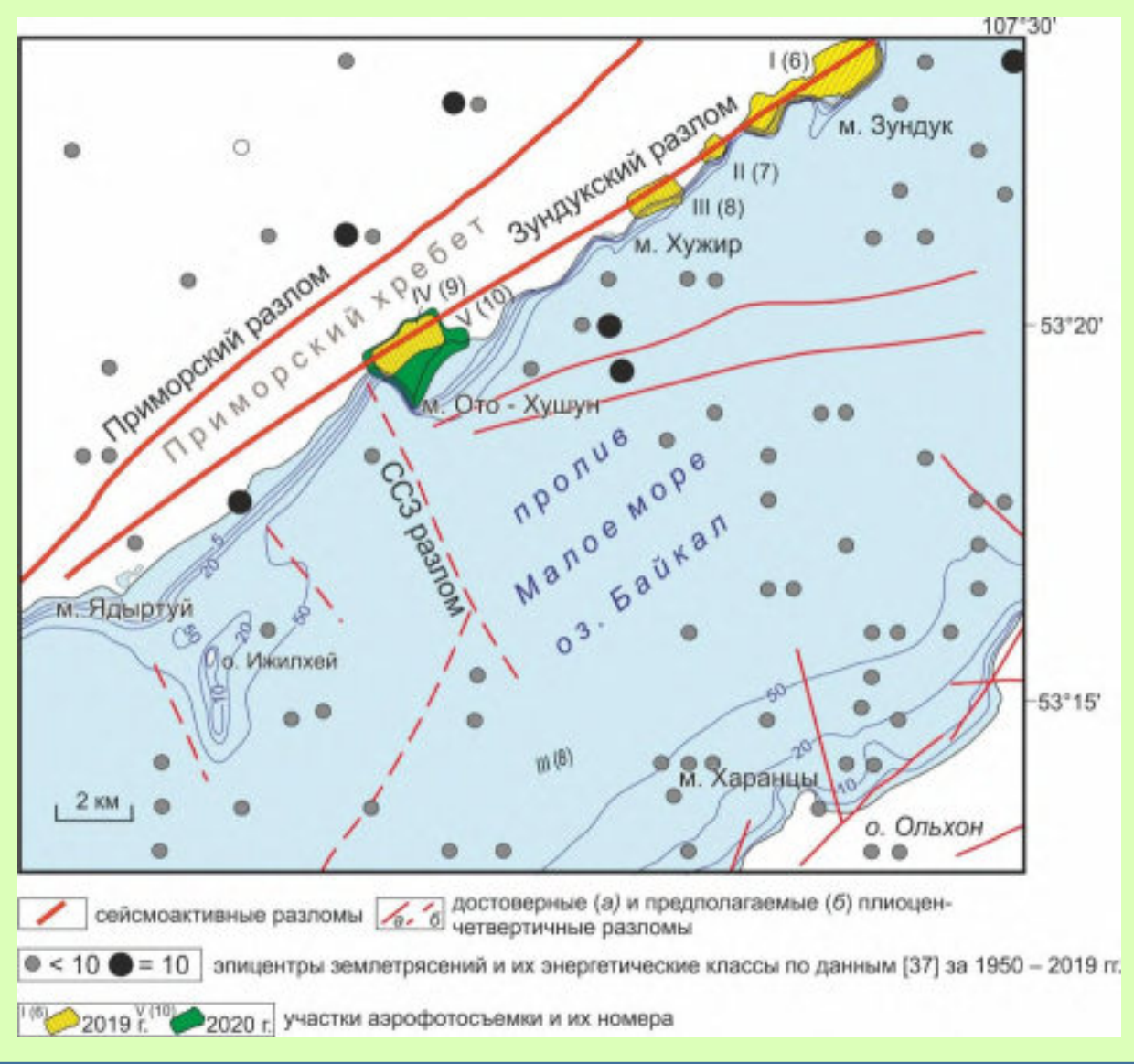


Фото О. Луниной





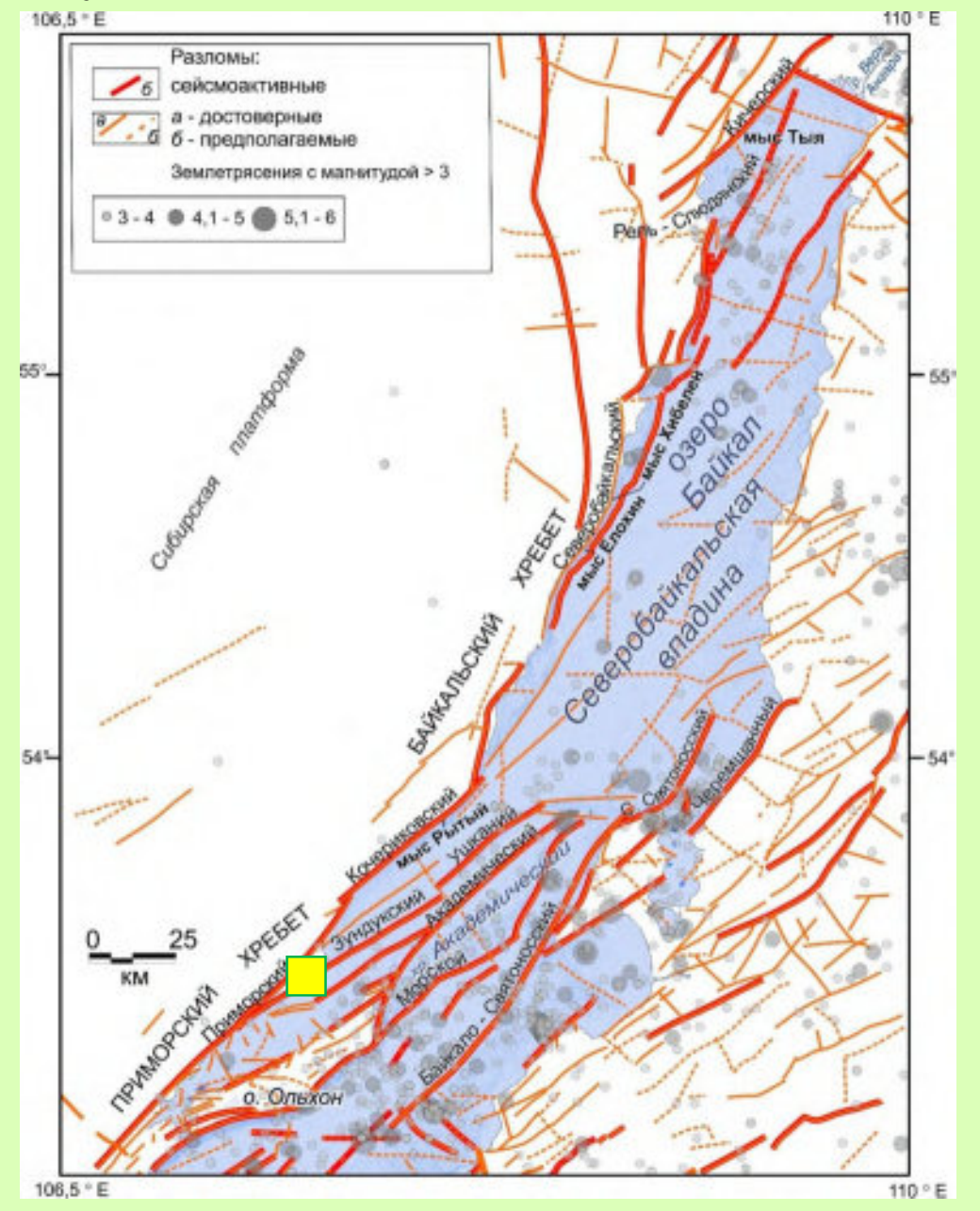
Северный Байкал, Малое море Зундукский разлом, Отто-Хушун-Зундукская зона сейсмогенных разрывов



Разломы Северного Байкала

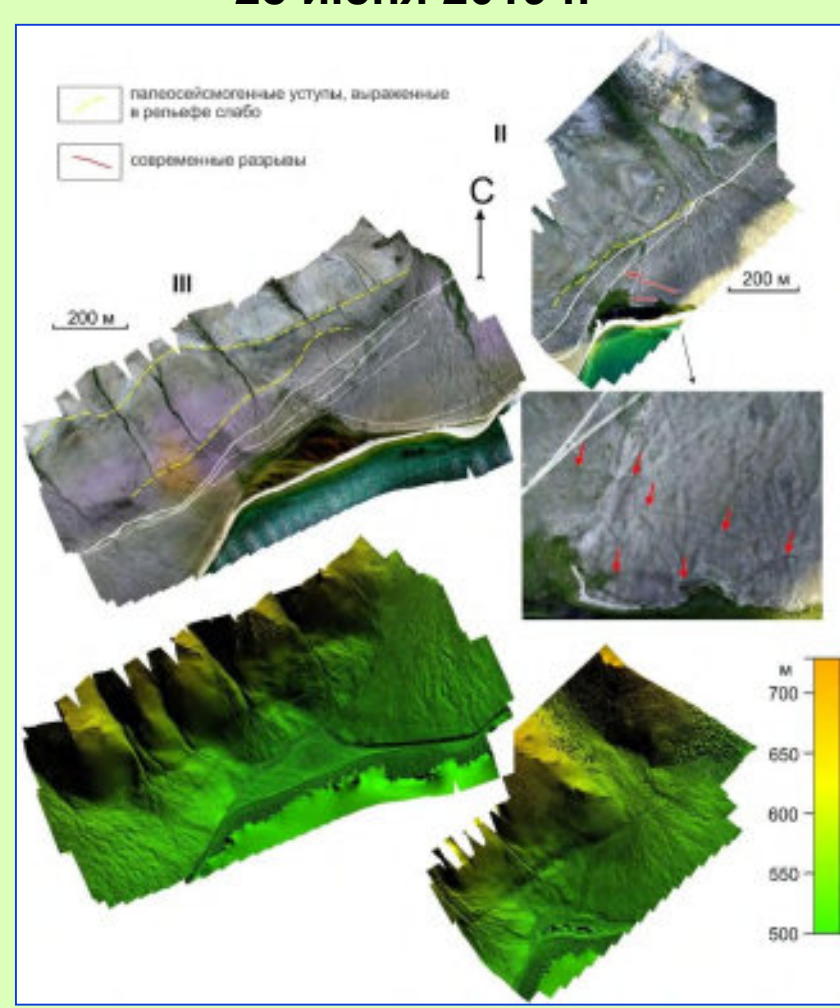
9.6.

[Лунина, Гладков, 2022]

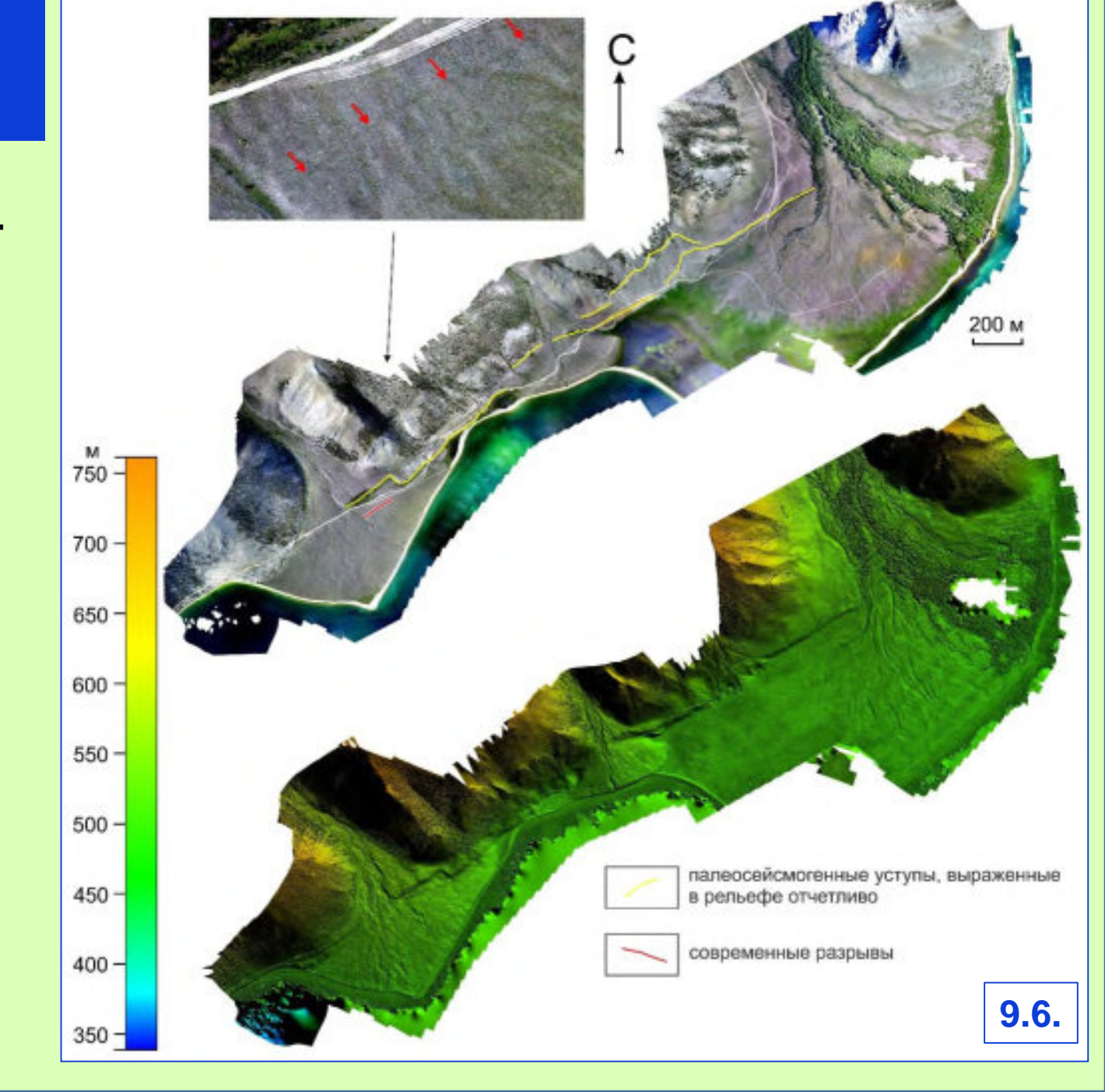


Северный Байкал, Малое море Зундукский разлом, Отто-Хушун-Зундукская зона сейсмогенных разрывов

Ортофотопланы и цифровые модели местности по данным аэрофотосъемки 26–28 июня 2019 г.



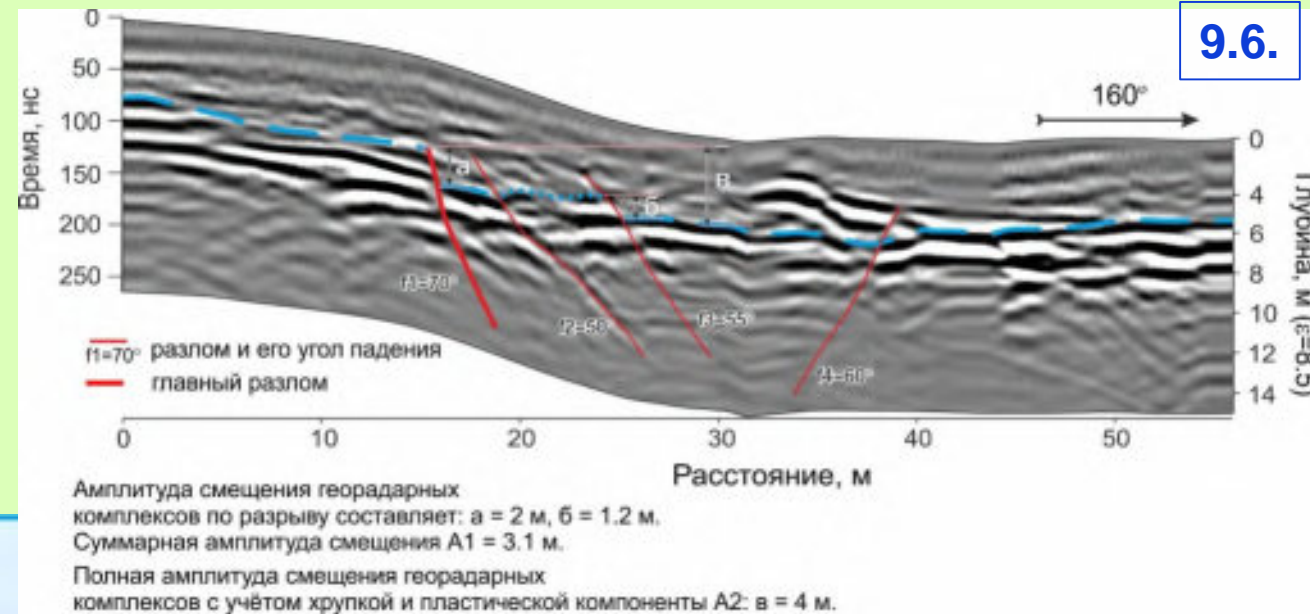
[Лунина и др., 2021



Выраженность разлома в рельефе и вблизи поверхности по георадиолокационным данным (долина р. Зундук, правый борт)

[Денисенко, Лунина, 2021]





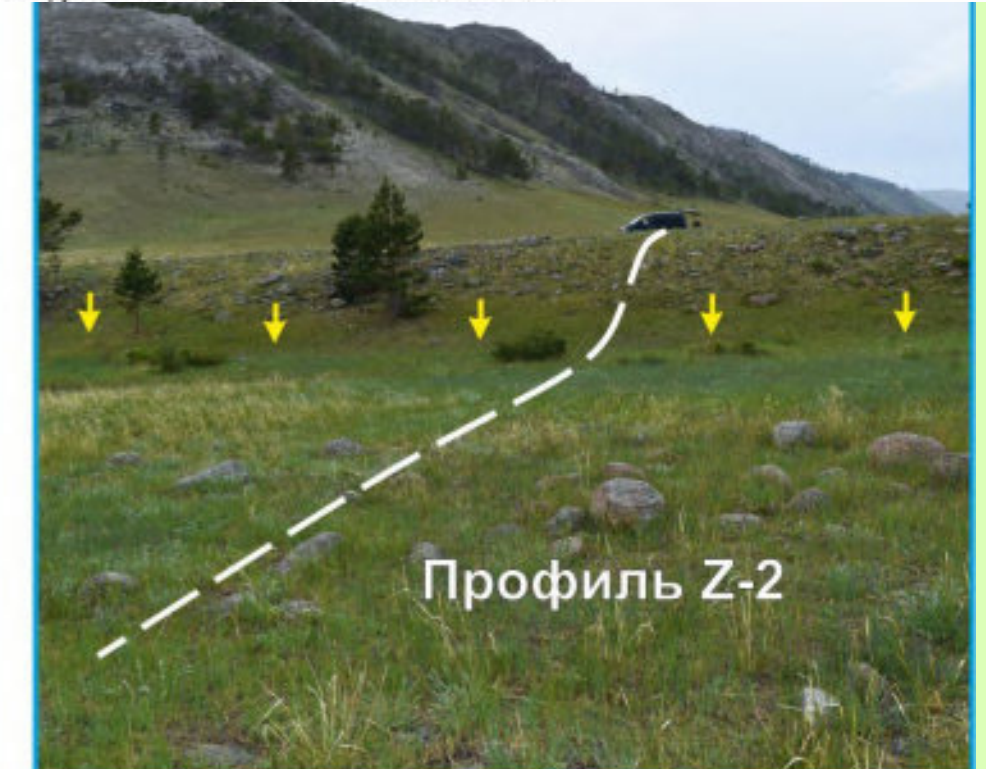


Фото О. Луниной

Северный Байкал, Малое море Зундукский разлом, мыс Ото-Хушун

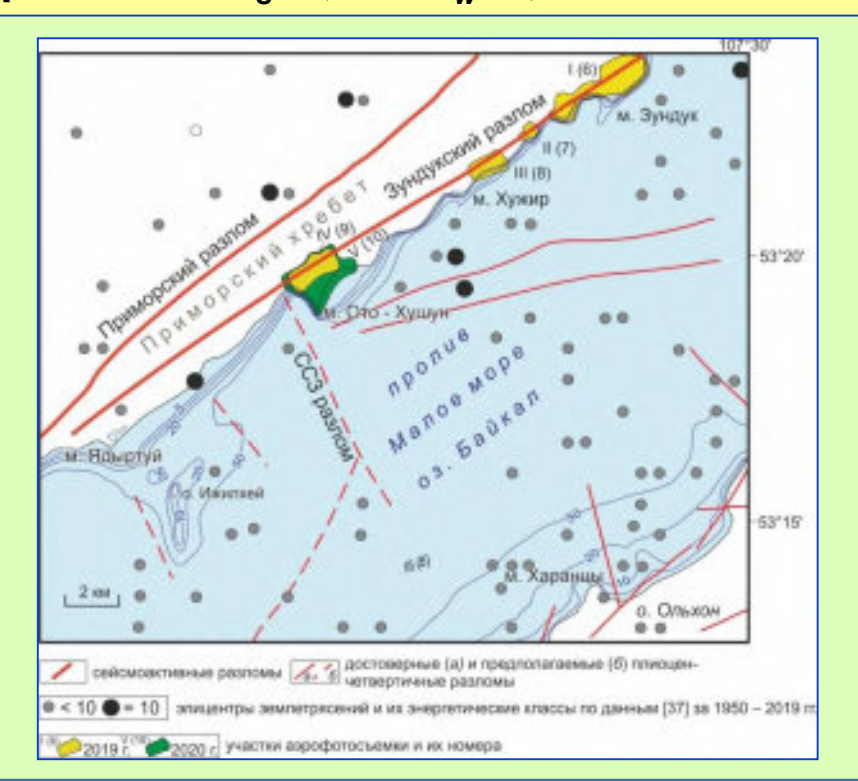
Ортофотоплан по данным аэрофотосъемки 18 сентября 2020 г.

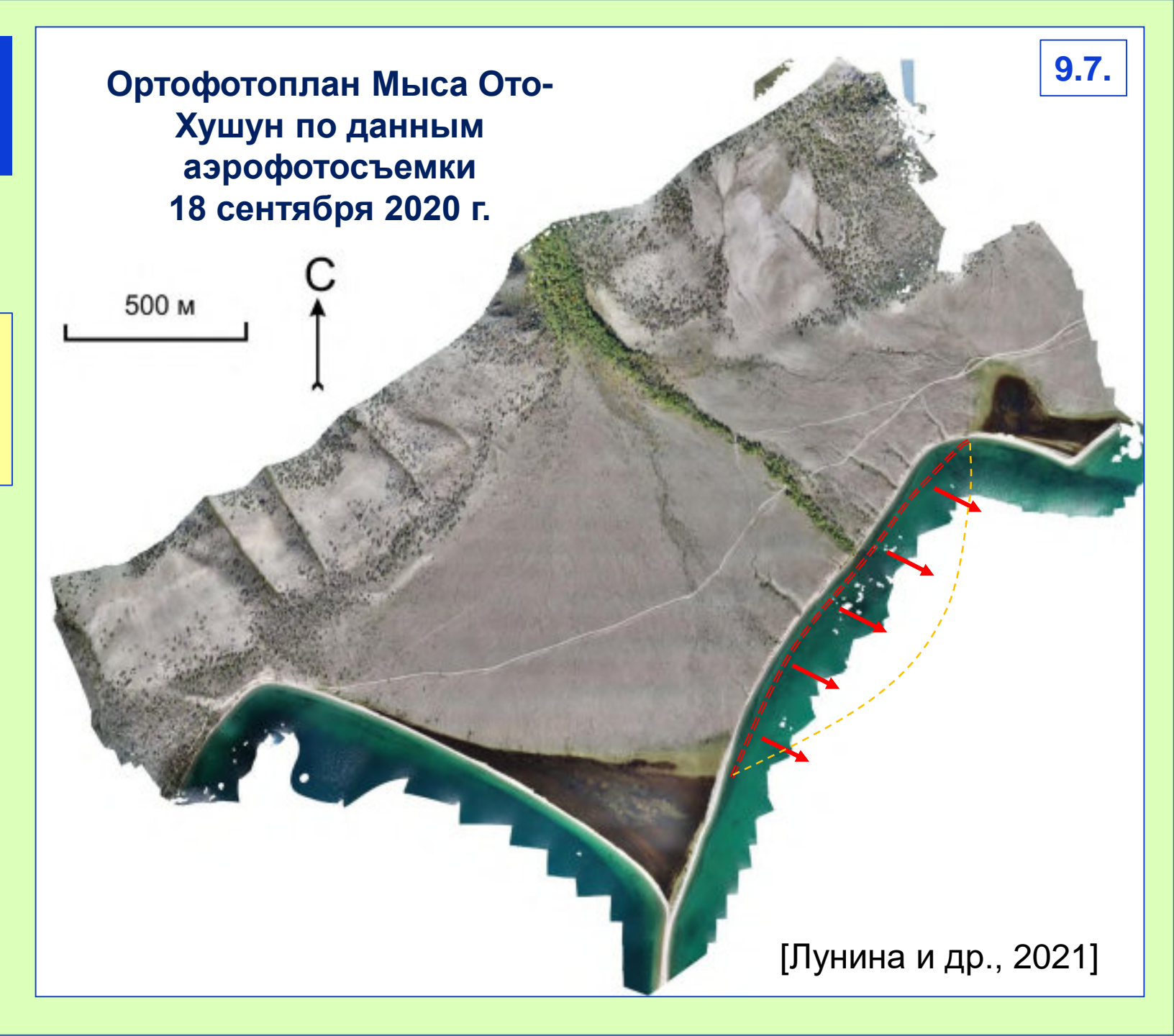
Максимальные вертикальное

смещение: 8,4 м;

Возможная магнитуда в зоне

разлома: M_s =7,5 и M_w =7,3.

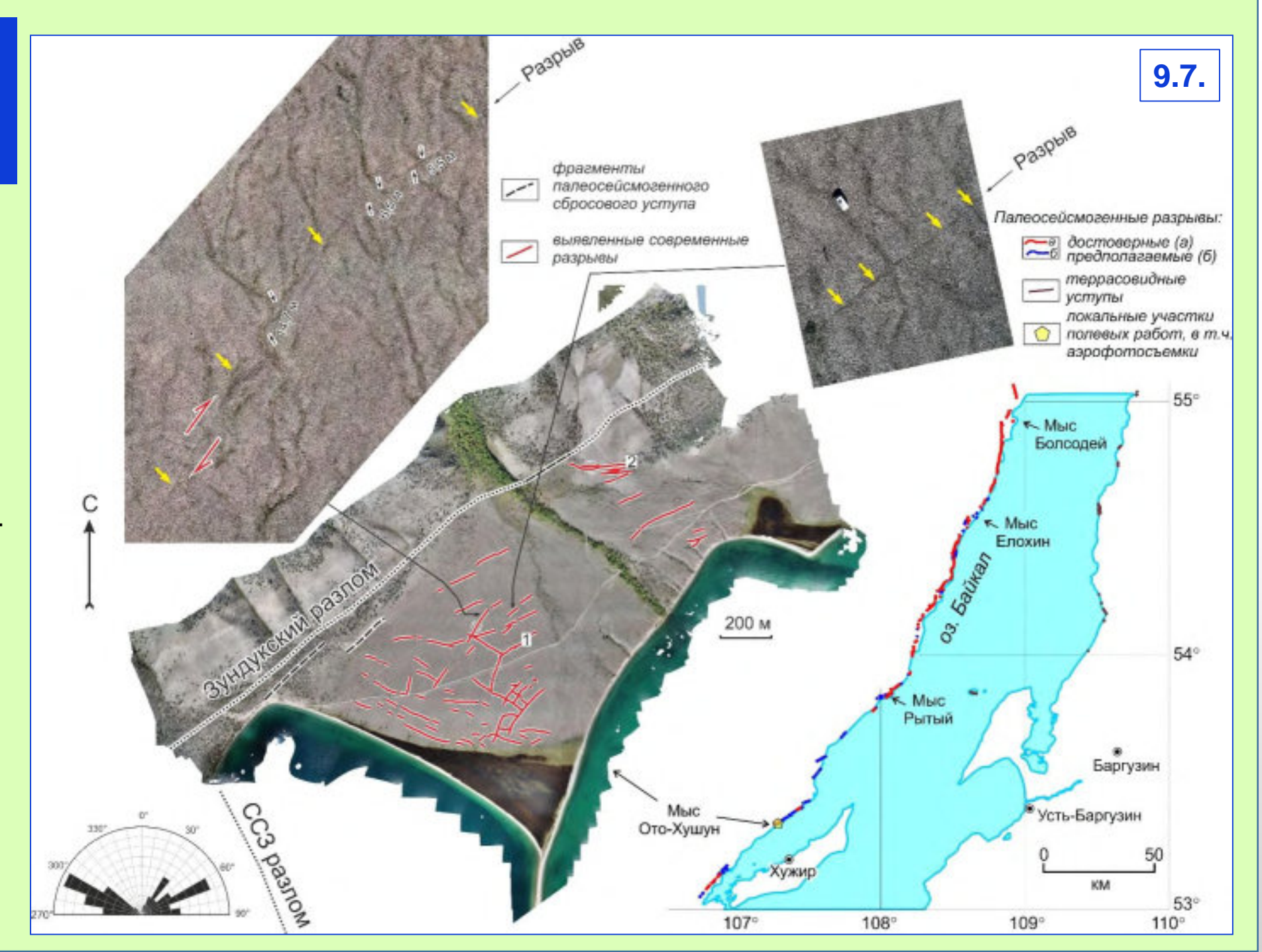




Северный Байкал, Малое море Зундукский разлом, мыс Ото-Хушун

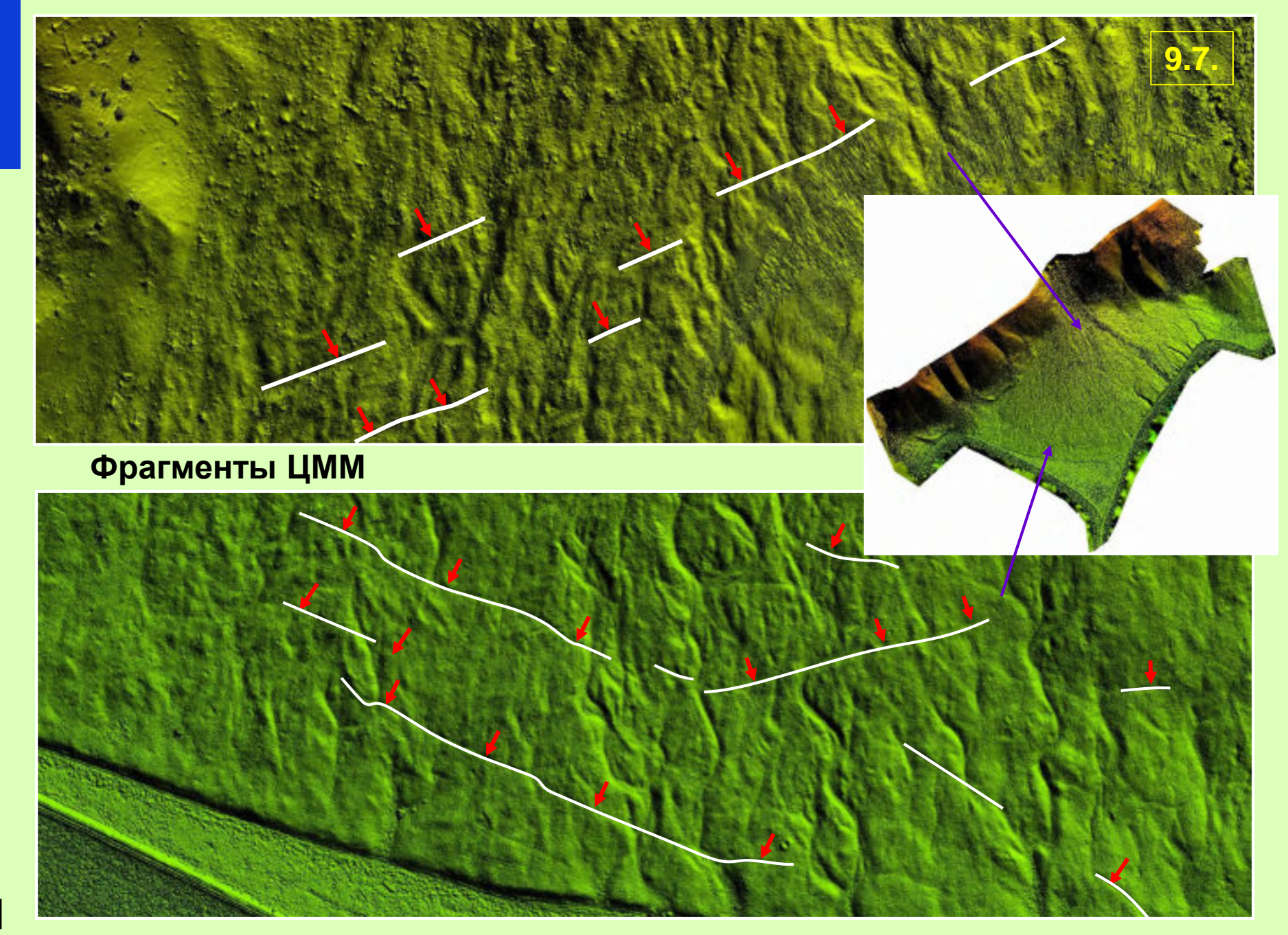
Ортофотоплан мыса Ото-Хушун и его увеличенные фрагменты с положением современных разрывов

В левом нижнем углу розадиаграмма простирания современных разрывов



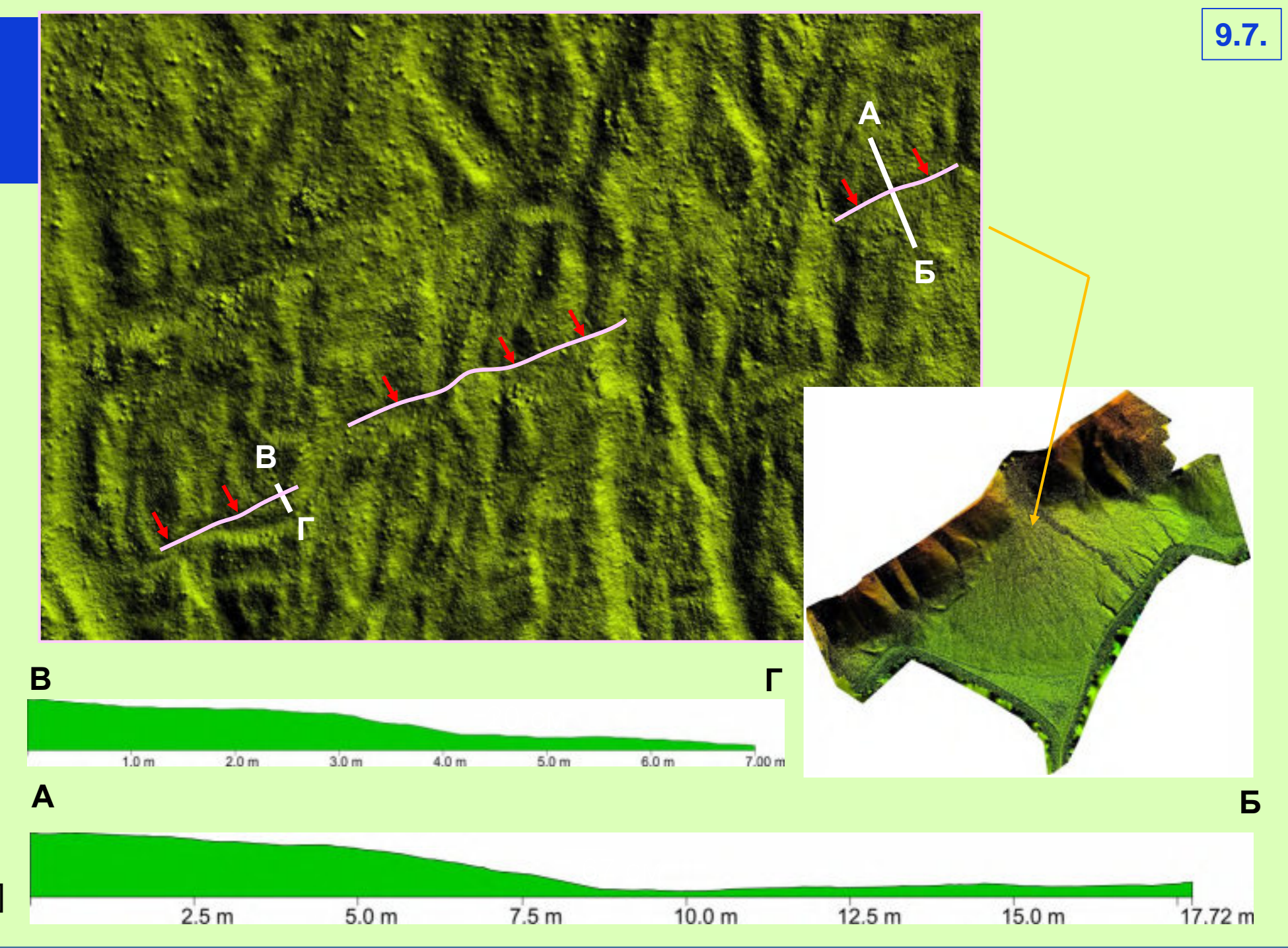
[Лунина и др., 2021]

Северный Байкал, Малое море Зундукский разлом, мыс Ото-Хушун



Северный Байкал, Малое море Зундукский разлом, мыс Ото-Хушун

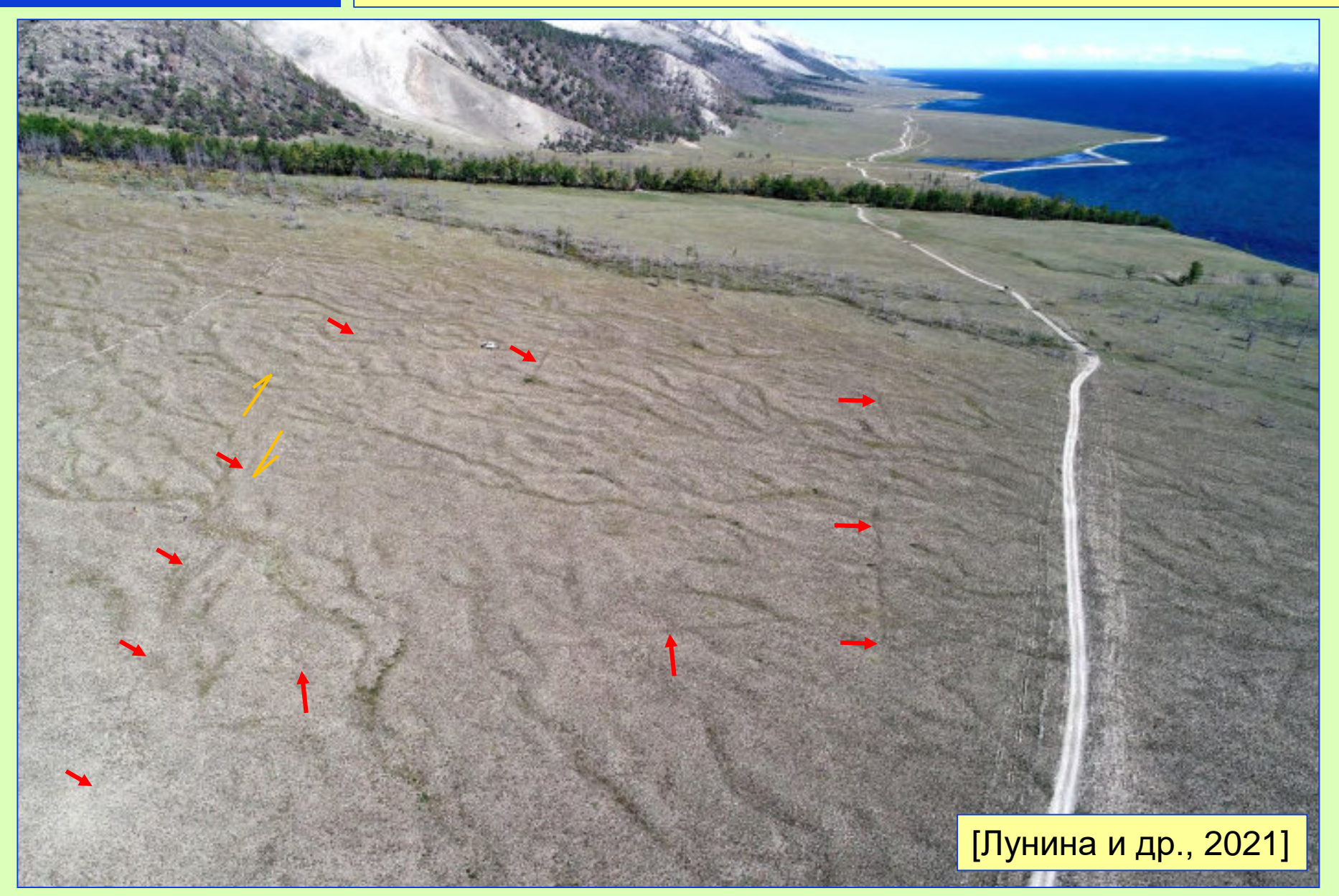
Фрагмент ЦММ и гипсометрические профиля через разрывы



[Лунина и др., 2021]

Северный Байкал, Малое море Зундукский разлом

Аэрофотоснимок мыса Ото-Хушун. Вид на северо-восток (стрелками показаны современные разрывы) [Лунина и др.. 2021]



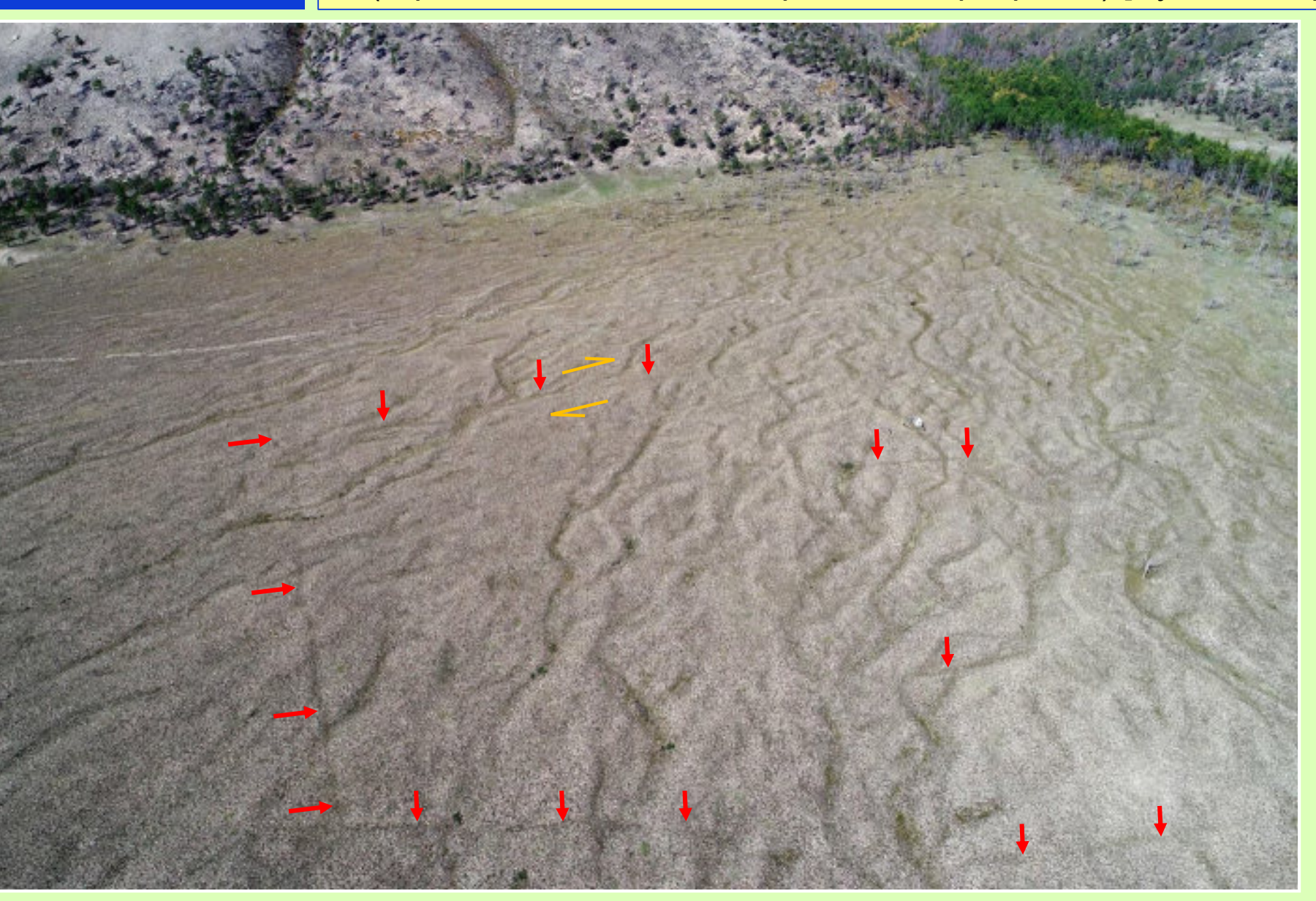
Северный Байкал, Малое море Зундукский разлом

Аэрофотоснимок мыса Ото-Хушун. Вид на северо-восток (стрелками показаны современные разрывы) [Лунина и др.. 2021]

Длина разрывов от 6 до 290 м.

Сдвиговые смещения проток по отдельным разрывам достигают 14,7 м.

Вертикальные смещения (в данном случае высота уступа) - до 0,68 м.



Северный Байкал, Малое море Зундукский разлом, мыс Ото-хушун

Вид на разрыв, определенный по координатам на ортофотоплане и диагностируемый на местности по слабо заметному перепаду высот исходной земной поверхности

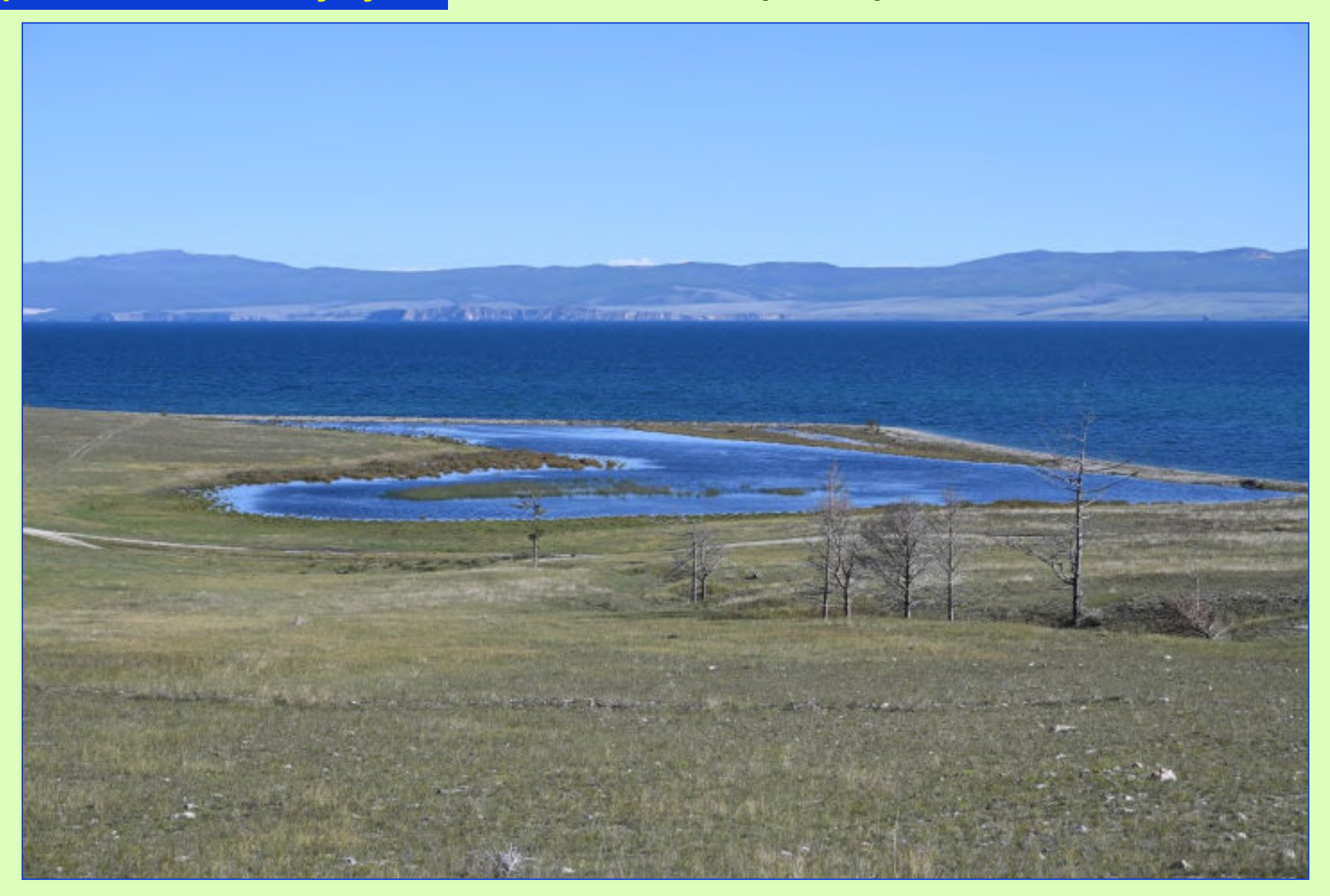


[Лунина и др., 2021]

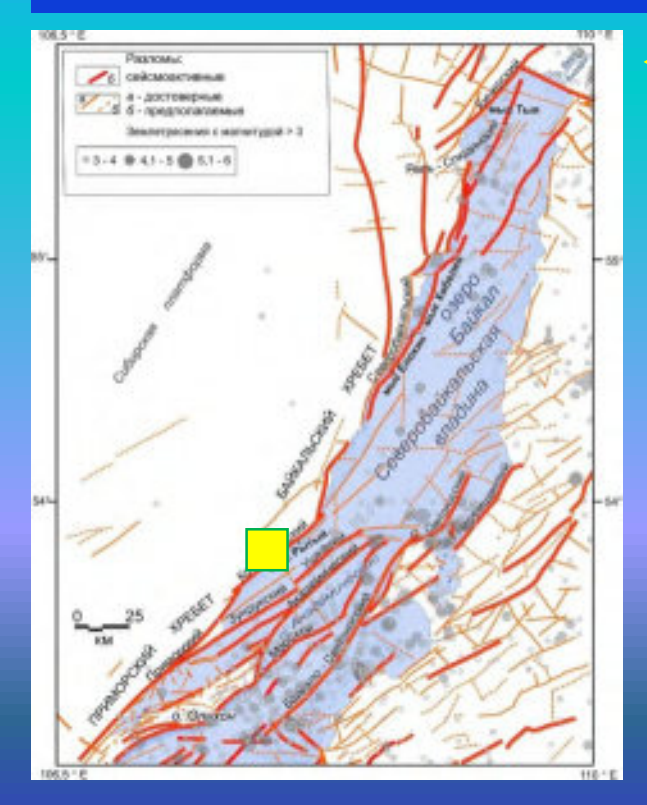
Современные разрывы, обнаруженные в зоне динамического влияния Зундукского разлома, сформировались в результате длительно развивающего крипа, причиной которого, вероятнее всего, являются периодически возникающие вибрации от землетрясений в Байкальском рифте.

Крип — процесс медленного перемещения масс

Озеро «Сердце» (фото Луниной О.В.)



Северный Байкал 10. Тектонические загадки мыса Рытого



Разломы Северного Байкала и положение мыса ——

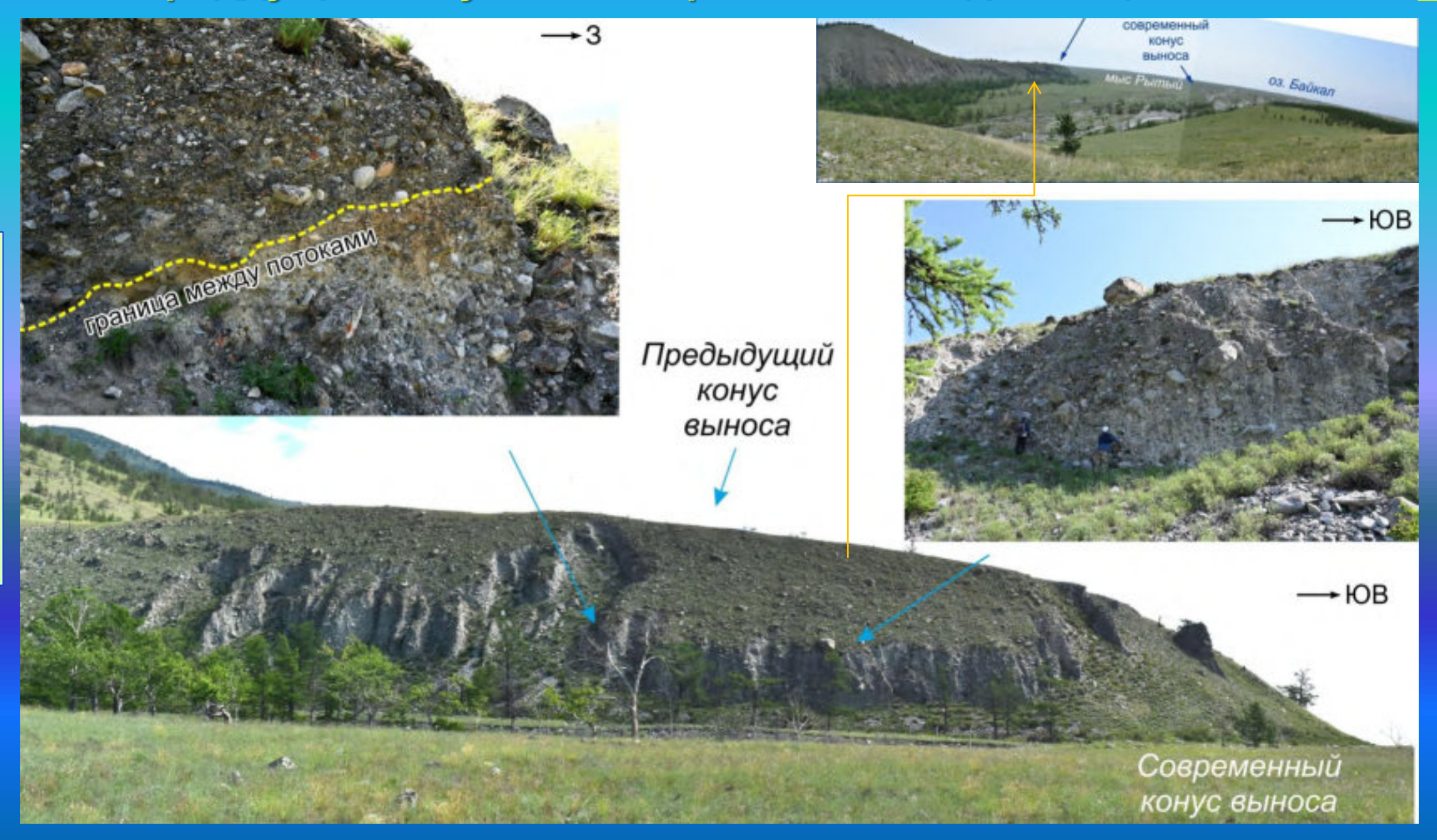
Мыс образован дельтовым, преимущественно грубообломочным, аллювием р. Риты, которая часто меняет свое русло, формируя рытвины. Отсюда мыс получил свое мистическое название. Протяженность в СВ направлении составляет ~4.32 км, в СЗ ~1,68 км.

[по материалам О.В. Луниной, аэрофотосъемка А.А. Гладкова]





Преддущий конус выноса р. Риты и следы мощных селей

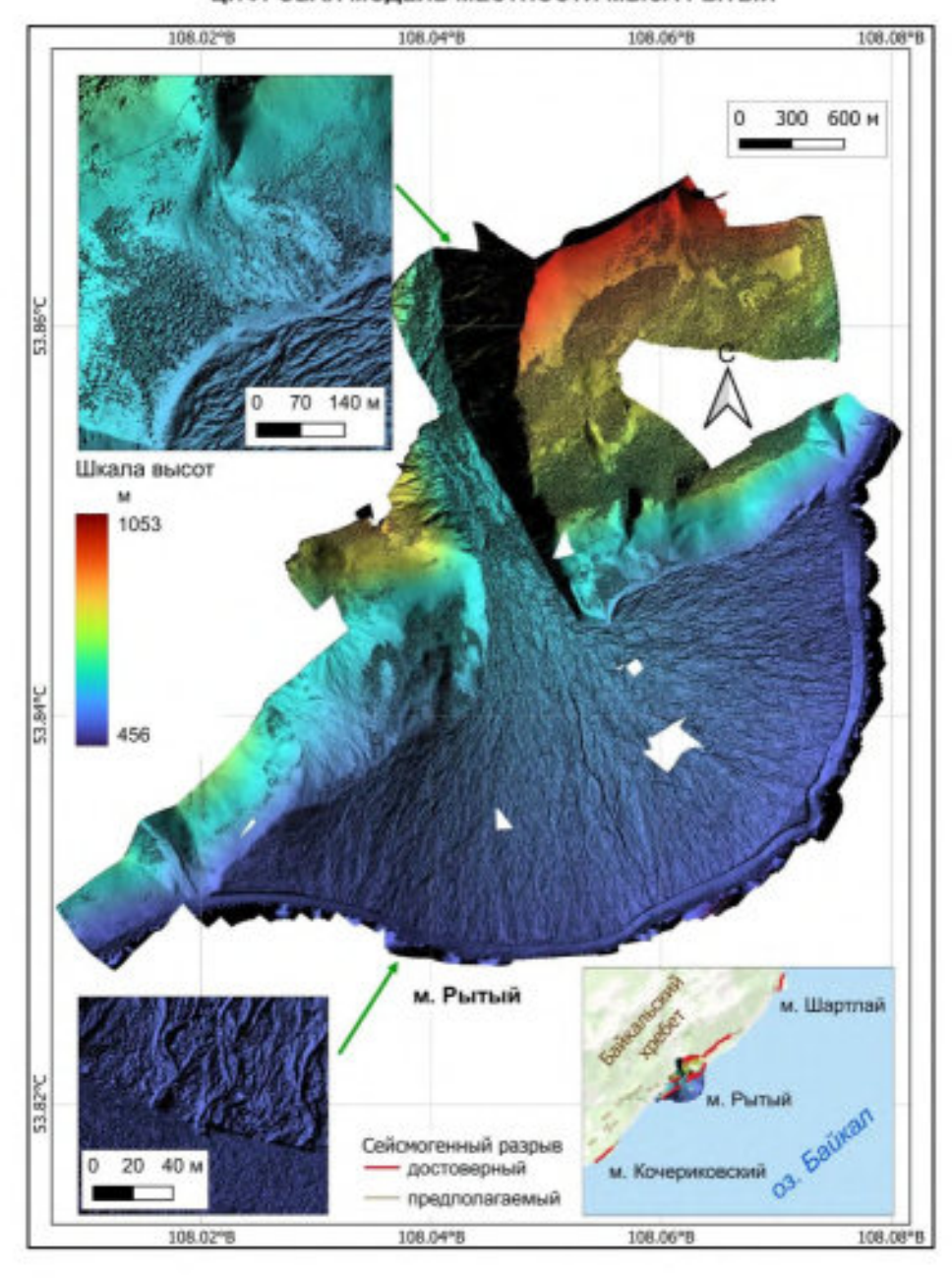


[Лунина, Гладков, 2022; Лунина и др., 2022 (отчет)]

ОРТОФОТОПЛАН МЫСА РЫТЫЙ



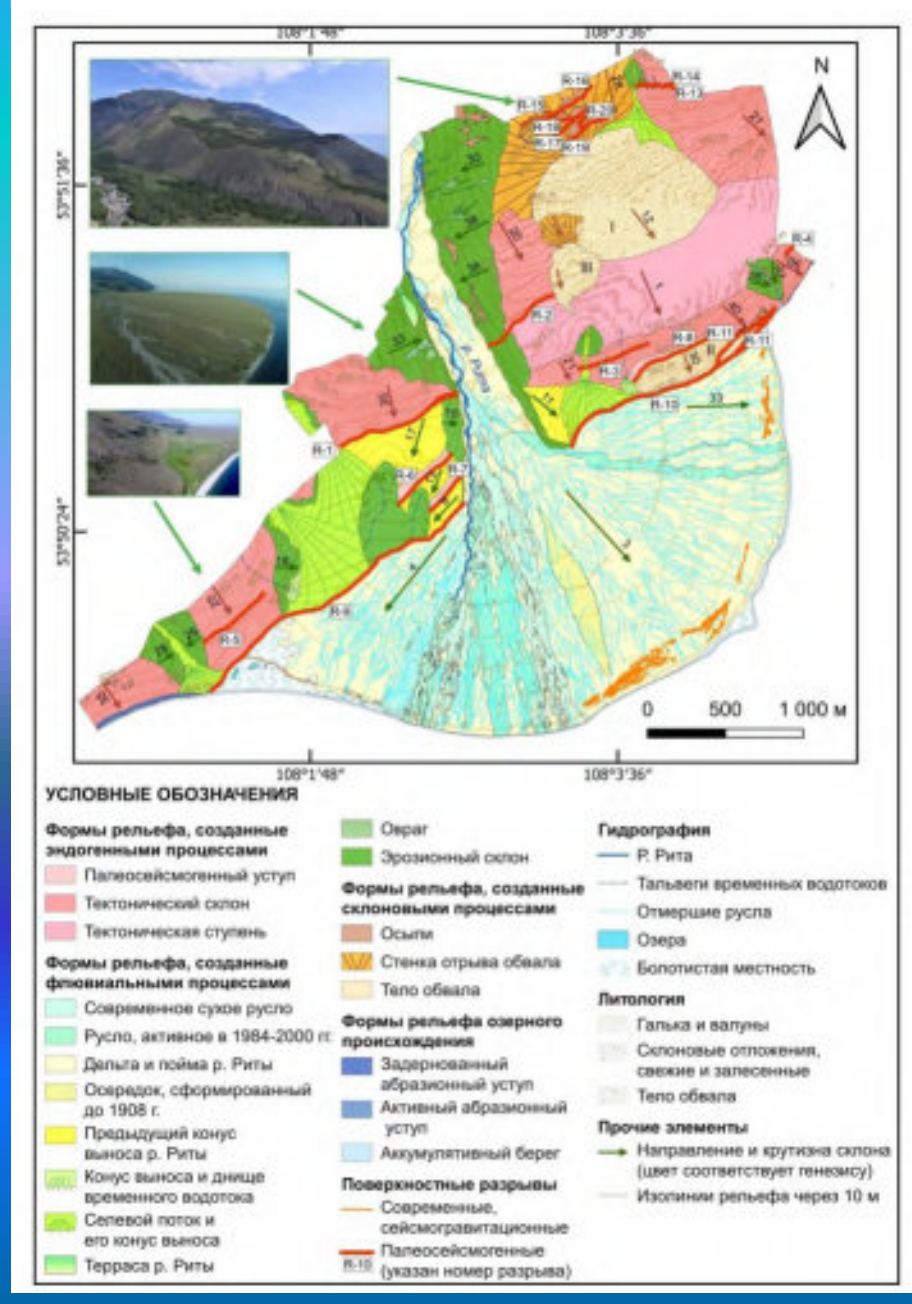
ЦИФРОВАЯ МОДЕЛЬ МЕСТНОСТИ МЫСА РЫТЫЙ

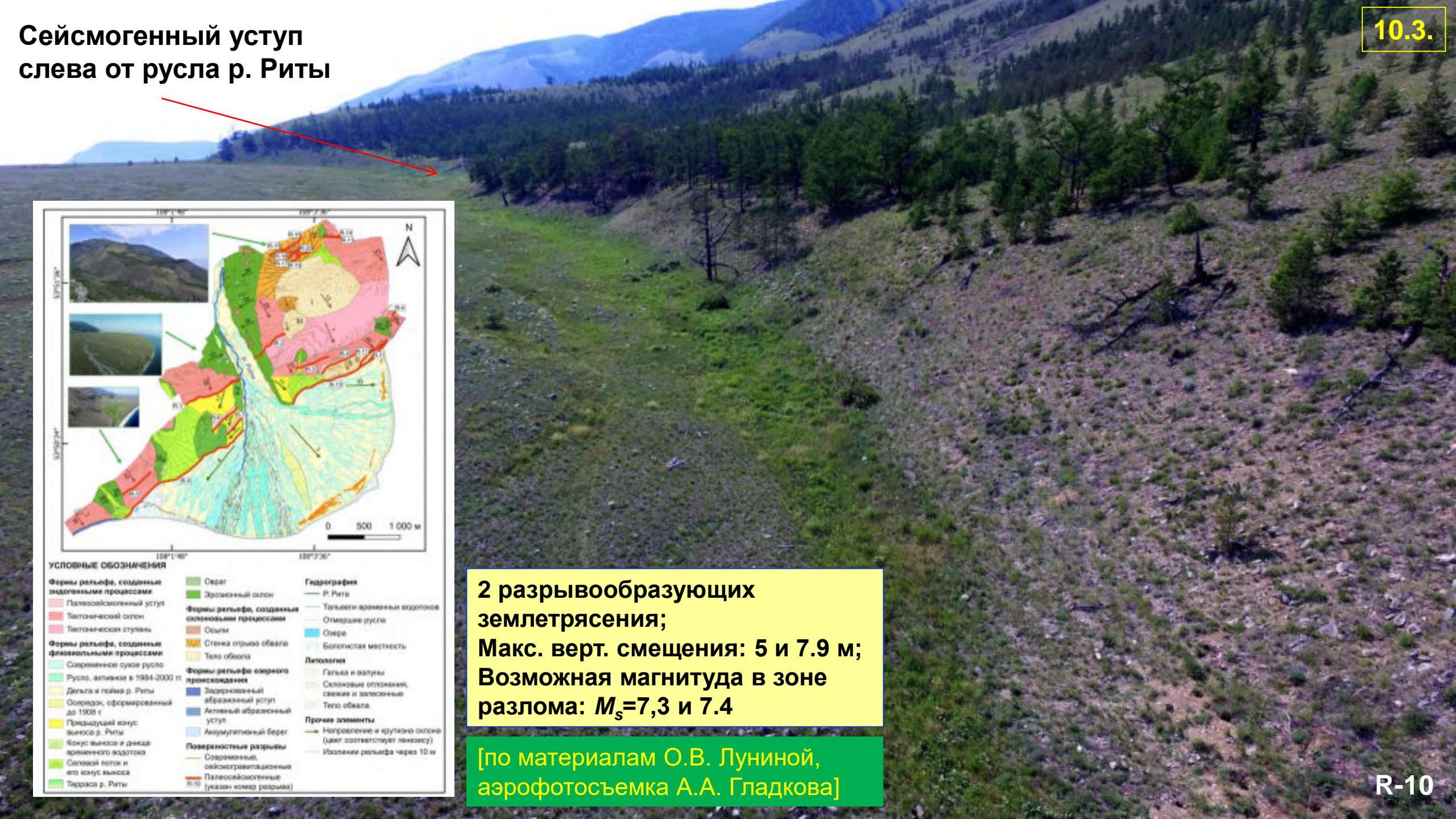


селевые отпожения ююз разных генерации **BCB**

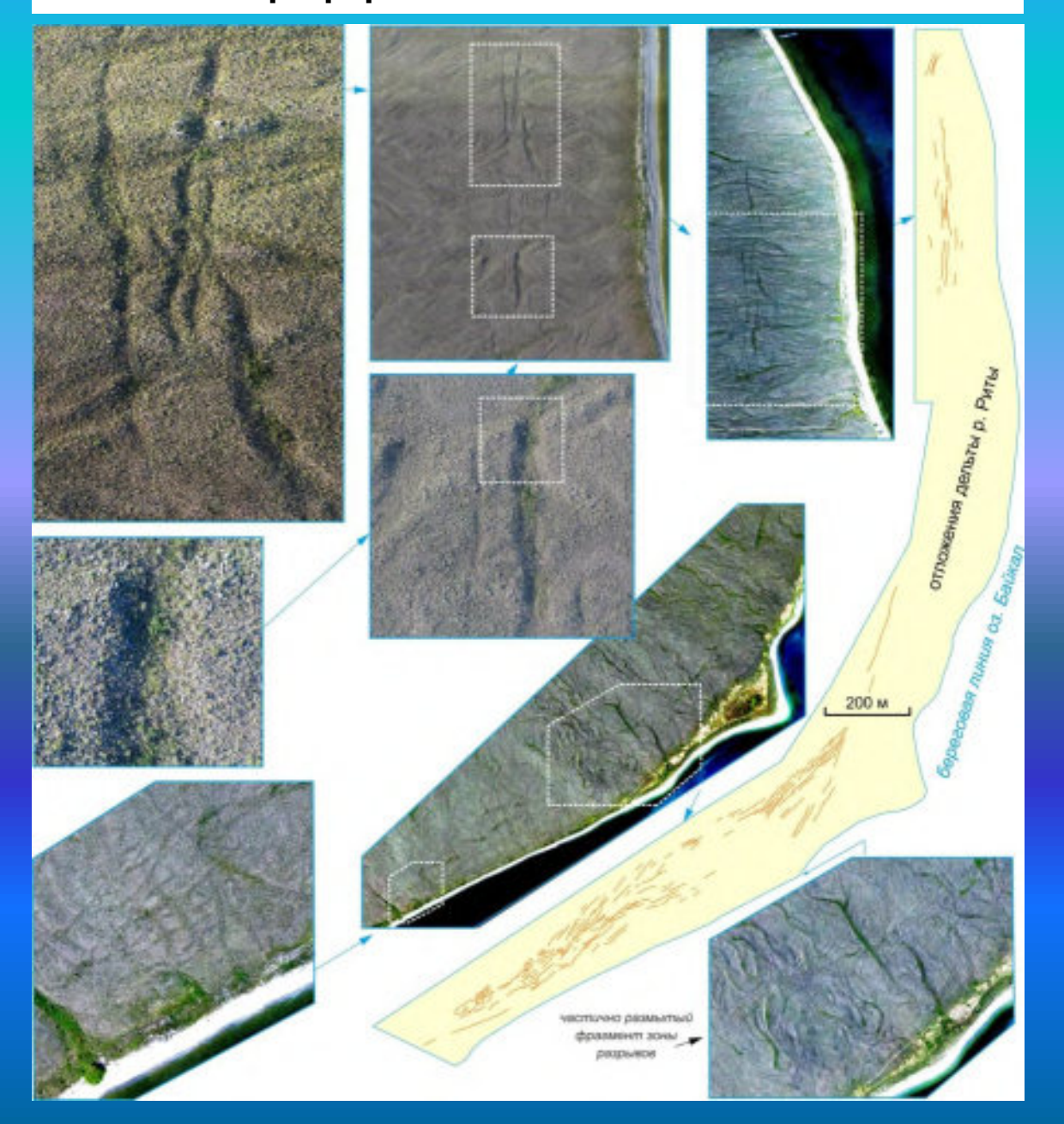


Структурно-геоморфологическая карта мыса Рытого и окрестностей

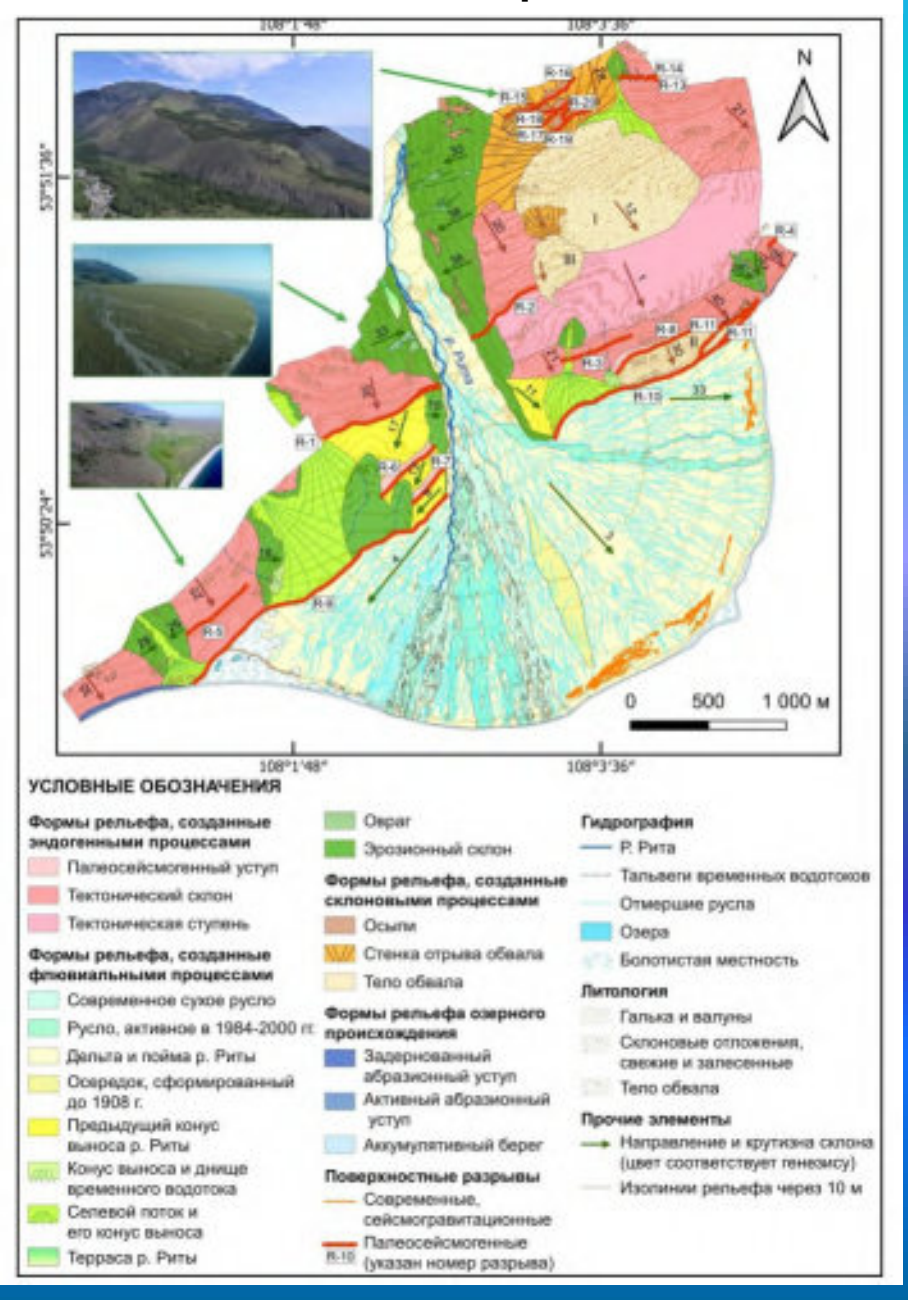




Современные сейсмогравитационные разрывы в периферийной части мыса Рытого



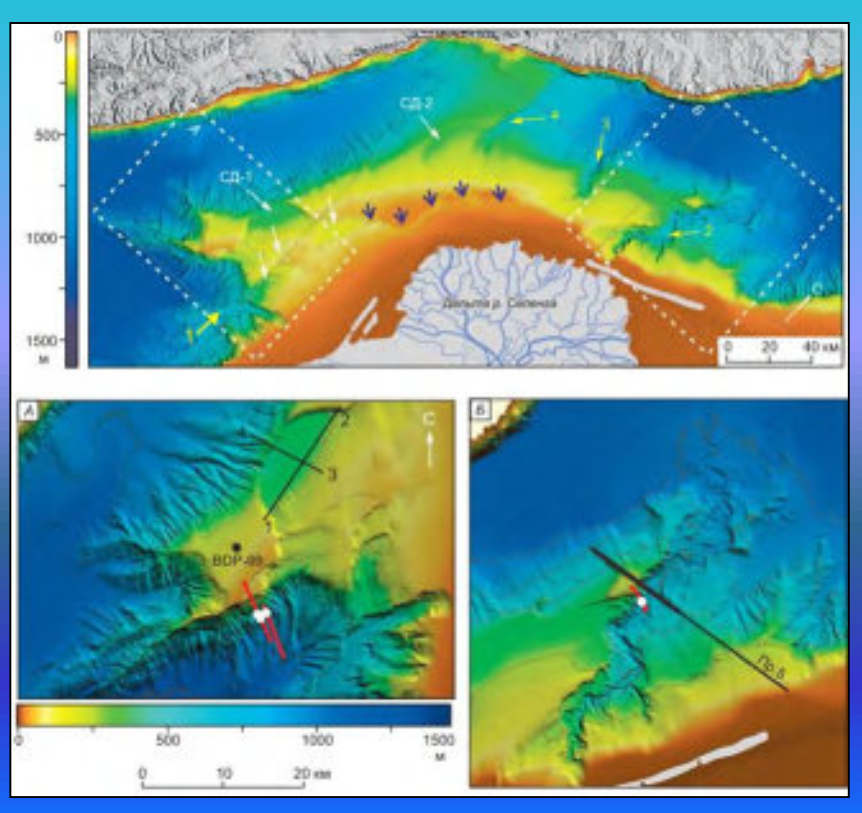
Структурно-геоморфологическая карта мыса Рытого и окрестностей



10.4.

Батиметрическая схема авандельты р.Селенга

[составлена по данным проектов ASTER GDEM, INTAS- 99-1669, многолучевогопрофилирования 2009 г., Хлыстов и др., 2016]



Контурами выделены Посольская банка (A) и Кукуйская грива (Б), стрелками с номерами и названиями — эрозионные формы рельефа. Белые стрелки — концентрические структуры; синие — ров, разделяющий авандельту; желтые — каньоны.

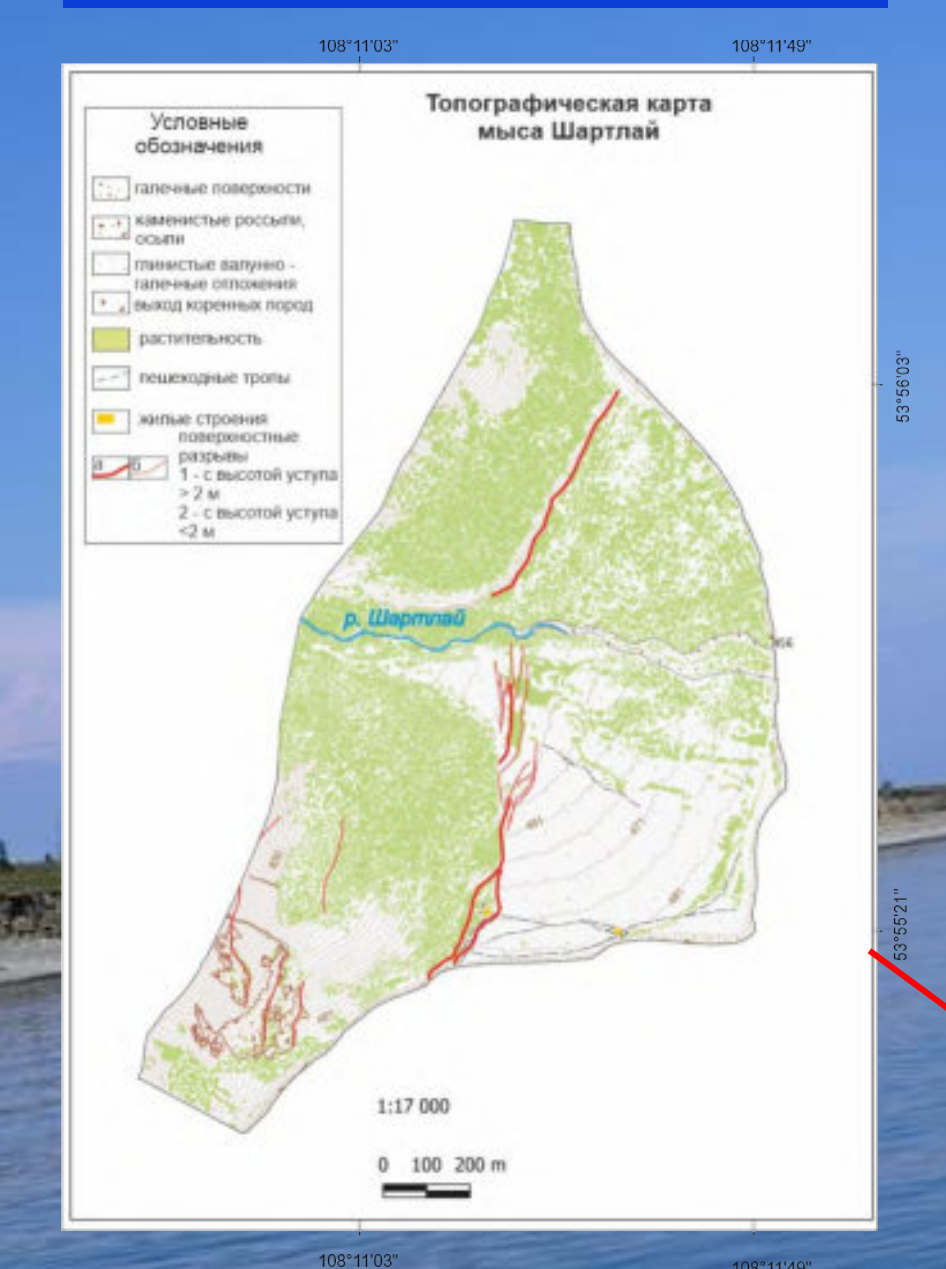
Гравитационные проседания по разрывам, образованным при землетрясении 13.08.1962 г. с М=5.2 в Байкале [Лунина, Гладков, 2022]





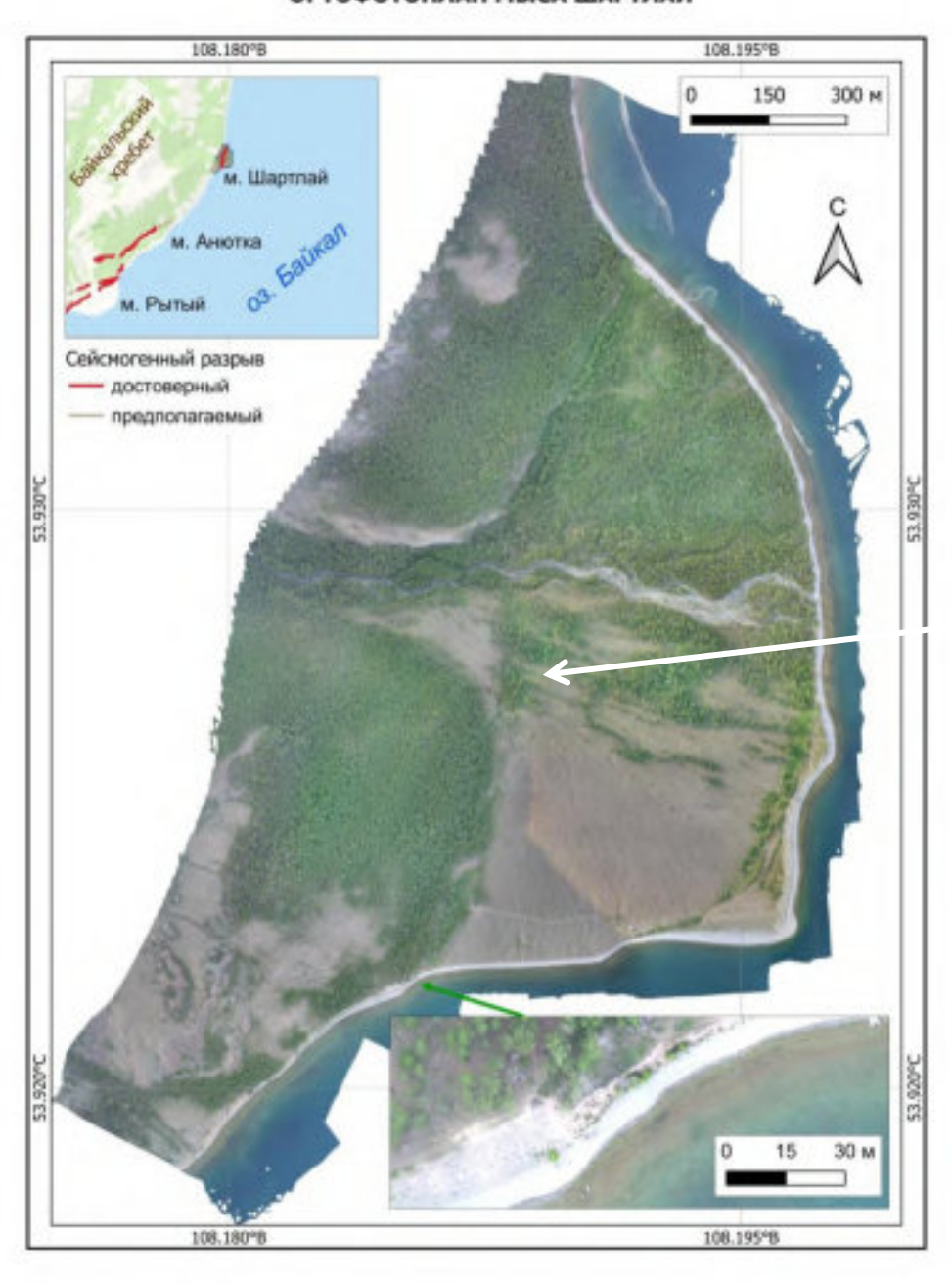


Северный Байкал 11. Разрывы мыса Шартлай





ОРТОФОТОПЛАН МЫСА ШАРТЛАЙ

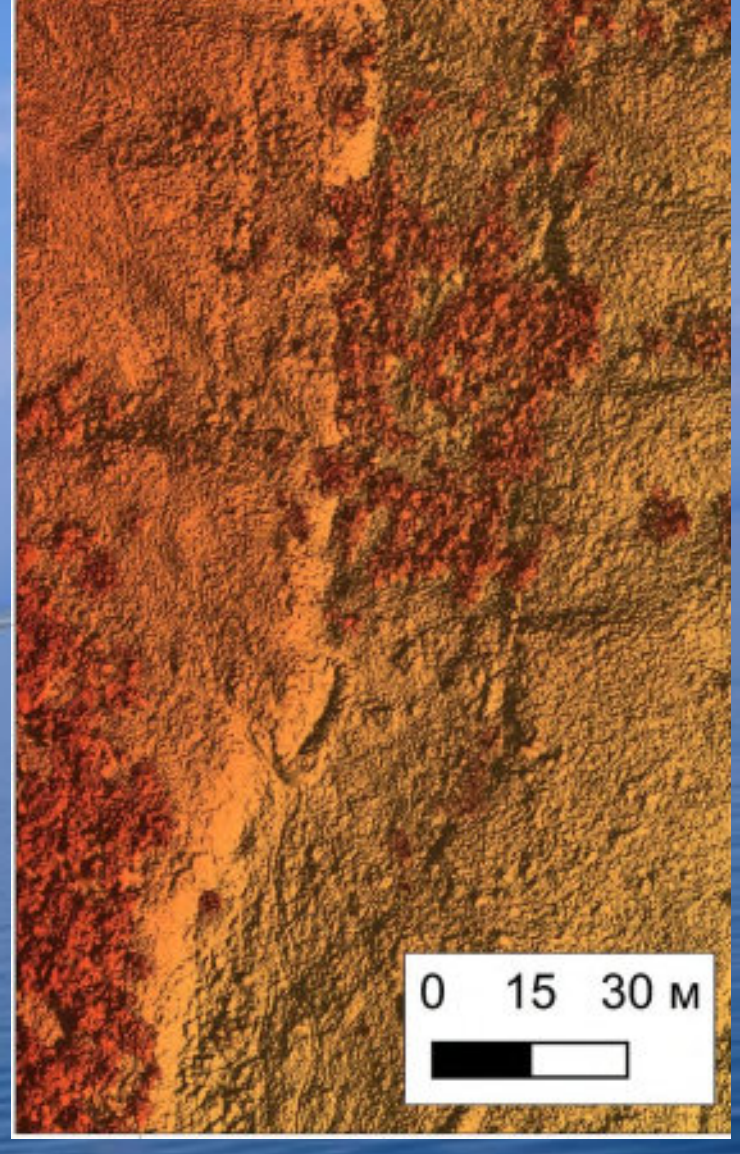




[по материалам О.В. Луниной, аэрофотосъемка А.А. Гладкова]



Северный Байкал Разрывы мыса Шартлай



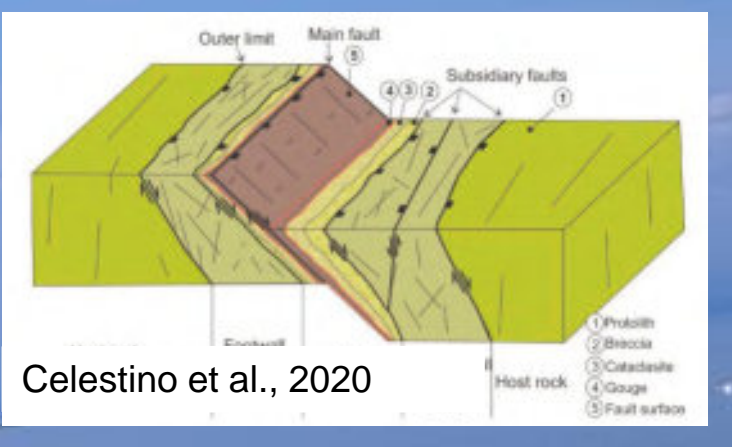


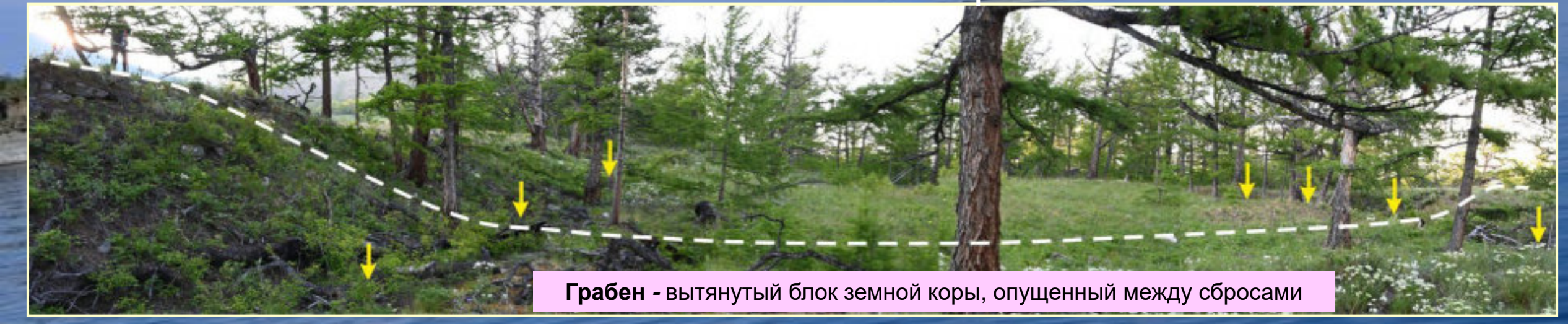




Мыс Шартлай







[по материалам О.В. Луниной,

А.А. Гладкова, И.А. Денисенко]

Мыс Шарталай (юг и прилегающий берег)

2 разрывообразующих землетрясения;

Макс. верт. смещения: 8,36 м;

Возможная магнитуда в зоне разлома: M_s =7,5; M_w =7,3-7,4;

Последние смещения: в период 2145-2463 лет назад;

Одновременно вскрылось не менее 82 км.

Делювий - отложения, возникающие в результате накопления смытых со склонов дождевыми и талыми снеговыми водами рыхлых продуктов выветривания.

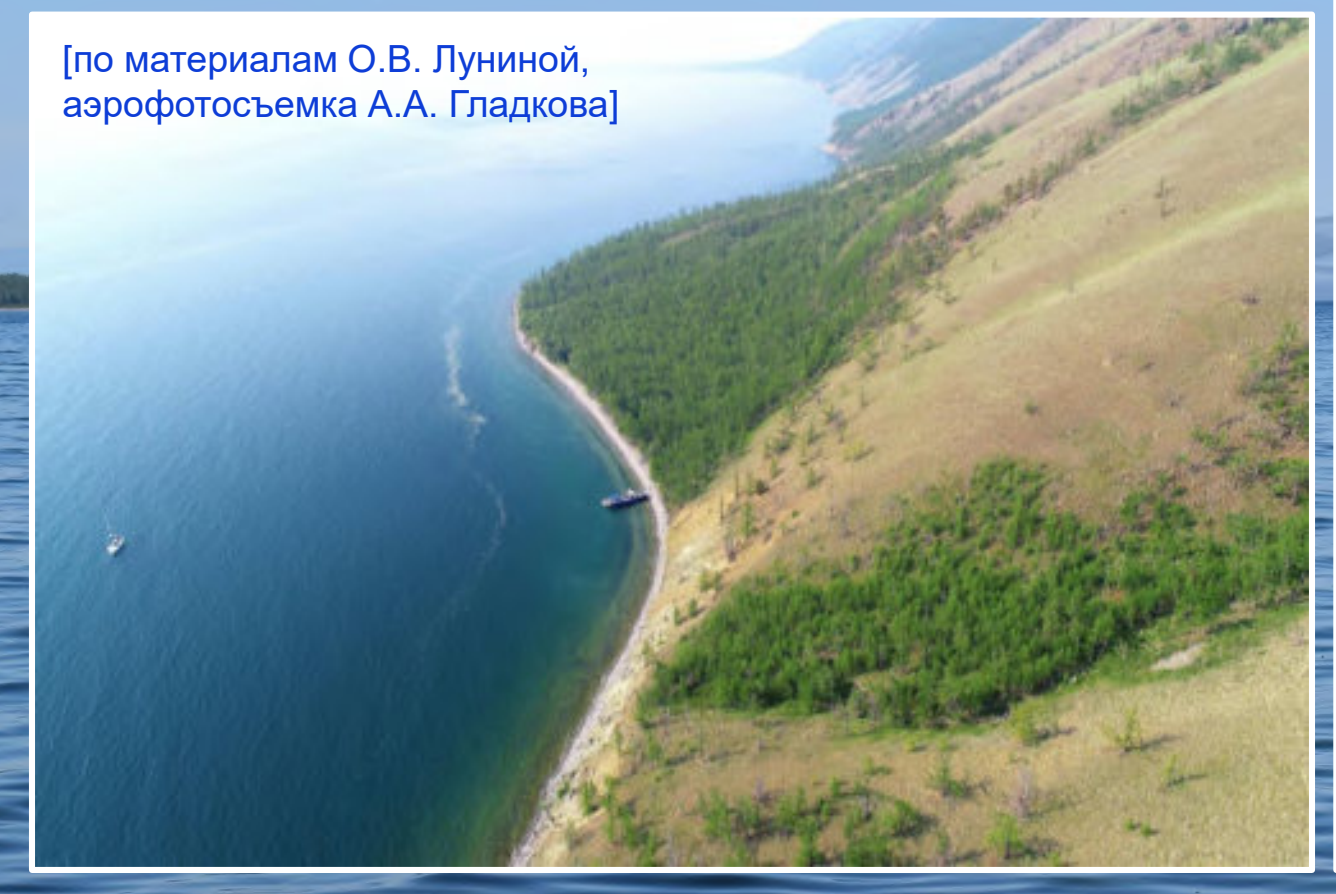
Сбросшенная байкальская терраса высотой 11,57 м, перекрытая делювием

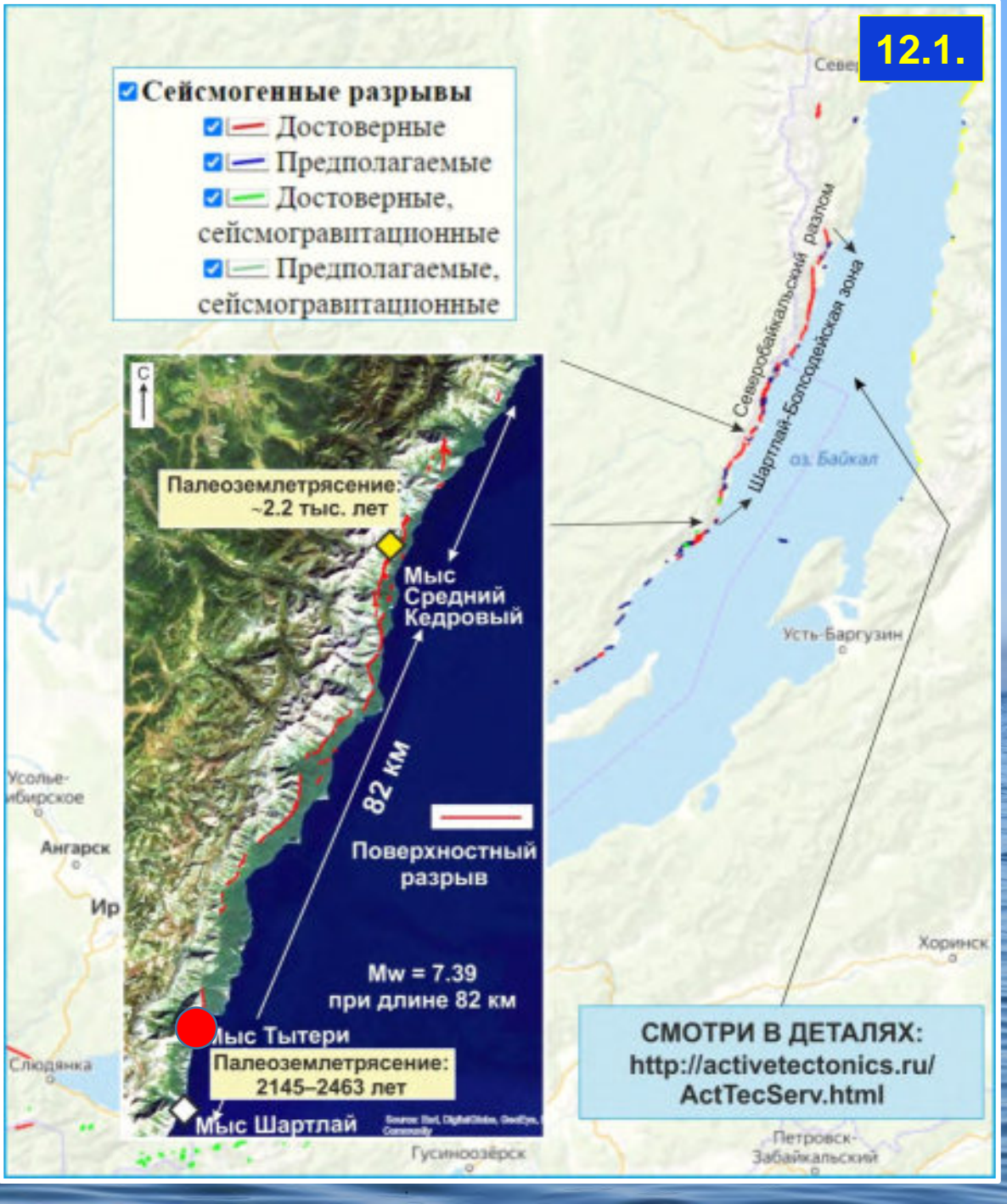


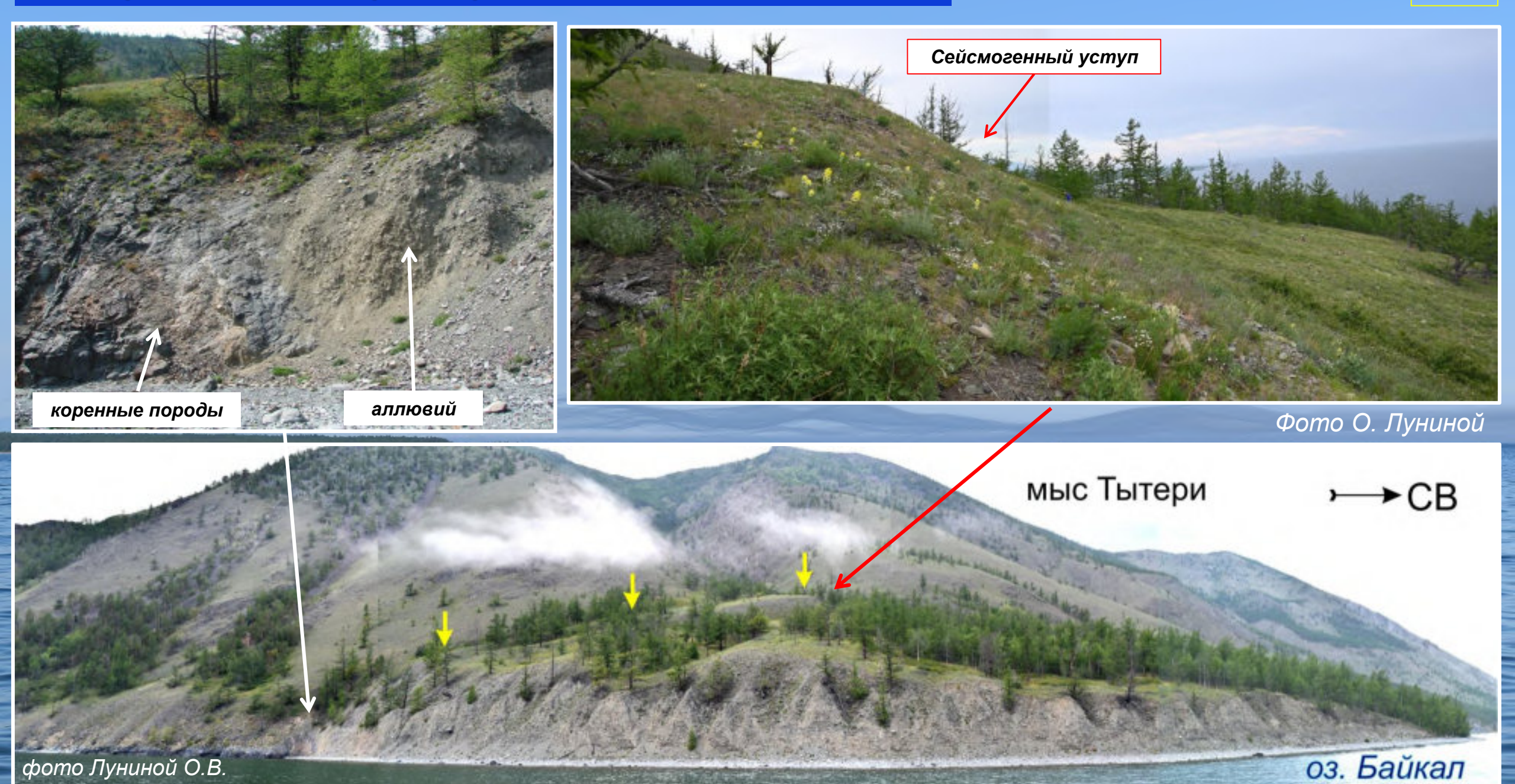


Северный Байкал 12. Разрывы мыса Тытери и окрестностей

Мыс образован в результате выноса аллювия и пролювия, который в настоящее время может поступать с гор только в сильно влажные периоды. Протяженность в ССВ направлении составляет ~656 м, в 3С3 ~290 м.

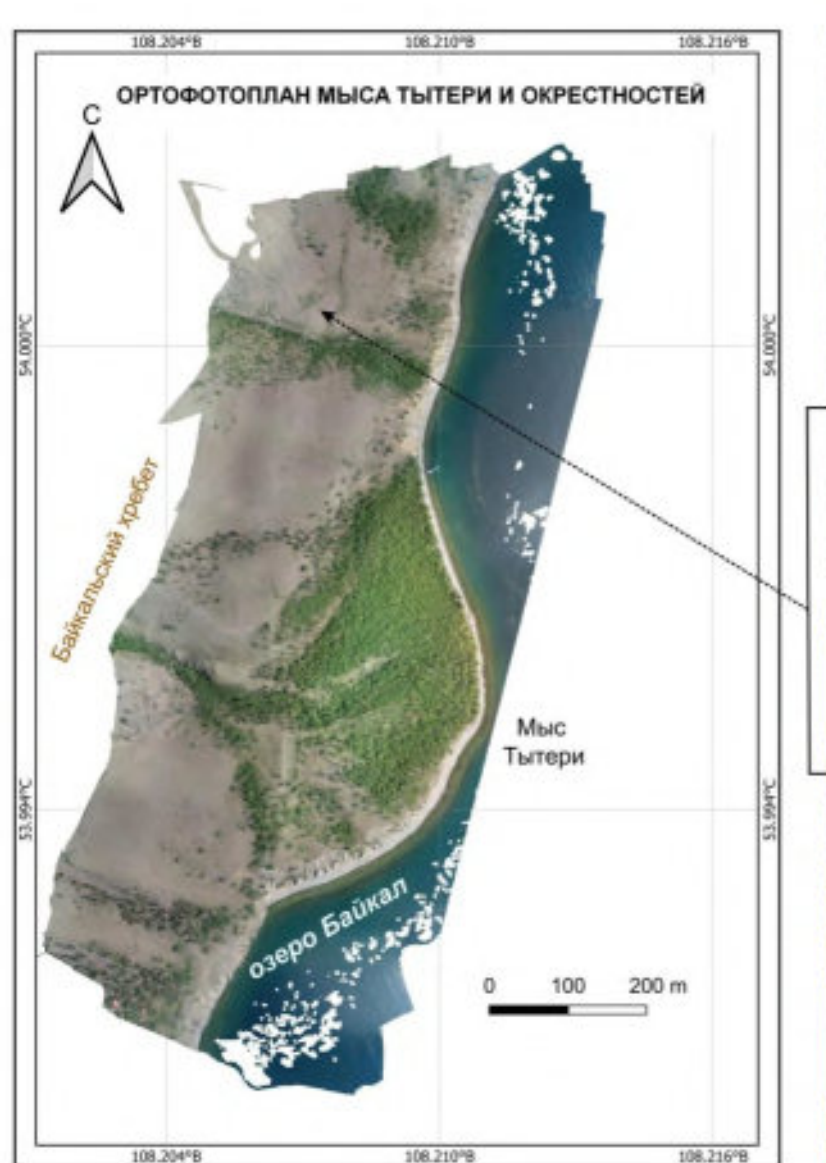


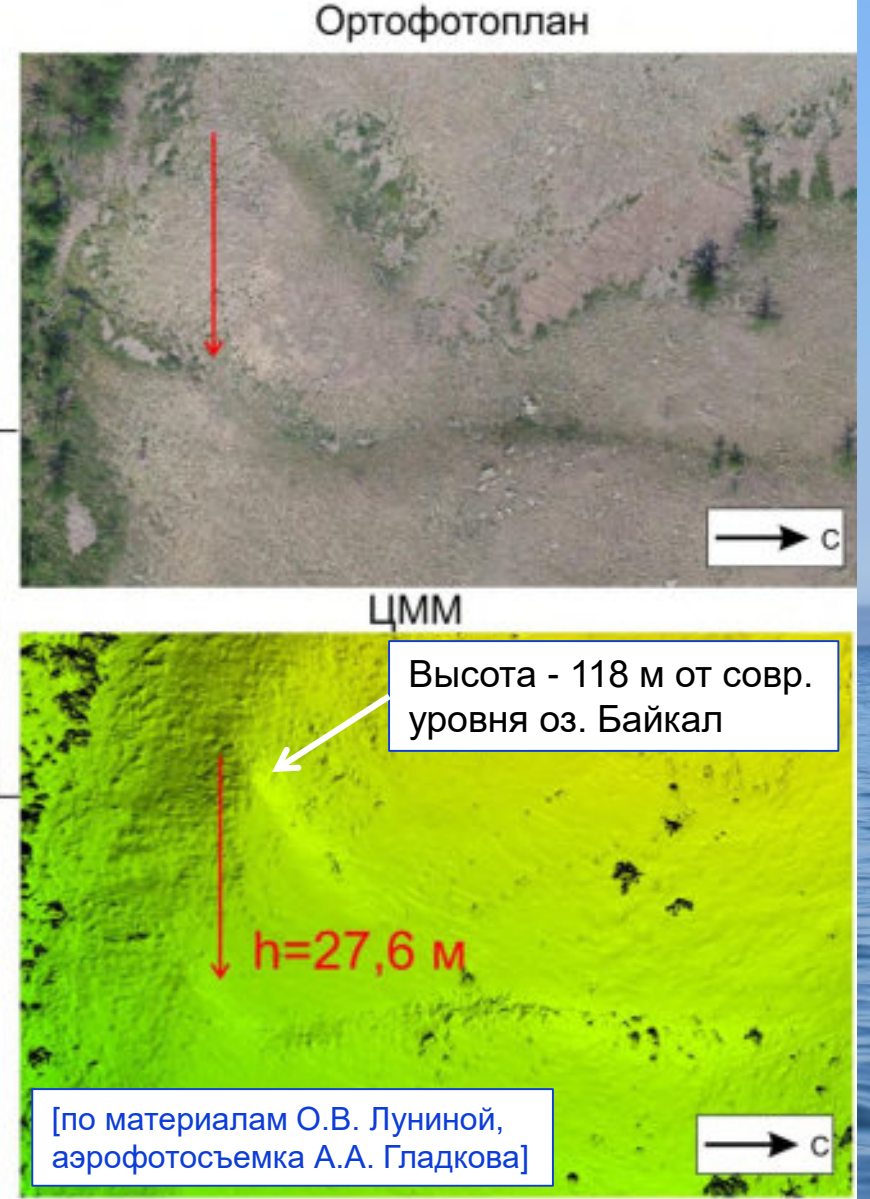




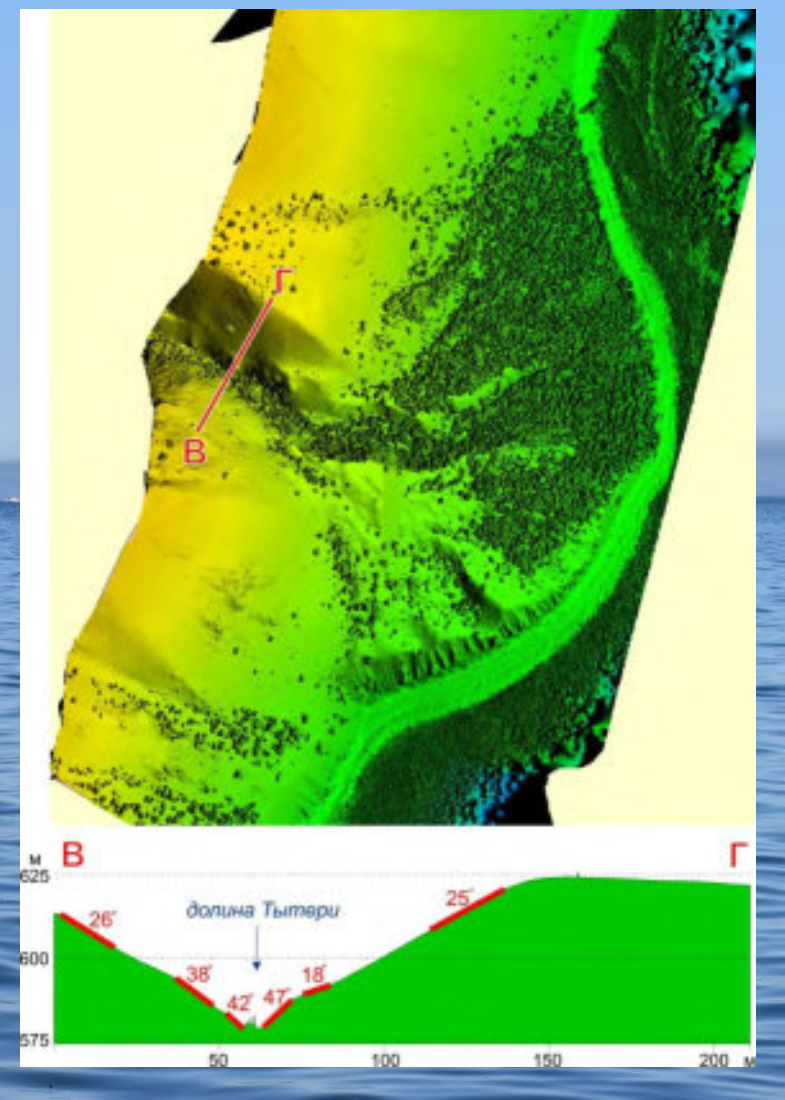
Фрагмент деформированной предполагаемой байкальской террасы севернее мыса Тытери

50000 – 44020 лет назад уровень озера был выше на 118– 120 м [Arzhannikov et al., 2021]

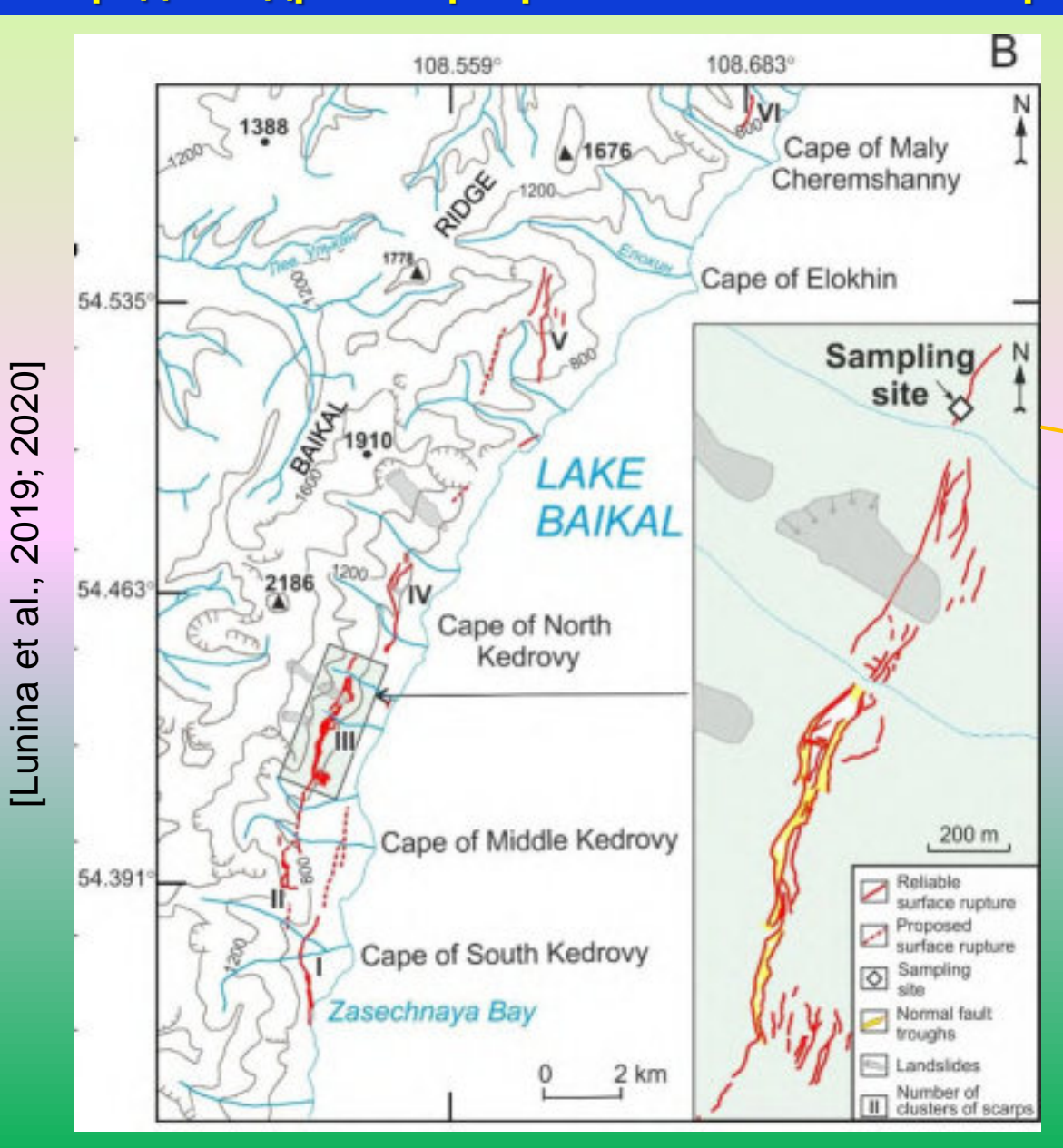




Склоны с крутыми и пологими углами наклона на профиле В–Г

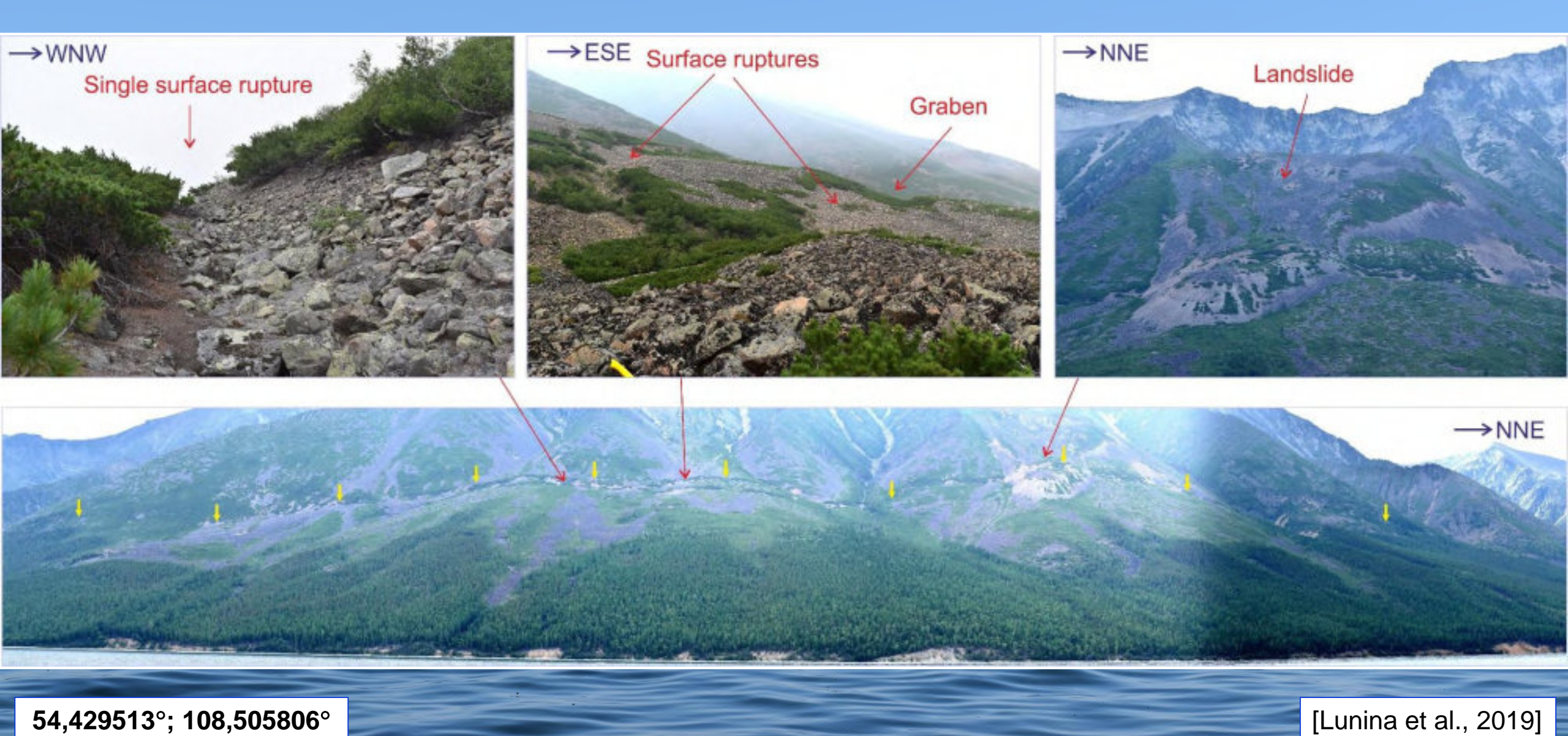


Северный Байкал 13. Среднекедровые разрывы в Байкальском хребте

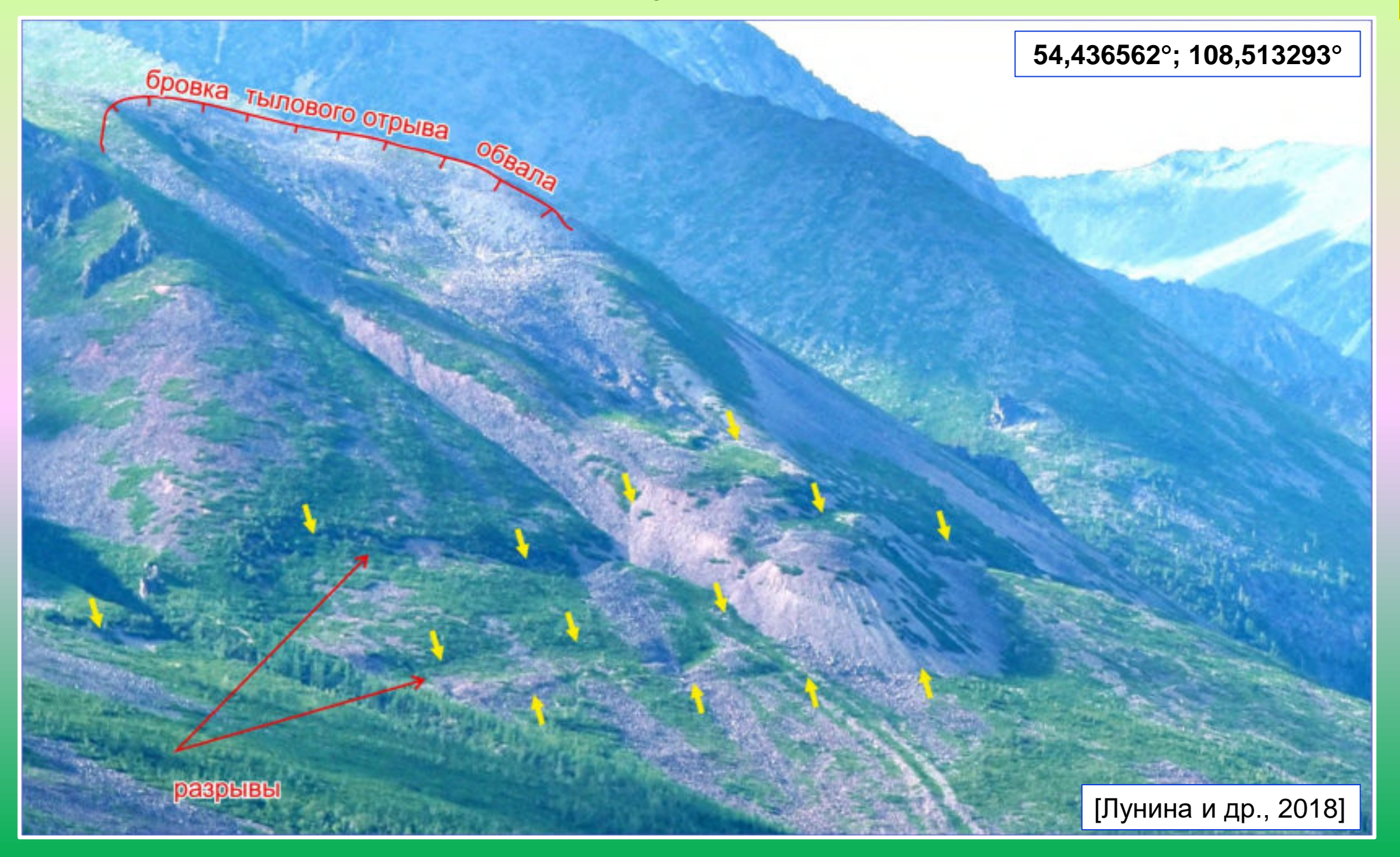




Геоморфологическое выражение Среднекедровых разрывов



Обвал объемом около 6 млн. куб. м в зоне Среднекедровых разрывов



Геоморфологическое выражение Среднекедровых разрывов



Макс. верт. смещения: 8,3 м

Наибольшая ширина зоны разрывов: 1,9 км

Длина отдельных трещин: от 5 м до 2.7 км

Возможная магнитуда в зоне разлома: M_s =7,5; M_w =7,4;

Последние смещения: в период 2,2 тыс. лет назад;

Одновременно вскрылось не менее 82 км.

54,462994°; 108,538562°

[Lunina et al., 2019; Лунина, 2022, отчет]





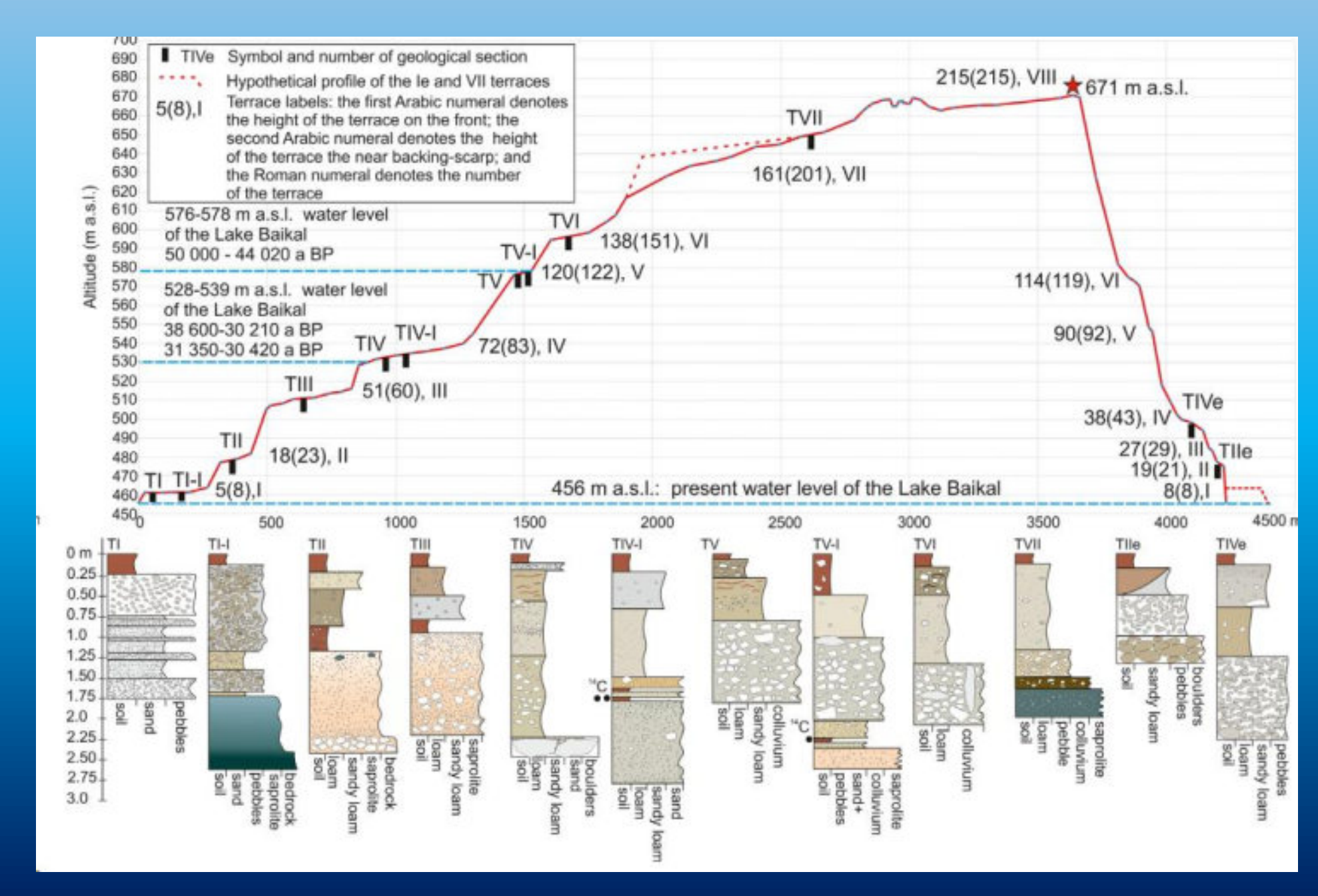


Северный Байкал

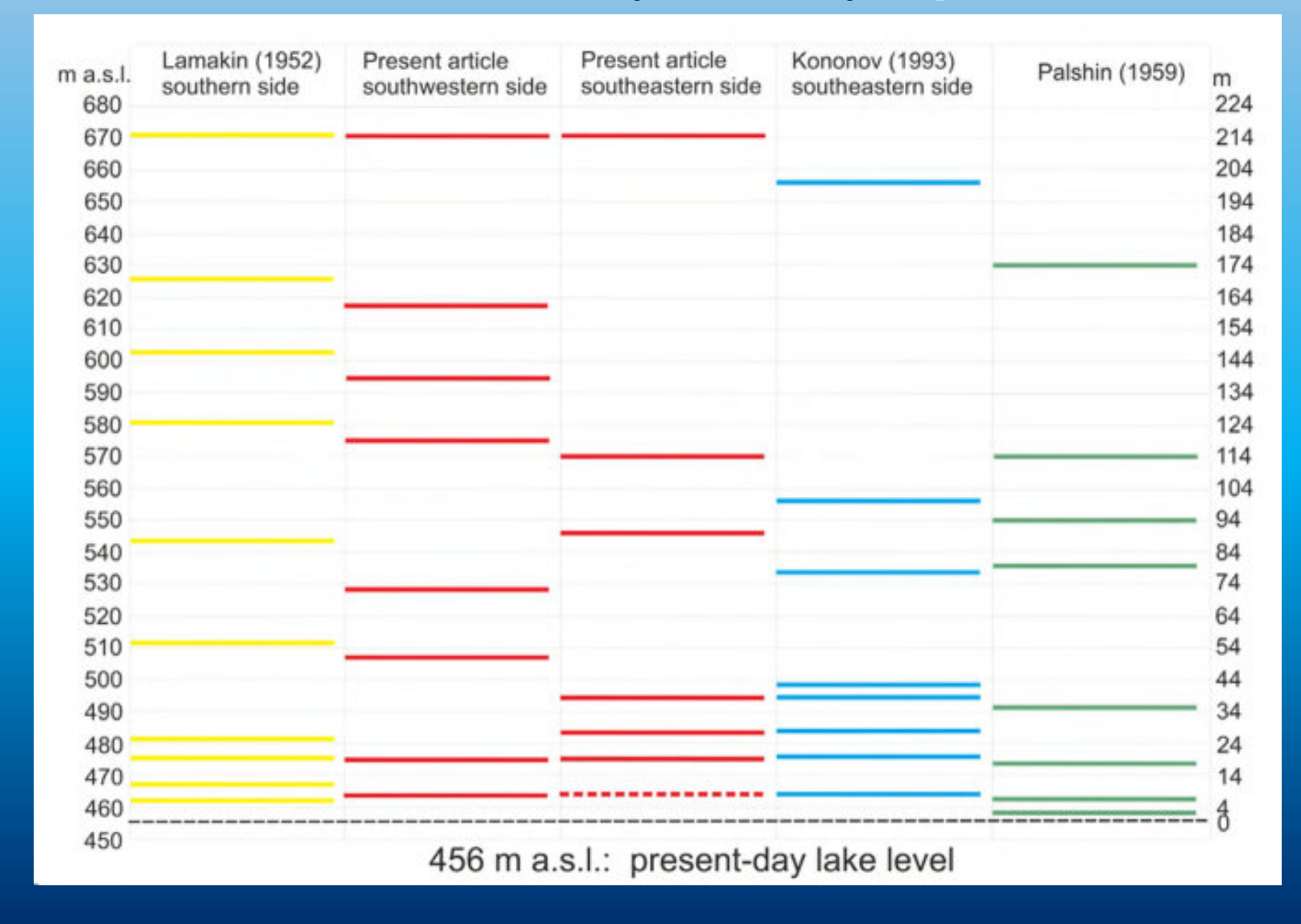
15. Террасы Байкала: о. Бол. Ушканий



15. Террасы Байкала: о. Бол. Ушканий [Arzhannikov et al., 2020]



15. Террасы Байкала: о. Бол. Ушканий по данным разных авторов [Arzhannikov et al., 2020]





<u>15 районов</u> 39 остановок

Некоторая рекомендуемая литература и ресурсы

- 1. Геология Ольхонского композитного террейна: путеводитель экскурсии / Сост: А.С. Мехоношин, Т. Б. Колотилина, Т.В. Донская, Д.П. Гладкочуб, Е.В. Скляров. Иркутск: ИГХ СО РАН, 2021, 22 с.
- 2. Байкал. Геология. Человек / сост. : М. И. Грудинин, И. С. Чувашова. Иркутск : Изд-во ИГУ, 2011. 239 с.
- 3. The anatomy of the Olkhon terrane: Cross section from the southern margin of the Siberian craton into the northern Central Asian Orogenic Belt (Guidebook for field excursion) / Edited by Dmitry P. Gladkochub and Tatiana V. Donskaya. Irkutsk: The Institute of the Earth's Crust of SB RAS, 2017. 58 p.
- 4. Гладкочуб Д.П., Федоровский В.С. Геобайкал'2016. 4-я международная конференция от Восточной Сибири до Тихого океана геология, разведка, разработка. 2016.
- 5. Кононов Е.Е. Террасы озера Байкал и проблемы их изучения // Вестник ИрГТУ. 2010. V. 45. № 5. 42–47.
- 6. Логачев Н.А. История и геодинамика Байкальского рифта // Геология и геофизика. 2003. Т. 44. № 5. С. 391-406.
- 7. Лунина О.В., Гладков А.А. Феномен разрывообразования в дельтовых отложениях мыса Рытый на северо-западном побережье оз. Байкал // Геология и геофизика. 2022. Т. 62. № 2. Р. 149–162.
- 8. Лунина О.В., Гладков А.А., Денисенко И.А. Признаки крипа в зоне влияния Зундукского разлома на северо-западном побережье озера Байкал // Известия Иркутского государственного университета. Серия «Науки о Земле». 2021. Т. 35.– С. 57–70.
- 9. Лунина О.В. Разломы и сейсмически индуцированные геологические процессы на юге Восточной Сибири и сопредельных территориях. Новосибирск: Издательство СО РАН, 2016. 226 с. + 1 электр.-опт. диск (CD-ROM).
- 10. Лунина О.В., Гладков А.А. Восточно-Сибирский геопортал «ActiveTectonics». Available at: http://activetectonics.ru/ActTecServ.html (date of access: 20.03.2022).
- 11. Лунина О.В., Гладков А.С., Неведрова Н.Н. Рифтовые впадины Прибайкалья: тектоническое строение и история развития. Новосибирск: Академическое изд-во «Гео», 2009. 316 с.
- 12. Мац В.Д., Уфимцев Г.Ф., Мандельбаум М.М., Алакшин А.М., Поспеев А.В., Шимараев М.Н., Хлыстов О.М. Кайнозой Байкальской рифтовой впадины: строение и геологическая история. Новосибирск: Изд-во СО РАН, филиал «Гео». 2001.– 252 с.
- 13. Скляров Е.В., Мотова З.Л. Геология, магматизм и метаморфизм Западного Прибайкалья: Путеводитель полевого геологического семинара в Приольхонье. Иркутск: ИЗК СО РАН, 2019. 28 с.
- 14. Arzhannikov S., Arzhannikova A., Ivanov A., Demonterova E., Yakhnenko A., Gorovoy V., Jansen J. Lake Baikal highstand during MIS 3 recorded by palaeo-shorelines on Bolshoi Ushkanii Island // Boreas. 2021. V. 50. P. 101–113.
- 15. Arzhannikov, S. G., Ivanov, A. V., Arzhannikova, A. V., Demonterova, E. I., Jansen, J. D., Preusser, F., Kamenetsky, V. S. & Kamenetsky, M. B. 2018. Catastrophic events in the Quaternary outflow history of Lake Baikal // Earth-Science Reviews. 2018. V. 177. P. 76–113.
- 16. Mats V.D., Yefimova I.M. Paleogeographic scenario of the Late Cretaceous Cenozoic for the central part of the Baikal region // Geodynamics & Tectonophysics. 2011. V. 2. № 2. P. 175–193.

Материалы лекции подготовлены Оксаной Викторовной Луниной, доктором геол.-мин. наук, главным научным сотр. ИЗК СО РАН